

YILDIZ TEKNİK ÜNİVERSİTESİ
FEN BİLİMLERİ ENSTİTÜSÜ

Vorotks Tayy, Fre, Cemal, Deniz, Ertuğrul

DOKTORA TEZİ

Sabahattin Döç

1988

R 150
151

INS-
3500

T.C.
YILDIZ ÜNİVERSİTESİ
FEN BİLİMLERİ ENSTİTÜSÜ

VORTEKS YAYILMA FREKANSININ
OYULMA DERİNLİĞİNE
ETKİSİ

DOKTORA TEZİ
Y.MÜH.SABAHAATTİN ÜÇ

İSTANBUL 1988

YILDIZ TEKNİK ÜNİVERSİTESİ
KÜTÜPHANE DOKÜMANTASYON
DAİRE BAŞKANLIĞI

R 150

Kot : 151

Alındığı Yer : FEN. RİL. EWS.
.....

Tarih : 15.10.1991

Fatura : 7.7.7.7.

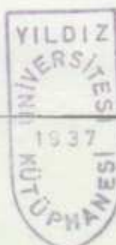
Fiyatı : 3500: TL

Ayniyat No : 1/15

Kayıt No : 47743

UDC : 624. 378.242

Ek :



YILDIZ ÜNİVERSİTESİ

D.B. No.

45519

T.C.
YILDIZ ÜNİVERSİTESİ
FEN BİLİMLERİ ENSTİTÜSÜ

VORTEKS YAYILMA FREKANSININ
OYULMA DERİNLİĞİNE
ETKİSİ



DOKTORA TEZİ
Y.MÜH.SABAHAATTİN ÜÇ

İSTANBUL 1988



İÇİNDEKİLER

ÖZET

SUMMARY

SEMBOOLLER

1. BÖLÜM

KÖPRÜ AYAKLARININ AKIM ALANINA ETKİSİ	1
1.1. Giriş	
1.2. Köprü Ayakları Akım Alanına Etkisi	2
1.2.1. Hız Alasındaki Değişmeler	3
1.2.2. Basing Alanındaki Değişmeler	4
1.3. Sınır Tabakasının Oluşumu ve Ayrılması	7
1.3.1. Genel Bilgiler	7
1.3.2. Engel Etrafında Sınır Tabakasının Oluşumu ve Vorteks Kaynağı Olarak Engel	8
1.3.3. Sınır Tabakasından Ayrılma Olayı	11
1.4. Köprü Ayakları Etrafında Oluşan Vorteks Sistemler ve Sekonder Akım	10
1.4.1. Vorteks Sistemler	19
1.4.1.1. Sürüklenen Vorteks Sistemi	20
1.4.1.2. Atnalı Vorteks Sistem	21
1.4.1.3. Art - Iz (İzli) Vorteks Sistemi	23

2. BÖLÜM

KATI MADDE HAREKETİ VE KÖPRÜ AYAKLARININ KATI MİNDE HAREKETİNE ETKİSİ	25
2.1. Genel Bilgiler	25
2.1.1. Tarif ve Sınıflandırma	25
2.1.2. Tanelerin Sürüklendirme Başlangıcı	26
2.1.3. Taban Şekillerinin Oluşması ve Taban Direnci	30
2.1.4. Katı Madde Taşınımında Dengе ve Dengenin Bozulması	34
2.1.5. Oyulmanın Bağlantısı ve Çökmesi	



3. İN M.

CİSİLTİ YANNAKLARA GÜRE KÖPRÜ AYAKLARI ETRAFINDAKI	
ÇOKMAYA ETKİ EDEN PARAMETRELERİN İNCELENMESİ	40
3.1. Giriş	40
3.2. Oyulma Etkili Eden Parametreler	41
3.2.1. Maksimum Oylama Dürüstligine Etki Eden Parametreler	43
3.2.1.1. Akım Hızının Etkisi	43
3.2.1.2. Akım Değişliğinin Etkisi	44
3.2.1.3. Deniz Çapının Etkisi	45
3.2.1.4. Taban Malzemesinin Granülometrisinin Etkisi	46
3.2.1.5. Akım Şeklinin Değişilmesi	48
3.2.1.6. Filtre Aşırısının Etkisi	49
3.2.2. Oylama Faktörleri	51

4. RÖŞKÜMLERİ GÖRMEK İSTENEN, OYLAMA DERİNLİĞİ GÖRMEK İSTENEN ETKİLERİN İNCELENMESİ	
DEÑÝÝSTÝ ÇALIŞMA	
4.1. Deneysel Çalışmanın Amacı	54
4.2. Deney Kanalının Tertibi	55
4.2.1. Deney Kanalı	55
4.2.2. Savaç Aşıktır Eğrisi	57
4.3. Deney Üncesi Yapılan Çalışmalar	59
4.3.1. Taban Malzemesi	59
4.3.2. Ayakların Seçimi	60
4.3.3. Taban Malzemelerinin Kritik Hızlarının Belirlenmesi	60
4.4. Deneylerin Yapılması ve Sonuçların Değerlendirilmesi	62
4.5. Bulguların Tartisılması	74

5. DÜZÜNDÜREN BİB DİĞERİ DÜZÜNDÜREN

ve üç adet ve beş adet parametre laboratuvar şartlarında

İNNALAR

1. Oylama seviyeleri 10 m/s hızıyla hesaplanır.
2. $R_s = 2,5$ m² olurken $R_s = 2 \times 10^{-6}$ için de
parametrelere 10 kat fazdır.



ÖZET

Hareketli tabanlı bir akarsuya yerleştirilen köprü ayağının etrafında meydana gelen yerel oyulma derinliklerinin belirlenmesi için bir çok çalışma yapılmıştır. Ancak, pratikte geçerli olabilecek uygun bir sonuç henüz elde edilememiştir. Bunun nedeni oyulma olayına etkili parametre sayısının çok olduğunu.

Bu çalışmaların hemen hemen hepsi laboratuvar şartlarında gerçekleştirilmiştir. Buna rağmen oyulma derinliklerinin belirlenmesinde bu çalışmaların sonuçlarının kullanılması halinde çok farklı sonuçlar elde edilebilmektedir.

Bu çalışmada, yerel oyulmanın esas sebebi olan vortekslerin yayılma frekansları göz önüne alınarak, oyulma derinliği üzerine etkisi araştırılmıştır. Çünkü, ayak yakınında meydana gelen en önemli proses, vorteks yayılmasıdır. Dairesel silindir ayaklar için, vorteks yayılması, ayağın menbaındaki sınır tabakasının durumuna bağlı olduğu bilinmektedir. Bu amaçla, bir seri deney yapılmıştır. Bu çalışmanın sonucunda, vorteks yayılma frekansının, rölatif oyulma derinliğinin bir fonksiyonu olduğunu gösteren bağıntılar elde edildi. Bu bağıntılar Reynolds sayısının bütün değerleri için geçerlidir. Bu bağıntıların formu aynı olmakla birlikte, Re sayısının üç ayrı bölgesi için elde edilen bağıntılarda yalnızca katsayılar değişmektedir.

Bu çalışmada elde edilen en önemli sonuçlar aşağıdadır ;

- Re sayısının tüm değerleri için oyulma derinliğini çok iyi bir yaklaşımla veren bir diyagram elde edilmiştir.
- Bu diyagram ve bağıntılar prototip ve laboratuvar şartlarında uygulanabilir.
- Rölatif oyulma derinlikleri Reynolds sayısıyla azalmaktadır. Bununla beraber, $R_e \geq 2,5 \cdot 10^5$ için ikinci ve $R_e \geq 10^6$ için üçüncü pik noktası vardır.

SUMMARY

A lot of researche have been done for determination of local scour depth occurring around bridge piers placed in the river with live bed. However a result which will used in practice couldn't have been obtained. Because there are many parameters which effect the problem.

All of these studies have been realized on the laboratory conditions. Altrough, very different results could have been obtained when they have been used for determination of scour depths.

In this study, the sheding frequencies of vortex which are main reasons of local scouring, have been considered and researched for their affects on the local scours. Because, the most important process is the vortex sheding which occurs around bridge piers for circular cylinders the vortex sheding has been known to depend on state of the boundary layer on the upstream side of pier.

For this reason, a series of experiments have been done. At the end of this studies, the relations which are relative to scour depth were obtained, and it was shown that the scour depth was the fonction of vortex sheding frequency. These relations are valid for all Reynolds Numbers Altrough the form of this relations are same, only the coeficients of them have been changing for three regions of Reynolds number.

The most important results for this study are as following :

- A practical diagramme have been obtained by which local scour depth can be found easly with a good approximation for all the Reynolds Numbers.

- These diagrammes and relations can be used on the prototypical conditions and in the laboratory.

- Relative scour depths decrease with Reynolds numbers. However they have got a second peak for $R_e \approx 2,5 \cdot 10^5$ and a thirth peak for $R_e \approx 10^6$.

SEMBOLLER

a	: Silindirin yarıçapı
b	: Dikdörtgen ayağın genişliği
b_t	: Ayağın akıma dik etkili genişliği
B	: Kanal genişliği
c_p	: Basınç katsayısı
C, c'	: Bir katsayı
C_o	: Vorteksin şiddeti
C_D	: Sürüklenme katsayısı
d	: Taban malzemesinin dane çapı
d_m	: Karakteristik dane çapı
d_{50}	: %50'si verilen çaptaki elekten geçen dane çapı
d_{90}	: %90'ını verilen çaptaki elekten geçen dane çapı
d	: Sedimentolojik çap
D	: Silindirik ayağın çapı
f	: Silt faktörü
F_r	: FROUDE sayısı
Fr	: Dane Froude sayısı
g	: Yer çekim ivmesi
k	: KARMAN sabitesi
k	: Kanal pürüzlülük katsayısı
K	: Ayak şekline bağlı bir katsayı
K_a	: Atak açısına bağlı bir katsayı
H	: Oyulma derinliği
H_d	: Denge oyulma derinliği
$H_{d_{max}}$: Maksimum denge oyulma derinliği
h	: Kanaldaki su derinliği
h_d	: Dalgacığın yüksekliği
Δ^h	: Kabarma yüksekliği
l	: Dikdörtgen ayağın uzunluğu
L	: Uzunluk boyutu
n	: Vorteks yayılma frekansı, narinlik oranı
m	: Bir katsayı
p	: Basınç

$\Delta P_1, \Delta P_2, \Delta P_3$: Basınç gradyenleri
r_o	: Vorteksin yarıçapı
r	: Eğrilik yarıçapı, regresyon katsayısı
R_e	: REYNOLDS sayısı
R_e	: Dane Reynolds sayısı
R_{ea}	: Ayak Reynolds sayısı
Q	: Debi
q	: Birim debi
$q_T^{(B)}$: Taşıma kapasitesi
$q_T^{(S)}$: Menbadan gelen katı madde miktarı
s	: Yay elemanı
Sh	: Strouhal sayısı
t	: Zaman
V	: Oyulma çukurunun hacmi
v	: Hız vektörü
u	: Ayak etrafındaki toplam hız
u	: Taban sürükleme hızı
u, v, w	: (x, y, z) yönündeki hız bileşenleri
u', v', w'	: (x, y, z) yönündeki türbülans çalkantı bileşenleri
U_o	: Yaklaşım hızı
U_{kr}	: Kritik hız
U_z	: Ayak önündeki düşey hız
U_r, U_θ, U_z	: (r, θ, z) yönündeki hız bileşenleri
x	: Yatay koordinat ekseni
z	: Düşey koordinat ekseni
γ, γ_w	: Suyun özgül ağırlığı
γ_s	: Danenin özgül ağırlığı
Δ	: Danenin su altındaki birim hacim ağırlığı
ν	: Suyun kinematik viskozitesi
ν_T	: Türbülanslı kinematik viskozitesi
ϕ	: Malzemenin su altındaki şev açısı
α	: Atak açısı
ρ, ρ_w	: Suyun yoğunluğu
ρ_s	: Danenin yoğunluğu
n	: Boyutsuz bir katsayı



τ	: Taban kayma gerilmesi
τ_{kr}	: Kritik taban kayma gerilmesi
$\Delta\tau$: Türbülanstan dolayı kayma gerilmesindeki çalkantı
δ	: Sınır tabakası kalınlığı
ω	: Savağın tepesinin tabana olan uzaklığı
σ	: Malzemenin standard sapması



BÖLÜM I

1. KÖPRÜ AYAKLARININ AKIM ALANINA ETKİSİ

1.1. GİRİŞ

Hareketli tabanlı, üniform akışlı bir çok kanala yerleştirilen bir köprü ayağı, gerek kanaldaki akımda ve gerekse hareketli taban malzemesinin taşınımında önemli bazı değişikliklere neden olur. Bu değişimin neticesinde, kanal tabanında önemli geometrik değişiklikler görülür.

Kanalda genel akım içersine bir köprü ayağı yerleştirildiği zaman birbirinden çok farklı, buna karşılık birbirinin tamamlayıcısı olan olaylar gözlenir. Bu olayları şu biçimde sınıflandırmak mümkündür.

- Ayakdan dolayı akım çizgilerinde meydana gelen saptmalar ve bunun neticesi olarak, ayak etrafındaki hız ve basınç alanında önemli değişiklikler,
- Ayak etrafında sınır tabakasının oluşması, hız ve basınç alanındaki değişikliklerin neticesi olarak, sınır tabakasından ayrılmalar,
- Sınır tabakasından ayrılmanın neticesinde ayak etrafında çeşitli biçim ve büyülükte vorteks sistemlerinin oluşması ve sökonder hareketler,
- Ayak etrafında oluşan vorteks sistemler ve sökonder akımın etkisi ile, tabanda dengede bulunan malzemelerin yerinden sökülmesi ve taşınması,
- Ayak etrafında oyulmanın başlaması ve oyulma çukurunun oluşması.

Görüldüğü gibi, açık kanala yerleştirilen köprü ayakları, gerek akım karakteristiklerinde meydana getirdiği değişiklikler ve gerekse hareketli tabana sahip kanaldaki katı maddelerin taşınımı üzerine yaptığı etkiler dolayısıyla kanal geometrisinde oyulma ve birikmelerin oluşmasına neden olur.

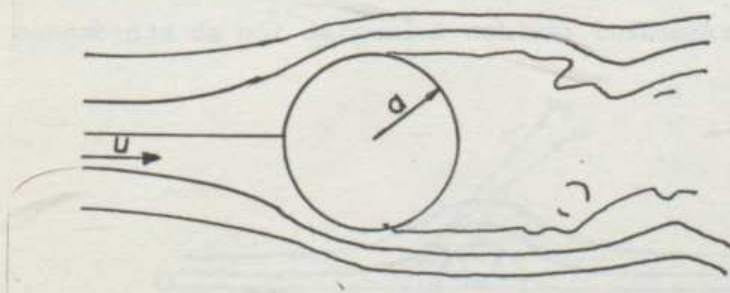
Bir açık kanalda katı madde taşınımı, akım karakteristiklerinin

bir fonksiyonu olduğu bilindiğine göre, taban şeklinin ayakların yakınındaki değişimini inceleyebilmek, ancak, bir yandan köprü ayağının akım alanına yaptığı etkilerin ve diğer yandan da akım şartlarının değişmesiyle katı madde taşınımının ne biçimde değiştiğinin bilinmesi ile mümkün olacaktır. Ancak o zaman, bu olaylar arasında kurulacak bağıntılarla, oyulma olayının mekanizması açıklığa kavuşturulabilir.

Bu çalışmada, önce köprü ayaklarının akım alanına yaptığı etkiler ve meydana getirdiği değişiklikler ile bu değişikliklerin neticesinde oluşan vorteks sistemler ve sökonder hareketler, köprü ayağının mevcut durumuna ve akımın özelliklerine bağlı olarak incelenecaktır. Sonra, bir açık kanaldaki katı madde taşınımının mekanizmasına yakından bakılarak, taşınan madde miktarının akımın hangi özelliklerine bağlı olduğu ve bu özelliklerin değişmesiyle nasıl değiştiği incelenecaktır. Nihayet, oyulma olayına etki eden parametreler ele alınarak, bu güne kadar yapılmış çalışmaların ışığı altında açıklığa kavuşturulmaya çalışılacaktır. Daha sonra da deneysel çalışmalarla geçilecektir.

1.2. KÖPRÜ AYAKLARININ AKIM ALANINA ETKİSİ

Bir engel akım içerisinde yerleştirildiği zaman, akım alanında çok önemli değişimlerin meydana geldiği bilinmektedir. Bunun nedeni, engelden dolayı akım çizgilerinde saptaların meydana gelmesidir (Şekil 1.1). Bunun neticesinde, akım karakteristiklerinde çok önemli değişimler meydana gelmektedir. Akım karakteristiklerindeki bu değişimlere kısaca bir göz atalım.



Şekil (1.1.): Akım Çizgilerindeki Saptalar.

1.2.1. HIZ ALANINDAKİ DEĞİŞMELER

Engelin simetri ekseni üzerinde olan sıvı ipciğinin, engele yaklaşıkça hızının azaldığı ve nihayet, engelin cidarında sıfır olduğu, yapılan gerek teorik ve gerekse deneysel çalışmalarla gösterilmiştir. Engel üzerine hızın sıfır olduğu bu noktaya "Durgunluk noktası" denir. Durgunluk noktasının konumu ; akım yüksekliği, akım hızı ve engel önünden oluşan kabarma yüksekliğinin bir fonksiyonudur /1/.

Akımın üç boyutlu olarak göz önüne alınması halinde, durgunluk noktası yerine durgunluk düzleminde söz etmek gerekir.

Kanaldaki akımın sıkışmaz ve viskozitesiz bir potansiyel akım olduğunu kabul edersek, Şekil 1.2 de görüldüğü gibi silindirik koordinat sisteminde, engel etrafındaki hız dağlımlının;

$$u_r = -U_o \left(1 - \left(\frac{a}{r}\right)^2\right) \cos \theta \quad (1.1)$$

$$u_\theta = U_o \left(1 + \left(\frac{a}{r}\right)^2\right) \sin \theta \quad (1.2)$$

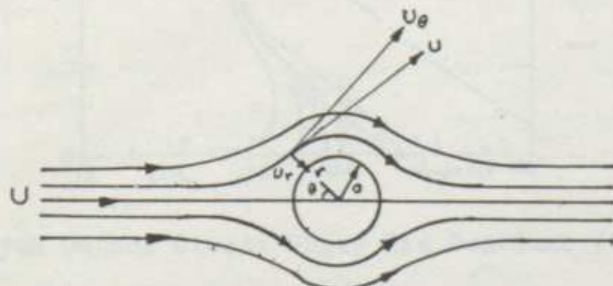
şeklinde ifade edileceği açıklıdır.

Herhangi bir (r, θ) noktasındaki toplam hız ise,

$$u = U_o \left[1 - 2 \left(\frac{a}{r}\right)^2 \cos 2\theta + \left(\frac{a}{r}\right)^4\right]^{1/2} \quad (1.3)$$

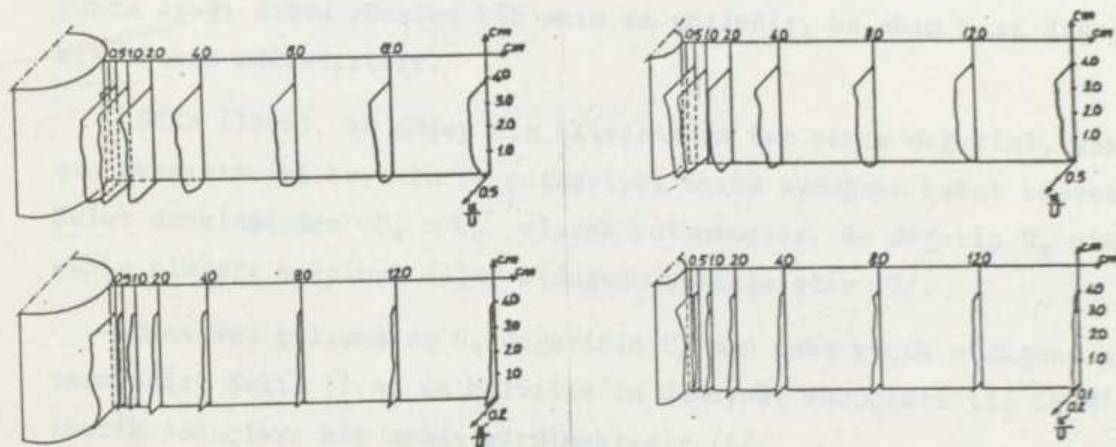
olarak elde edilir.

(1.3) denkleminden görüleceği gibi, engelin menbainda olduğu gibi mansabında da bir durgunluk noktası bulunmaktadır.

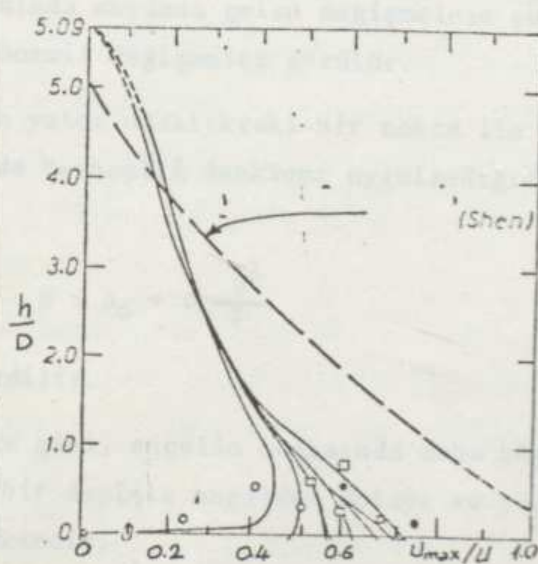


Şekil (1.2) : Silindirik Koordinat Sistemi.

Gerçekte ise, engelin oluşturduğu türbülanstan dolayı oluşan akım modeli, potansiyel akım teorisine uymaz. HJORTH (1971,1975), gerek engelin menbaında ve gerekse mansabında düşey hız dağılımını etüd etmiş, engelden dolayı oluşan türbülansın bu hız dağılımına ne şekilde etkili olduğunu deneysel olarak ele almıştır. Elde ettiği neticeler, Şekil 1.3 de görülmektedir /2/.



Şekil(1.3): Ayaktan Dolayı Yaklaşan Akımdaki Değişmeler
ve Türbülans Etkileri /2/.



Şekil(1.4): Ayak Önünde Oluşan Düşey Hız Dağılımı /3//4/.

Burada, türbülans çalkantı hızlarının çok büyük boyutlara varlığı, bunun de engel etrafındaki hız dağılımını önemli bir biçimde etkilediği açıkça görülmektedir. Diğer önemli bir netice de; engelin boyutu arttıkça, buna paralel olarak, türbülans çalkantı hızlarında artmaktadır.

Engel etrafında bu değişimlerin yanı sıra durgunluk düzlemi boyunca aşağı doğru yönelen bir akım da gözlenir, bu akım hızı düşey hız olarak adlandırılır.

SHEN (1966), bu düşey hız bileşeninin üst sınır değerini, yaklaşım akımının iki boyutlu ve potansiyel akıma uyduğunu kabul ederek, Euler denkleminden $-U_z = U_0$ olarak bulunmuştur. Bu değerin U_z nin sahip olacağı maksimum değer olduğunu belirtmiştir /3/.

Deneysel çalışmalar U_z değerinin U_0 dan daha küçük olduğunu göstermiştir. Şekil (1.4) de Melville'in deneysel sonuçları ile SHEN'in teorik sonuçları bir arada görülmektedir /4/.

1.2.2. BASINÇ ALANINDAKİ DEĞİŞMELER

Hız alanında meydana gelen değişimlere paralel olarak, basınç alanında da önemli değişimler görülür.

Engelden yeter uzaklıktaki bir nokta ile engel üzerindeki bir nokta arasında Bernoulli denklemi uygulandığında, engel önünde oluşan basınç,

$$p = p_0 + \rho \frac{U^2}{2} \quad (1.4)$$

olarak elde edilir.

Göründüğü gibi, engelin menbaında daha büyük bir basınç oluşmaktadır. Diğer bir deyişle engelden dolayı su yüzeyinde bir kabarma meydana gelmektedir.

Engel etrafındaki basınç dağılımı ise, akımın sıkışmaz ve viskozitesiz bir potansiyel akım olduğu kabulu ile,

$$p = \frac{1}{2} \rho U^2 (1 - 4 \sin^2 \theta) \quad (1.5)$$

şeklinde ifade edildiği bilinmektedir.

Gerçekte ise, engel etrafındaki basıncı dağılımı potansiyel akım teorisinden oldukça farklıdır. HJORTH (1975), engel etrafında oluşan basıncın değişimini incelemek amacıyla yaptığı deneysel çalışma sonucunda, engel etrafındaki basıncın değişimini c_p cinsinden ölçmüştür. Burada c_p Basıncı katsayısı olup,

$$c_p = \frac{p_a - p_0}{1/2 \rho U^2} \quad (1.6)$$

şeklinde boyutsuz olarak ifade edilmektedir.

Şekil (1.5) de, gerek (1.5) denklemi ve gerekse deneysel çalışmadan elde edilen sonuçlar bir arada verilmiştir.

Basıncın, $\theta = 90^\circ$ ye kadar azaldığı, sonradan yükseldiği görülmektedir. Fakat, engelin mansap tarafından belirli bir değerden itibaren sabit kaldığı bununla birlikte, hiç bir zaman menbadaki basınçla ulaşamadığı görülmektedir.

Engelden dolayı meydana gelen türbülansın, basınç alanına etkisini de unutmamak gereklidir.

Türbülansın engel etrafındaki akıma etkileri şöylece özetlenebilir.

1) Serbest akımda türbülans şiddetinin değişimi, engel etrafındaki akış biçimini ve Reynolds gerilmelerini değiştirir.

2) Akımın tekrar irtibatının bir faktör olmadığı şekillere sahip gövdeler, artan türbülansla birlikte, artan sürüklendirme katsayısına (C_D) sahip olurlar.

3) Artan türbülansla birlikte, tekrar irtibatlı veya yaklaşık irtibatlı gövdeler, türbülans şiddeti ile artan ve eksilen (C_D) katsayısına sahip olabilirler. Bu gövdenin şekline bağlıdır.

4) (3) de söz edilen etkiye en çok uyarlı gövdeler, uzunluğunun genişliğine oranı bire yakın gövdelerdir.

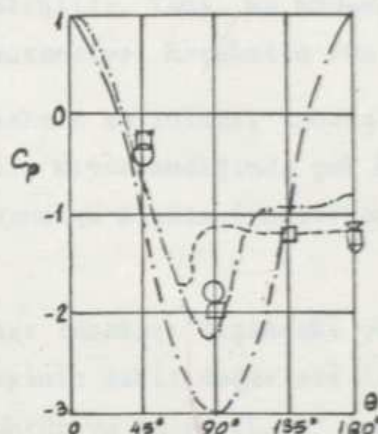
5) (3) ve (4) de belirtilen gövdelerin kenarındaki basınç dağılımı, türbülans şiddetinin yaklaşık %10 değişmesiyle %100'e kadar değişimdir.

ROSHKO (1961), $R_e = 10^6 \sim 10^7$ değerlerine kadar yaptığı yeni ölçmelerde, silindirik engelin arkasındaki basınçta bir düşme, buna karşılık, C_D katsayısında %70 değerine bir artma olduğunu gözlemiştir /6/.

C_D sürüklendirme katsayıısı;

$$C_D = \frac{1}{2} \int_0^{2\pi} c_p \cos \theta d\theta \quad (1.7)$$

şeklinde, c_p , basınç katsayıısından elde edilmiştir.



Şekil (1.5) : Teorik olarak C_p basınç katsayıısının dağılımı.

1.3. SINIR TABAKASININ OLUŞUMU VE AYRILMASI

1.3.1. GENEL BİLGİLER

Az viskoziteli bir akışkan içinde hareket eden katı bir cisim veya katı bir cisim etrafında hareketli bir akışkanda, viskoz tesirler katı cismin yüzeyine yapışık çok ince bir tabaka içinde kalırlar. Bu ince tabakada viskozite ile aynı mertebeden olan atalet kuvvetleri akışkan partiküllerinin, bu tabaka dışındakilere göre gecikmesine sebep olurlar. Dış akımın, teşekkür ettigini varsayıdığımız bölge kalınlığına oranla çok ince kalınlıkta olan sınırdaki bu tabakaya, sınır tabakası adı verilir /1/.

Sınır tabakası, içinde akışkan hızının sınırda istenen sıfır değerden, viskozitesiz bir akışkana uygun gelen sonlu bir değere geçiş yaptığı tabakadır. Diğer bir deyişle, cidarın yavaşlatıcı

etkisinin görülmemişti dış akımın U hızına $\%1$ kadar yaklaşığı bölgeye verilen addır /7/.

Bir başka tanım olarak da sınır tabakası, içinde vorteksin vizkoz difüzyonunun önemli olduğu tabaka olarak özetlenebilir /8/.

Sınır tabakasındaki akım için ileri sürülen ve "Genelleştirilmiş sınır tabakası hipotezleri" olarak adlandırılan hipotezler şunlardır;

1) Cidara yapışık δ kalınlığındaki bir tabakanın dışında akışkan ideal olarak düşünülebilir. Yani, bu bölgede viskozitenin etkisi ihmal edilebilir ve potansiyel hareketin tüm varsayımları uygulanabilir.

2) δ sınır tabakası kalınlığı, tabaka içindeki diğer çizgisel uzunluk ölçekleri ile kıyaslandığında çok küçüktür. Yani, L , sınır tabakası içindeki uzunluk ölçüleri mertebesinde ise, $L > \delta$ bağıntısı vardır.

3) Eğer, U sınır tabakası dışındaki yüzey koordinatları yönündeki hızların mertebesinin sabit değerleri ise, R_e sayısı ($R_e = UL/v$), yeter derecede büyüktür ve en az $(L/\delta)^2$ mertebesindedir.

4) Sınır tabakasına teget hız bileşenleri, U mertebesindedir. Buradan, süreklilik denklemi, sınıra dik normal hız bileşenlerinin büyülüklük mertebesinin $U\delta/L$ olduğunu ifade eder.

5) Sınır tabakası içindeki akım türbülanslı ise, Reynolds kayma gerilmeleri, $\rho U^2 \delta / L$ mertebesindedir. Reynolds normal gerilmeleri ise, ρU^2 ile $\rho U^2 \delta / L$ mertebesi arasındadır /9/.

Sınır tabakalarının akım içindeki oluşum özelliklerine göre, iki bölümde incelenmektedir ;

- a) Laminer sınır tabakası,
- b) Türbülanslı sınır tabakası.

Laminer sınır tabakasından, türbülanslı sınır tabakasına geçiş, geçiş bölgesi olarak adlandırılan bir bölgeden sonra olmaktadır.

1.3.2. ENGEL ETRAFINDA SINIR TABAKASININ OLUŞUMU ve VORTEKS KAYNAĞI OLARAK ENGEL

Vorteks veya sirkülasyon akışkanın içinde yaratılamaz, fakat

bir defa orada varsa viskozite etkisiyle yayılır /8/.

Bu özellik, düzgün yoğunluklu bir akışkanda sükunetten doğan hareketlerde, esas vorteks kaynağı ile ilgili sorunu ortaya çıkarır. Başlangıçta, vorteks her yerde sıfırdır ve hareket, vorteks akışkan-dan difüze olmadıkça tamamen irrotasyonel kalmalıdır.

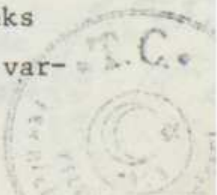
Akışkan tamamen veya kısmen bir katı ile sınırlandığı zaman, böyle bir mekanizma kaymama şartı ile temin edilir. Şu halde, akışkanın sınırlarından geçen vorteksin difüzyonunun olmaması halinde, sükunetten doğacak olan hareket, sınırda sıfırdan farklı teğetsel bir izafi hızla birlikte bulunur. Kaymama şartı bağıl hızın teğetsel bileşeninin katı sınırın her bir noktasında sıfır olmasını gerektirdiğinden, viskozite ne kadar küçük olursa olsun bu akımdaki vorteks, sınırda sonsuz olur. Sınırındaki bu sonsuz vorteksli tabaka, bir defa viskozitenin hareket etmesine izin verdikten sonra vorteksin oradan akışkan içine yayıldığı bir kaynaktır.

Turbülanslı sınır tabakasında turbülansın doğuşu, gelişmesi ve bu esnada meydana gelen olaylar ancak son zamanlarda geliştirilen sistemlerle incelemek mümkün olmuştur.

Önceki bilgiler, turbülanslı bir akımda yer ve zamana göre rastgele karakterde bir çok olayın ortaya çıktığı şeklinde idi. Halbu ki, son çalışmalar, bu olayların belirli bir sıra dahilide meydana geldiğini göstermektedir. Diğer bir ifade ile turbülansı özellikle taban civarındaki bölgelerde yer ve zamana göre rastgele karakterinde olan deterministik olaylar dizisi doğurmaktadır, beslemekte ve kesit içine yayılmasını sağlamaktadır /10/.

Akışkan içine yerleştirilen bir katı cisim göz önüne alınarak, akışkan içindeki vorteksli tabakanın gelişmesi üç kademe ile gözlenebilir.

Birinci kademe, cismin yüzeyinin her bir elemanını geçen sıfır kütle akısını sağlayan akışkanda bir hareketin anı olarak doğmasıdır. $t = 0$ anında akışkanın iç noktalarında vorteks yoktur. Çünkü, vorteks $t < 0$ anında sıfırdır. $t = 0$ anında, cismin yüzeyindeki bir vorteks tabakasına eşdeğer olan sınırdaki teğetsel hızda bir süreksizlik vardır.



Gelişmenin ikinci kademesinde, $t = 0$ anında konsantr olan vorteks, akışkanın içine viskozitenin etkisi ile yayılır. Sabit bir noktada vorteksdeki değişimler, yanlışca viskoz difüzyondan ileri gelmekte ise, vorteksin cisimden t kadar zamanda yayıldığı uzaklık, $(vt)^{1/2}$ mertebesinde olacaktır. Gerçekte, vorteks konveksiyona da uğrar ve akışkanın yerel distorsiyonu ile değişir. t 'nin küçük değerlerinde, $(vt)^{1/2}$ difüzyon uzaklığı küçük olduğu zaman, konveksiyonun esas etkisi vorteksi cisimden uzaklaşımaktan çok, yüzeye paralel olarak taşımak yönündedir. Şu halde, t 'nin küçük değerlerinde akışkanın vorteksi, cismi saran ve kalınlığı $(vt)^{1/2}$ olan bir tabaka içinde sıfır dan farklıdır.

Üçüncü kademedede, $(vt)^{1/2}$ artık küçük bir uzaklık degildir. Konveksiyon vorteksi sınırdan uzağa veya sınıra iletilebilmektedir. $t = \infty$ anında, esas olarak konveksiyon ve difüzyon, vorteksin sürekli olarak akımın içine yayılıp yayılmadığını kontrol eder.

Hareketli bir akışkan içine konan bir cisim, cismin önündeki hızın cisme doğru olduğu ve difüzyonla iletim, artan uzaklıkla zayıflığına göre, vorteksin cismin önünde yanlışca sonlu bir uzaklığa kadar yayıldığı açıklıdır. Konveksiyonun kuvvetli olduğu veya difüzyonun zayıf olduğu hallerde, cismin yanında ve önünde asimetrik olarak uzanlığı vorteksin olmadığı geniş bir bölge vardır /8/.

Katı bir sınırın bir vorteks kaynağı olduğu ve vorteksin tredcen sınırdan, başlangıçta vortekssiz akıma, $(vt)^{1/2}$ veya $(vL/U)^{1/2}$ uzaklığına kadar difüze olduğu açık olarak görülmektedir /5/.

Bir katı cisim vorteksi bir noktada toplayan ve büyüterek yayan bir aygit görevini görmektedir /11/.

Reynolds sayısının daimi bir akımda, vorteks dağılımını etkileyebildiği bilinmektedir. Akıma yerleştirilen katı cismin bir silindir olması halinde, R_e sayısı arttıkça vorteks dağılımının daha asimetrik bir şekil aldığı ve odağında cisim olmak üzere akım yönünde genişleyen bir parabol içinde kalmaya eğilimli olduğu görülür.

Hem difüzyonun ve hem de konveksiyonun etkili olduğu hallerde ($R_e \ll 1$), katı sınırdan difüze olan vorteksin çok az ileride nisbeten küçük kalınlıklı bir tabaka içinde kaldığı görülür.



Bu tabakanın, R_e sayısının artması ile kalınlığı azalırken, vorteksin şiddeti daha da artar.

1.3.3. SINIR TABAKASINDAN AYRILMA OLAYI

Sınır tabakası dışında ideal kabul edilen akışkanın hareketi yönünde basınç gradyeninin artması, sınır tabakası içindeki akışkan partiküllerinin bu ters basınç gradyenine karşı hareket ederken, kinetik enerjisinin büyük bir bölümünü kaybetmesine neden olur. Bu ters basınç gradyeninin tesirleri artık sınır tabakası içindeki partiküler tarafından belirli bir yerden itibaren yenilemez; İşte bu noktada bir yavaşlama ve ardından da bir ayrılma gözlenir. Bu olaya sınır tabakasının ayrılması adı verilir /1/.

Permanan akıma yerleştirilmiş ve şekil düzlemine dik bir silindirik engel dikkate alırsak Şekil (1.6), serbest akışkan için ;

$$p + \rho \frac{U^2}{2} = sb. \quad (1.8)$$

olduğunu biliyoruz. (1.8) denkleminin, hız yönünde bir akım çizgisi boyunca türevini alırsak,

$$\frac{\partial p}{\partial s} + \rho U \frac{\partial U}{\partial s} = 0 \quad (1.9)$$

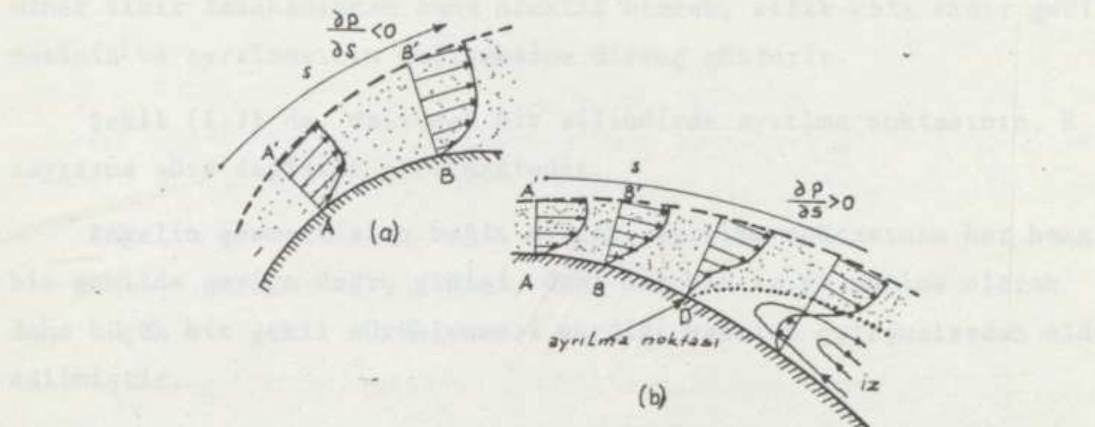
ifadesini elde ederiz.

Bu ifade, hız dağılımının engel boyunca değiştigini gösterir. O halde, (1.9) ifadesinden şu neticeleri çıkarmak mümkündür.

1) U hızı akım yönünde artıyorsa, bu takdirde $\partial U / \partial s > 0$, $\partial p / \partial s < 0$ olur. Sınır tabakası içinde de bu netice elde edilir. Bu olay cidar yakınında, kabaran hız profili deformasyonu ile açıklanabilir.

2) U hızı akım yönünde yavaşlıyorsa, bu takdirde; $\partial U / \partial s < 0$, $\partial p / \partial s > 0$ olur. Yani, hem sınır tabakasında ve hem de dış akımda basınç artmaktadır. Bunun neticesi olarak, sınır tabakasında akış yavaşlıyor ve cidar yakınındaki tabaka inceliyor. Şayet $\partial p / \partial s$ değişimi çok kuvvetli ise, sınır tabakasından ayrılma maydana gelir /7/.

sinir tabakasının hızı, türbülanslı akış tabakalarında olgular
değil, türbülanslı akışta hızın değişiminden akış hızının
değişimi söz konusudur. Bu durumda akış hızının değişimi
ile hızın değişimleri birbirine eşdeğerdir.



Şekil (1.6): Engel Boyunca Hız Dağılımı

Sınır tabakasından ayrılma olayı, yüksek basınç artımı oluşturan, küt burunlu engellerde veya sivri burunlu olmasına karşın akım doğrultusuna paralel yerleştirilmemiş engellerde meydana gelir. Çünkü, engelin bütün yüzeyi üzerinde, sınır tabakasının bağlanması mümkün olmadığı gibi, engelin arka kısmında dış akım önemli derecede gecikmeye uğrar. Bu ise, sınır tabakasının sürekliliği ile uyuşmayan bir özelliktir. Bu nedenle sınır tabakası yüzeyden ayrılır. Sınır tabakasından ayrılmının yeri için elde edilmiş kesin kurallar mevcut değildir. Bir kısım araştırıcıya göre, katı sınırdaki sürtünme gerilmesinin sıfır olduğu nokta olarak tanımlanmakta, diğer bir kısım araştırıcıya göre de, yaklaşık olarak hızın maksimum veya engelin en büyük boyutunun bulunduğu yer veya biraz mansabında meydana geldiği belirtilmektedir /12/.

Buna rağmen, ayrılma noktasının yeri sınır tabakasının laminer ve türbülanslı oluşuna göre oldukça değişir. Çünkü, türbülanslı sınır tabakası, laminer sınır tabakasına göre ayrılmaya karşı daha fazla direnç gösterir. Türbülansa ait çapraz akımlar hareket miktarını dış tabakalardan, engele yakın, yavaş hareket eden akışkan tabakalarına transfer etmektedir.

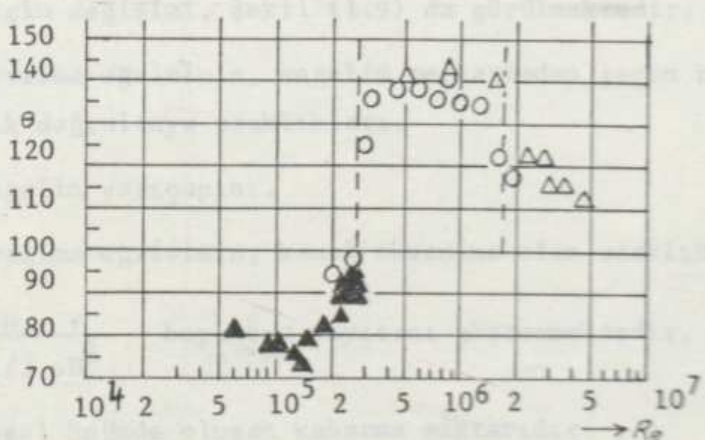
R_e sayısı belirli bir değeri aştığı zaman, sınır tabakasındaki daimi akım veya laminer akım kararsızdır. Bu takdirde türbülanslı

akımla yer değiştirir /12/. Türbülanslı sınır tabakasında akışkanın farklı tabakaları arasındaki hareket miktarının alış veriş oranı, akışkan elemanlarının rastgele enine hareketinden dolayı çok büyük olur. Böylece türbülanslı sınır tabakası, dış akım hızı azaldığı zaman, laminer sınır tabakasından daha efektif olarak, sıfır katı sınır gerilmesinin ve ayrılmاسının gelişmesine direnç gösterir.

Şekil (1.7) de, dairesel bir silindirde ayrılma noktasının, R_e sayısına göre değişimi görülmektedir.

Engelin geometrisine bağlı olarak, ayrılma noktasının herhangi bir şekilde geriye doğru gidişi, daha dar bir iz ve netice olarak daha küçük bir şekil sürüklənməsi verdiği yapılan çalışmalarдан elde edilmiştir.

Yukarda anlatılan olaylar, ancak iki boyutlu sınır tabakasından ayrılmayı açıklamaktadır. Bu neticeler, üç boyutlu sınır tabakası için geçerli değildir. Üç boyutlu sınır tabakasından ayrılma olayı daha kompleks olup çözümü de henüz verilmemiştir. Sınır tabakasının üç boyutlu olması halinde, ayrılma noktası yerine bir ayrılma eğrinden söz etmek gereklidir.



Şekil (1.7) : Dairesel Silindirlerde, Ayrılma Noktasının R_e Sayısı ile Değişimi.

DURGUN (1964), üç boyutlu sınır tabakasından ayrılma ile ilgili çalışması, bu konuya ışık tutması bakımından ilginç olup, şöyle özetleyebiliriz /1/.

Sınır tabakası dışındaki ideal kabul edilen akışkanın, hareket yönünde artan basınç gradyeni, sınır tabakası içindeki partiküller üzerine durdurucu bir etki yapar, belirli bir yerden itibaren akışkan partiküllerinin sınır tabakasından ayrılmamasına neden olur. Bu basınç gradyeninin değişmesi, eksende maksimum, kenarlara doğru gidildikçe küçük bir değerde olacaktır. Bu nedenle, eksendeki ayrılma yeri, kenarlara doğru gidildikçe meydana gelecek ayrılma yerinden ayağa daha uzakta olmalıdır. Şekil (1.8) de görüldüğü gibi, sınır tabakası içindedeki akım çizgilerinin eğrilik yarıçapları, engelin önündeki artan basınç gradyenlerinin yönünde küçülür. Bileşke basınç gradyeninin ($\Delta p_1 - \Delta p_2$) değişim şiddeti ne kadar büyük olursa, ayrılma eğrileri engele o kadar uzakta meydana gelir. Ters olarak, bu şiddet ne kadar küçük olursa, ayrılma eğrileri de o oranda engele yaklaşır.

Ayrılma eğrilerinin tepe noktaları, Δp_1 ters basınç gradyenle-riyle, ayrılma eğrilerinin engele uzaklıkları ise, $\Delta p_1 - \Delta p_2$ bileşke basınç gradyenleriyle yakın bir ilişki içinde oldukları gözlenmiştir.

Ayrılma eğrisinin konumu, Euler sayısına benzer η boyutsuz sayısını ile karakterize edilerek, Y/D boyutsuz değişkenine göre, X'in sabit değerleri için değişimi, Şekil (1.9) da görülmektedir. Burada,

γ : Ayrılma eğrisinin, engelin merkezinden geçen kanal eksenine dik doğrultuya uzaklıkları.

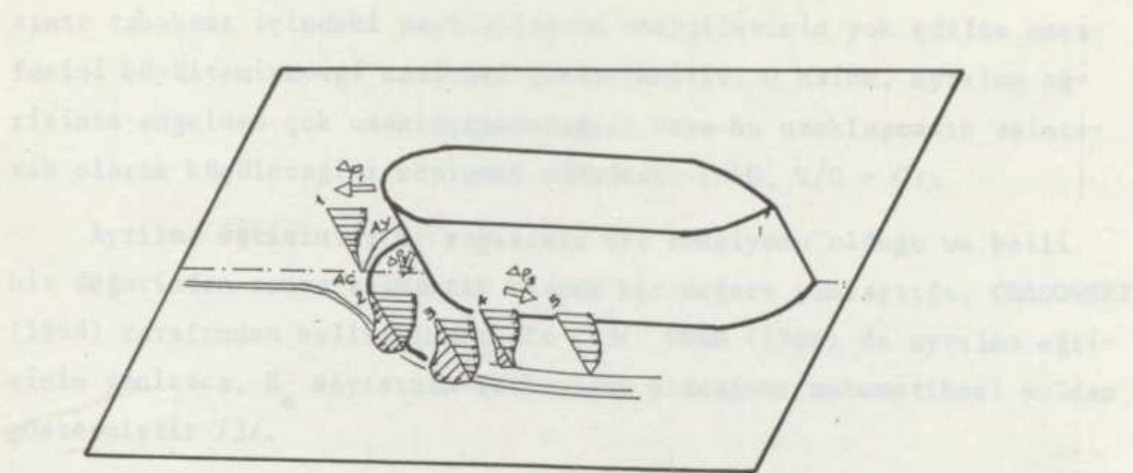
D : Engelin yarıçapını,

X : Ayrılma eğrisinin, kanal eksenine olan uzaklıkları,

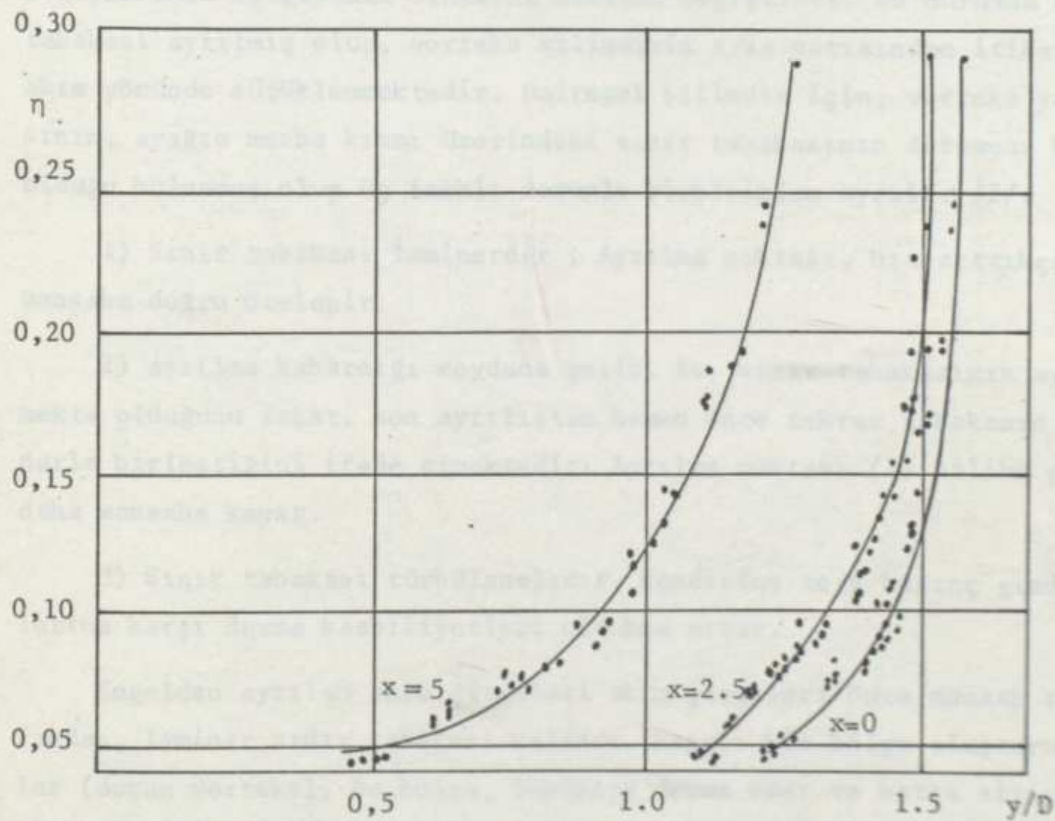
$$\eta = \frac{\Delta h + \gamma}{1/2 \rho U^2} \quad \text{boyutsuz sayısını göstermektedir.}$$

Δh : Engel önünde oluşan kabarma miktarıdır.

Şekilden görüldüğü gibi, η 'nın artışına karşılık, Y/D değerleri, belirli bir değerden sonra çok az artmakte veya diğer bir değişle asimtotik olarak belirli bir değere yaklaşmaktadır.



Şekil (1.8) : Akımın Engel Önündeki Değişimi.



Şekil (1.9) : Ayrılma Eğrisinin Asimtotik Bir Değere Yaklaştığını Gösteren Eğri.

Bunun sonucu olarak, basınç gradyenleri ne kadar artarsa artınsa, belirli bir değerden itibaren bu basınç gradyenlerinin etkisinin,



sınır tabakası içindeki partiküllerin enerjilerinin yok edilme mesafesini büyültemeyeceği neticesi çıkarılabilir. O halde, ayrılma eğrisinin engelden çok uzaklaşamayacağını veya bu uzaklaşmanın asimtotik olarak küçüleceğini söylemek mümkündür ($n>0$, $Y/D > 0$).

Ayrılma eğrisinin, R_e sayısının bir foksiyonu olduğu ve belli bir değerinden sonra asimtotik olarak bir değere yaklaştığı, GRADOWSKI (1968) tarafından belirtilmektedir /13/. SHEN (1966) de ayrılma eğrisinin yanlışca, R_e sayısının fonksiyonu olacağını matematiksel yoldan göstermiştir /3/.

Engelin dairesel bir silindir olması halinde, yavaşlayan akımın etkisi ile, vorteks tabakasının büyümesi ve yayılması vortekse sahip olmayan akım bölgesinin sınırını esastan değiştirir. Bu durumda sınır tabakası ayrılmış olup, vorteks silindirin arka yarısından itibaren akım yönünde sürüklenemaktadır. Dairesel silindir için, vorteks yayılmasının, ayağın menba kısmı üzerindeki sınır tabakasının durumuna bağlı olduğu bulunmuş olup üç farklı durumla birbirinden ayrılır /2/.

1) Sınır tabakası laminerdir ; Ayrılma noktası, hız arttıkça mansaba doğru ötelenir.

2) Ayrılma kabarcığı meydana gelir. Bu, sınır tabakasının ayrılmakta olduğunu fakat, son ayrılıştan hemen önce tekrar tabakanın cidarla birleştiğini ifade etmektedir. Ayrılma noktası (1) haline göre daha mansaba kayar.

3) Sınır tabakası türbünlansıdır. Kendisine ters basınç gradyenlerine karşı durma kabiliyetleri oldukça artar.

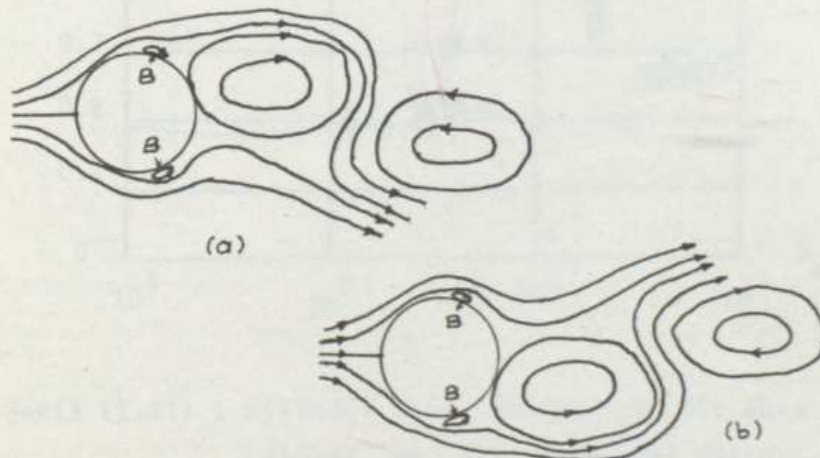
Engelden ayrılan akım çizgileri akım çizgileri önce mansap tarafından, laminer sınır tabakası halinde, kapalı bir bölge oluştururlar (duran vorteks). Bu bölge, büyümeye devam eder ve hatta silindirin boyutundan daha büyük olur. Nihayet, duran vorteks asimetrik olan titreşimler oluşturur ve bir kısmı koparak mansap akımına doğru hareket ederler.

Silindirik engel etrafında bu kadar çok vorteksin ayrılması, engel yakınındaki akımı da önemli bir biçimde etkiler. Böylece, ters yönde dönen vorteks daha da büyüterek dönen bir akışkan meydana

getirirler. Şekil (1.10) mümkün olan bir akım biçimini göstermektedir. B bölgesi, ayrılma noktasından sonra küçük, rölatif olarak durgun, bir sökonder vorteksi göstermektedir. Bu akım modeline göre, sökonder vorteksten hemen sonraki akım pozitif yönindedir. Fakat, daha mansapta-ki ise zamanla yönünü değiştirir /5/.

Bu kopan vorteksler, belirli bir uzaklığa kadar gözlenebilir ve hemen hemen birbirlerine paralel olarak doğrusal bir sıra üzerinde KARMAN vorteks sokağını oluştururlar. Bu olay $70 < R_e < 3,5 \cdot 10^5$ değerleri arasında gözlenebilir. Bu değerden itibaren sınır tabakası türbülanslı hale geçer.

Vorteks yayılmasının, R_e değerlerinin geniş bir bölgesi içinde periyodik bir görünümde olduğu bulunmuştur. Dairesel silindirik bir engel için dört ayrı karakteristik bölge bulunmuştur.



Şekil (1.10) : Engelin Mansabında Oluşan Çevriler.

a) Kritik Altı Bölge : Vorteks yayılması frekansı, Strouhal sayısına tekabül etmektedir.

$Sh = n_s \cdot D/U = 0.2$ değeri sağlanmaktadır. Burada,

n_s : Yayılma frekansı,

D : Engelin çapı,

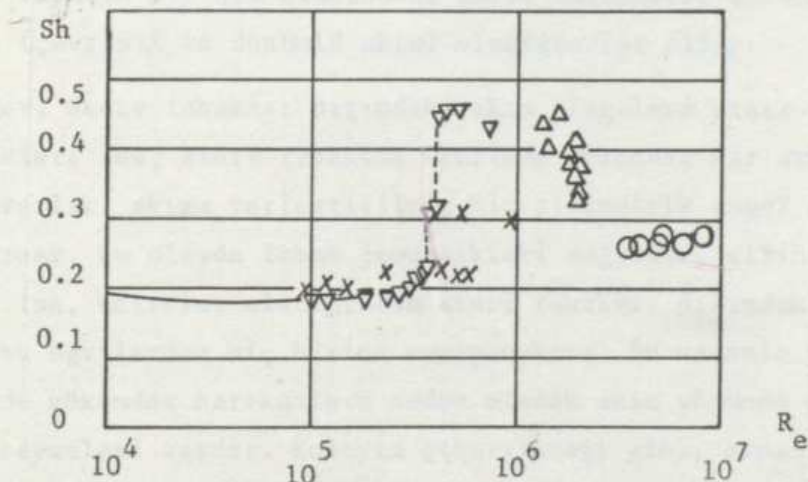
U : Tedirgin edilmemiş yaklaşım hızıdır.

b) Kritik Bölge : Bu bölgede Sh sayısı, R_e sayısı ile birlikte artmaktadır. R_e sayısı $1,5 \cdot 10^5$ değerinde olduğunda, $Sh = 0,2$ iken, yaklaşık olarak $R_e = 2,5 \cdot 10^5$ olduğu zaman, $Sh = 0,4$ değerine yükselmektedir.

c) Kritik Üstü Bölge : Vorteks yayılması artık periodik degildir. Bu bölge $2,5 \cdot 10^5 < R_e < 10^6$ ile karakterize edilir.

d) Kritik Geçiş Bölgesi : Vorteks yayılması tekrar periodik hale gelir ve Sh yine yaklaşık olarak 0,2 değeri ile karakterize edilir.

Bu değişim, Şekil (1.11) de görülmektedir.



Şekil (1.11) : Silindir İçin, İki Boyutlu Bir Akım Halinde, $Sh - R_e$ Arasındaki Bağıntı.

Yukarıda belirtilen sonuçların, üç boyutlu bir akım ne derecede uygulanabileceği kesin olarak bilinmemektedir. Bu durumda yaklaşım hızı değişmediğinden, sabit Sh değeri, farklı seviyelerde farklı ayrılma frekansı anlamına gelecektir /5/.

Görüldüğü gibi, üç boyutlu sınır tabakasından ayrılma olayı, gözleme dayanan neticeler dışında henüz çözümü yapılamamış bir durumdadır. Buna rağmen ayrılma olayının neticesinde oluşan engel



etrafındaki vorteks hareketleri ve sökonder akımlar için geniş bir çalışma günümüzde yapılmaktadır ve yaklaşık da olsa bazı çözümler elde edilmiştir.

1.4. KÖPRÜ AYAKLARI ETRAFINDA OLUŞAN VORTEKS SİSTEMLER ve SÖKONDER AKIM

1.4.1. VORTEKS SİSTEMLER

Bir engel etrafında yer alan akımın en belirgin özelliği, büyük ölçekli çevrinti yapısı veya başka bir deyişle, vorteks sistemleridir /14/.

Çevrinti sistemleri akım yapısının bütünleyici bir parçasıdır. Engelin yakınındaki hızın düşey bileşenine etki ederler. Tedirgin edilmiş iki boyutlu bir hız alanındaki akımı enlemesine kesen vorteks katmanları (çevrinti ve dönümlü akım) oluştururlar /15/.

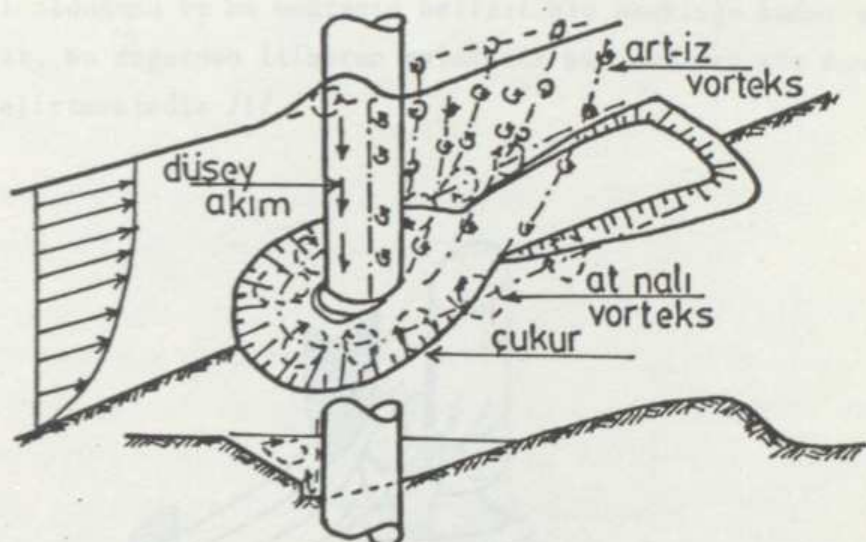
Eğer, sınır tabakası dışındaki akım çizgileri sınır yüzeyinin jeodezikleri ise, sınır tabakası üzerinde sökonder bir etki yoktur. Buna karşılık, akıma yerleştirilmiş bir silindirik engel dikkate alınacak olursak, bu olayda taban jeodezikleri doğrular, silindirin jeodezikleri ise, helisler olacağından sınır tabakası dışındaki akım çizgileri bu eğrilerden hiç birine uymayacaktır. Bu nedenle sınır tabakası içinde sökonder hareketlere neden olacak akım yönünde olmayan basınç gradyenleri vardır. Kolayca çıkarılacağı gibi, sınır tabakası dışındaki akımın bir engelle karşılaşması nedeniyle, engelin menba tarafından, harekete ters bir basınç artması meydana gelir /1/.

Bu basınç gradyenlerindeki artım, engelin menbaında üç boyutlu sınır tabakasından ayrılma olayına götürür. Bu ayrılma ve engelin menba durgunluk düzleminde oluşan hızın düşey bileşenlerinin, taban zemini üzerinde yansımıası ve sapması neticesinde, engel yakınında vorteks sistemler meydana gelir /16/.

Engel etrafında oluşan bu vorteks sistemler, esas itibarıyle üç ayrı biçimdedirler. Şekil (1.12) de görüldüğü gibi,

- 1) Sürüklenen vorteks sistem,
- 2) Atmalı vorteks sistem,

3) Art - iz (izli) vorteks sistem,
oluşmaktadır.



Şekil (1.12): Engel Etrafında Oluşan Vorteks Sistemler.

1.4.1.1. SÜRÜKLENEN VORTEKS SİSTEM

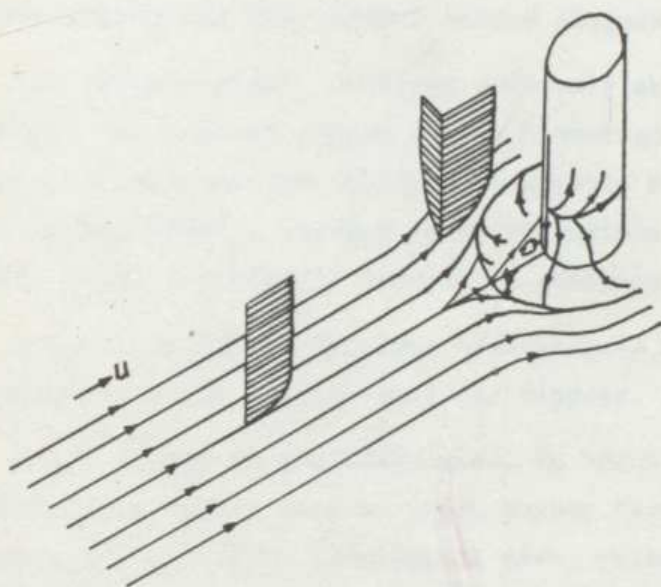
Bu vorteks sistemler, aynı köşede birleşen yüzeyler arasında sonlu basınç farkları olan durumlarda meydana gelmektedir. Engelin durgunluk düzlemi ile kanal tabanının birleştiği yerde, kabarmadan dolayı oluşan yüksek basınç gradyenleri bu vortekslerin oluşmasına neden olur. Genellikle, tamamen batık engellerde meydana gelir.

Akıma yerleştirilen bir engelin menba yüzünde oluşan sınır tabakası içinde kaymama şartının uygulanması, dU/dZ , düşey hız gradyenini yaratır ki bu da aşağı yönlü hareket eden akımı idare eder. Diğer bir deyişle, durgunluk düzlemindeki basıncında, düşey basınç gradyenini doğurur. Bu akım tabanda saparak menba simetri düzleminde, belli birlikte uzaklıkta ayrılma noktası oluşturur /11/.

SHEN (1966), gerek durgunluk düzleminde aşağı doğru inen akımın sınır tabakasından ayrılması ve gerekse, taban akımın sınır tabakasından ayrılması neticesinde oluşan çevri hareketlerinin, bu vorteks sistemi meydana getirdigini belirtmekte ve Şekil (1.13)'d vermektedir /3/.

Bu çevrileri oluşturan esas etkinin, yukarıda belirtildiği gibi,

menba tarafındaki yüksek basınç alanıdır. DURGUN (1964) engel önündeki bu ayrılma noktasının engele olan uzaklığuna Δp_1 ters basınç gradyeninin etkili olduğunu ve bu noktanın belirli bir uzaklığı kadar artacağını, fakat, bu değerden itibaren asimtotik bir artımın söz konusu olacağını belirtmektedir /1/.

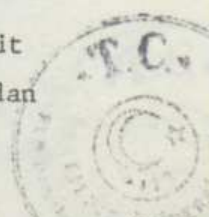


Şekil (1.15) : Sürüklenen Vorteks Sistem.

1.4.1.2. ATNALI VORTEKS SİSTEM

Engelin menbainda oluşan aşağı yönlü düşey hız bileşeninin tabana vardığında yansındığını veya saptığını biliyoruz. Yön değiştiren bu hız bileşenlerinin bir bölümü sürüklenen vorteks sistemini oluştururken, diğer bir bölümü de tekrar yükselerek hareketlerine devam ederler. Bu olayların sonucu olarak engelin tabanı yakınında bir çevrini hareketi oluşur. İşte bu yeni çevri hareketine atnalı vorteks sistem adı verilir. Gerçekte, bu hareketin hızları, genel hareketin hızları ile birleşerek bir helikoidal hareket oluştururlar /7/.

Görüldüğü gibi, atnalı vorteks sistemin oluşması için, yeter büyülüklükte bir basınç değişiminin olması gereklidir. Bu ise, ancak küt burunlu engeller için söz konusudur. Bu takdirde, sınır tabakasından



ayırılma meydana gelir. Bu olayda, atnalı vorteks sistemi oluşturmak üzere engel önünde yuvarlanır.

O halde, küt burunlu engel, yukarıdaki olayı başlatacak yeter büyülükteki yüksek basınç değişimini ortaya çıkan engellere verilen addır. Diğer bütün engeller, sivri burunlu engel adını alırlar.

Sivri burunlu engeller etrafında, vorteks sistem olmasına rağmen burun kısmında hiç bir vorteks sistem oluşmaz.

Küt burunlu engel, tedirgin edilmemiş akımda aslında varolan vorteksleri, bir noktaya yiğici olarak hizmet görür. Diğer bir deyişle, vorteksleri bir noktada toplayan ve bütünen bir aygit görevini görür /11/. TANAKA (1967), yatağın yerel yüklerinin, vortekler tarafından engelin önüne taşıdığını deneylerle gözlemiştir /18/.

Bununla birlikte, dağılmış vortekslerin bir temel vorteks içinde yoğunlaşması henüz açıklanmamış bir olaydır.

Şekil (1.12) de görüldüğü gibi, üç boyutlu bir engel için vorteks katmanlarının uçları sonsuza doğru mansap tarafından uzanan ve vorteks davranışının kinematik kanunlarına göre, vorteks çekirdeğindeki dönümlü akım hızlarını arttıran, işte bu atnalı vorteks sistemdir.

Engelin geometrisi atnalı vorteksin şiddetinin belirtilmesinde önemli bir faktördür /5/, /14/.

Ancak, bu vorteks sistem, bütün akım şartlarında kararlı degildir. SCHWIND (1962), bazı Reynolds sayılarında atnalı vorteks sistem periodik olarak yayılmakta olduğunu belirtmektedir /19/. Bu olay deneysel olarak, SHEN (1966) ve MELVILLE tarafından da gözlenmiştir /3/, /4/.

Kama veya mercek biçimindeki bazı engel şekilleri, kamanın açısına ve tedirgin edilmemiş akımın geliş açısına göre ya küt burunlu veya sivri burunlu engel olarak tanımlanabilir. SHEN (1966) ve SCHNEIDER (1970), engelin burun açısı 30° den daha büyük olduğu zaman küt burunlu engel olarak kabul edilebileceğini deneysel olarak göstermişlerdir /3/, /20/. Buna rağmen, akım, ayaklarla belli bir açı yaparsa, sivri ayak, küt burunlu ayak gibi davranışır.

Atnalı vorteks sistem dairesel engellerde, ana akımla 70° açı yapan nokta yakınında, dikdörtgen engellerde ise, engelin köşelerinde

maksimum dönümlü akım hızına sahip olduğu belirtilmektedir /14/.

CARSTENS (1975) ise, dairesel engeller için, atnalı vorteksin maksimum şiddetinin 45° civarında olacağını belirtmektedi /11/.

1.4.1.3. ART - İZ (İZLİ) VORTEKS SİSTEM

Engel yüzeyindeki kararsız sürtünme tabakasının yukarı doğru dönenek çıkışından meydana gelir. Bu sistem içinde konsantr olan çevriler engelin kendisi tarafından meydana getirilir. Sürtünme tabakaları, ayrılma hattının her iki tarafından koparak ayrılırlar. Art-iz vorteks sisteme çevrilerin şiddeti, engelin şekline ve akım hızına bağlı olarak çok değişir. Ayağın arka tarafında, tabandan yukarıya doğru kalkan bir akım gözlenir.

Düşük Reynolds sayılarında ($3 < R_e < 50$), bu vorteksler stabildir ve ayağın mansabına yakın kalırlar. Ancak, R_e 'nin daha büyük değerlerinde stabil degildir ve ayaktan mansaba doğru yayılırlar. Bu vortekslerin şiddeti, ayak şekline ve akım hızına bağlıdır.

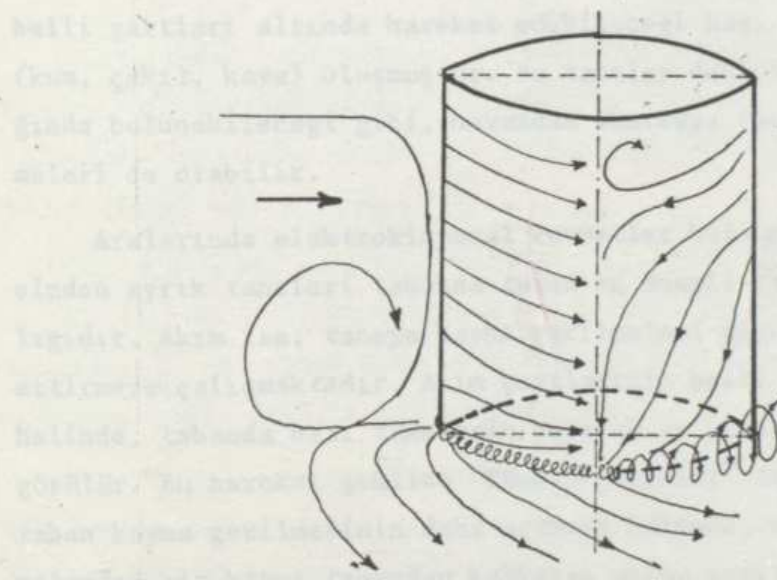
Viskoz akımlarda, genellikle, bir silindirin art-iz bölgesindeki sökonder akımın, artan hız yükü doğrultusunda olduğu söylenebilir. Bu olay, genellikle, yaklaşım hızının silindire doğru artması, silindirin arkasındaki basıncın düşmesi çerçevesinden çıkarılmıştır /15/.

Yüksek hızlar oluştugu zaman basınç gradyeni düşer ve sökonder akım aşağı yönelir. Hız düşünce, vorteks yayılmasının şekli değişeceden akım tekrar yukarı yönelir. Böylece, yüzeye oluşan vorteksler mansaba doğru yayılırken, yerine tabandan yeni bir vorteks oluşur ve yayılır /14/.

TISON (1940), bu çevrilerin oluşumunu ve gelişmesini şu şekilde açıklamaktadır ;

Hızların daha büyük ve akım çizgilerinin eğrilik yarı çaplarının küçük olduğu hallerde, sökonder hareketin artan hız yönünde yüksele-rek gittiği açık olarak görülür. Yüzeyden kaçmak için dönerek yükselmekte olan bu iki çevri, genel hareket tarafından sürekli olarak beslenir. Bunun sonucu olarak, bu hareketin de helikoidal yörüngeli olacağı açıklıdır /17/.

Gerçekte, olay çok basit değildir. Engelin mansabındaki bu iki çevrinin, genel hareketle tamamlanmasının neticesi olarak hızın normal değerlerinde instabl bir hale dönüşür. Çevrilerden biri, ötekin- den daha önce oluşur. Fakat, bu çevri, kendi partikülleri ile genel hareketin sürtüşmesi neticesinde frenlenir. Bu olay, derhal küçük olan diğer çevrinin biraz daha küçük ölçekte oluşmasına neden olur. Bu olaylar ard arad sürekli olarak meydana gelir. Şekil (1.14) de art - iz vorteks görülmektedir.



Şekil (1.4) : Art - Iz Vorteks Sistem



BÖLÜM II

KATI MADDE HAREKETİ VE KÖPRÜ AYAKLARININ KATI MADDE HAREKETİNE ETKİSİ

2.1. GENEL BİLGİLER

2.1.1. TARİF VE SINİFLANDIRMA

Tabiattaki akarsuların yatakları hemen hemen her zaman akımın belli şartları altında hareket edebileceği katı madde tanelerinden (kum, çakıl, kaya) oluşmuştur. Bu taneler daha önceden akarsu yatağında bulunabileceği gibi, havzadan akarsuya taşınmış aşınma malzemeleri de olabilir.

Aralarında elektrokimyasal kuvvetler bulunmayan kum, çakıl censusinden ayırmış taneleri tabanda tutan en önemli faktör, tanelerin ağırlığıdır. Akım ise, tane kayma gerilmeleri uygulayarak onu hareket ettirmeye çalışmaktadır. Akım şartlarının belli değerlere erişmesi halinde, tabanda bazı tanelerin kayarak ve yuvarlanarak ilerlediği görülür. Bu hareket şekline "Sünütü hareketi" denilmektedir. Akımın taban kayma gerilmesinin daha artması halinde, sürüntü hareketi tanelerden bir kısmı tabandan kalkarak akıma karışacak, kısa bir zaman tabanın biraz üstünde ve akım içinde hareket ettikten sonra tekrar tabana dönecektir. Böylece "Sığrama" hareketi başlamış olmaktadır. Sığramanın başlamasının nedeni tane yakınındaki basıncın değişmesi ya da bir tanenin çarpması olabilir. Akım hızının daha büyümesi halinde, artan taban kayma gerilmesinin etkisi ile, tabandan ayrılan taneler türbülans çevrileri aracılığı ile tabandan uzak noktalara taşınırlar. Yeni hareket şekli "Askı hareket" adını alır. Bu hareket, tanelerin çökelme hızlarının, akımın türbülans hızının düşey bileşeni tarafından yenilmesiyle oluşur. Bu etkiler altında, tanelerin bir kısmı uzun zaman akarsu içinde askı maddesi halinde taşınırlar. Askı halindeki tane tekrar tabana dönebilir. Ancak, bu noktada da askı hareketine neden olan akım şartları varsa, tane yine tabandan ayrılmış askı halinde hareketine devam eder /17/.



Göründüğü gibi, tanenin gerek tabandan ayrılmrasında, gerekse askı halinin devam etmesinde, türbülansın önemli ölçüde etkisi vardır. Son zamanlarda yapılan araştırmalar tane üzerinde doğrudan etki yeri-ne türbülans çevrilerin meydana getirdiği pozitif basınç gradyeni ile tanenin tabandan ayrıldığını göstermiştir /10/.

Tanelerin hareketi türbülans yapısının başlıca rol oynadığı hidrolik alanlardan birisidir. Türbülanslı hareketin, tanelerin sürükleme gerilmesine, askı hareketine, yıgilmasına ve difuzyonuna çok önemli etkileri olduğu bilinmektedir /22/.

2.1.2. TANELERİN SÜRÜKLENME BAŞLANGICI

Katı madde hareketinin, taban kayma gerilmesinin belli bir değerinden itibaren başladığı bilinmektedir. Taban kayma gerilmesinin, tabandaki tanelerin hareketine neden olan bu değerine kritik taban kayma gerilmesi adı verilir.

Kritik kayma gerilmesi kavramı, ilk defa SHIELDS (1936), tarafın-dan kullanılmıştır. SHIEDS, kayma gerilmesine yanlışca, düzen bozucu kuvvetlerin rol oynadığını varsayımış ve 1936 dan önce yapılmış çalışmalarla, kendi deneylerinden şöyle bir fiziki yorumu varmıştır;

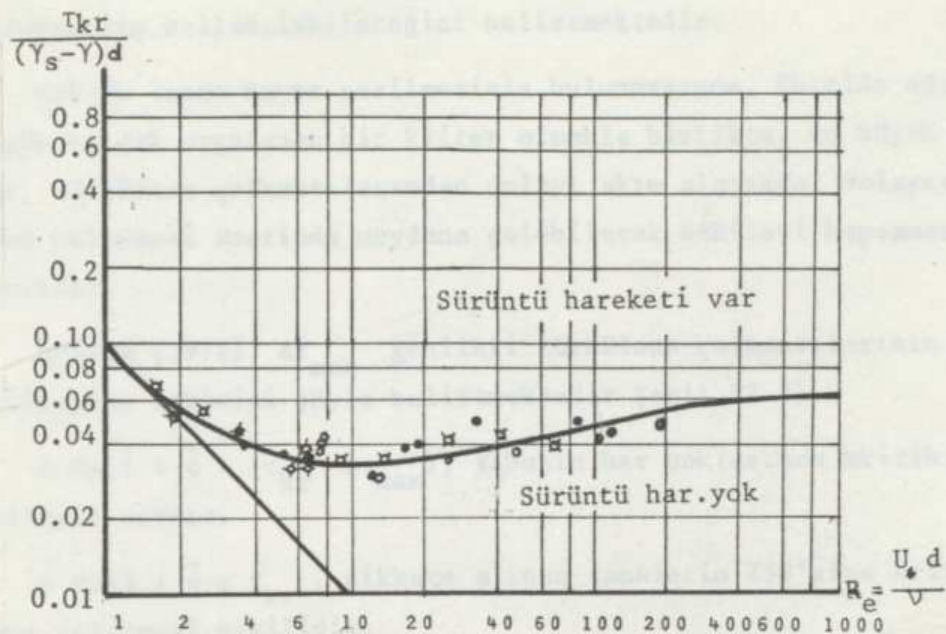
1) Taban kayma gerilmesi, yanlışca, verilmiş bir sıvıdaki, ve-rilmiş bir malzeme tipi için, sürükleme başlangıcı, tane Reynolds sayısına bağlıdır ($R_e = U_d/v$).

2) Malzemenin sürükleme başlangıcındaki kritik kayma gerilmesi tane çapıyla, üniform granülometrik malzeme için, $(\gamma_s - \gamma)$ su altındakı birim hacim ağırlığı ile orantılıdır $(\tau_{kr} / (\gamma_s - \gamma) . d) /23/$.

Bu yorumdan hareketle, kritik kayma gerilmesini hesaplamaya ya-riyan Şekil (2.1) deki eğriliği elde etmiştir.

Su altındaki yoğunlukları $0,03 \sim 3,3$ olan malzemeler için ge-çerlidir.

Eğrinin altındaki bölgede taban hareketsiz, buna karşılık üstünde deki bölgede ise hareketlidir. Eğri üzerinde üç ayrı bölge vardır. Bunlar sırasıyla, laminer bölge, geçiş bölgesi ve türbülanslı bölgedir.



Şekil (2.1.) : Shields Diyagramı.

Daha sonraları, Shields eğrisini daha basit ve uygulanabilir bir biçimde sokmak amacıyla çalışmalar yapılmıştır. Bu konuda, sürükleme hızlarının tarifinden hareketle ;

$$d_s = \left(\frac{\gamma_s - \gamma}{\rho v^2} \right)^{1/3} \cdot d \quad (2.1)$$

parametresinin, $\tau_{kr} / \gamma_s - \gamma d$ ve $U_e d / v$ 'nin her değeri için var olduğu tesbit edilmiştir /24/. BONNEFILLE (1964), bu neticeyi kullanarak, kritik kayma gerilmesinin hesabında kullanılmak üzere ;

$$d < \delta \text{ için, } d_s = 2,5 \left(\frac{U_e d}{v} \right)^{4/5} \quad (2.2)$$

$$d > \delta \text{ için, } d_s = 3,8 \left(\frac{U_e d}{v} \right)^{5/8} \quad (2.3)$$

bağıntıları elde edilmiştir. Bonnefille, (2.4) bağıntısını "Sedimentolojik çap" olarak tanımlamıştır. Önemli bir hata olmaksızın

$$d_s = 2,7 \left(\frac{U_e d}{v} \right)^{2/3} \quad (2.4)$$

bağıntısının kullanılabileceğini belirtmektedir.

Kritik taban kayma gerilmesinin bulunmasında, Shields egerisi bu gün en çok uygulanan bir kriter olmakla birlikte, en büyük eksikliği, türbülans çalkantılarından dolayı akım alanında, dolayısıyle taban malzemesi üzerinde meydana gelebilecek etkileri kapsamamış olmasıdır.

GUNTER (1971), $\Delta\tau_{\max}$ genlikli türbülans çalkantılarının kayma gerilmesine etkisini şöyle belirtmektedir Şekil (2.2).

A Hali : $\bar{\tau} > (\tau_{kr} - \Delta\tau_{\max})$, tabanın her noktasında kritik kayma gerilmesi vardır.

B Hali : $\bar{\tau} = \tau_{kr}$, dikkate alınan tanelerin %50'sine kritik kayma gerilmesi etkilidir.

C Hali : $\bar{\tau} = (\tau_{kr} - \Delta\tau_{\max})$, kritik hal henüz tam olmuşmamıştır.

O halde, bu durum, katı madde taşı nimin in başlangıcı olarak adlandırılabilir. Bu durumdaki kayma gerilmesi τ_{kr} kayma gerilmesi mertebesindedir /25/.

Göründüğü gibi, partiküllerin yığılma ve oyulma frekansları, taneler üzerinde var olan kayma gerilmesi ve kaldırma kuvvetine bağlıdır. Diğer bir deyişle, türbülanslı akım içinde, bu kuvvetler sabit bir değere sahip degillerdir. Aksine hız çalkantıları ile aynı büyüklükte olan bir periyodik seyirle zaman içinde değişirler. Öyleki, taban yakınındaki hız çalkantılarının, taban sürükleme hızına oranı, 2,6 ~ 3 değerine erişebilmektedir /22/.

MEYER - PETER (1948), türbülansın etkisini göz önüne alarak yatak yüzeyinde ilk tanenin hareket ettiği durumdaki akım karakteristiklerini ölçmüştür. Böylece, $\bar{\tau}_{kr} / (\gamma_s - \gamma)$ d'nin karşılığı olan τ_{kr} 'i elde etmek mümkün olmuştur.

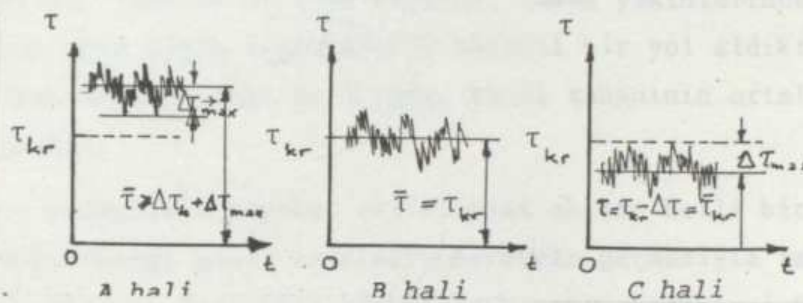
İncelemelerinde, katı madde taşı nimin in başlangıcındaki kayma gerilmesine türbülansın etkisini belirten $\eta = \tau_{kr} / \bar{\tau}_{kr}$ faktörünü ele almıştır.

η faktörünü her deney için hesaplamıştır, η 'nın, R_e sayısının bir foksiyonu olduğunu tespit etmiş ve bunu,



$$\eta = 1.03 - 3,44 \cdot 10^{-6} R_e \quad (2.5)$$

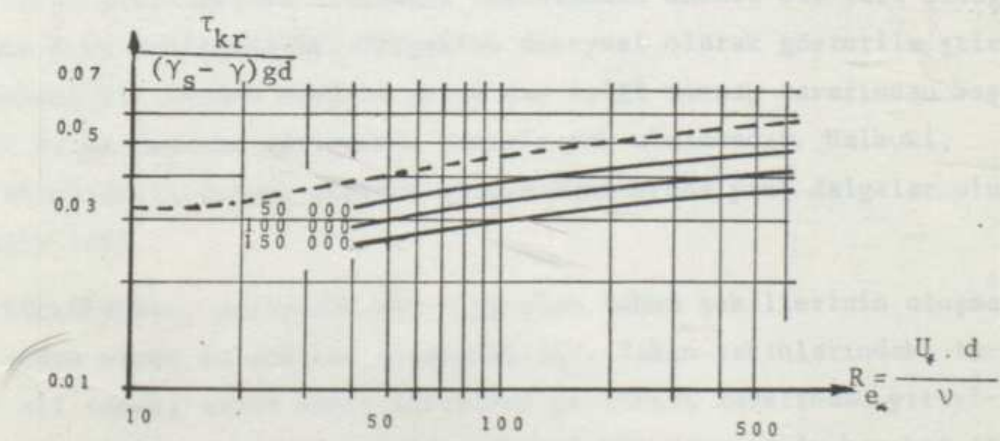
denklemiyle ifade etmiştir /26/.



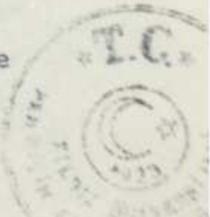
Şekil (2.2) : Zamanın Fonksiyonu Olarak Taban Kayma Gerilmesi.

GUNTER (1971), bu bağıntıdan hareket ederek, Şekil (2.3) deki diyagramı elde etmiştir. Böylece, Shields diyagramı türbülansın etkisini de içine alacak şekilde yeniden çizilmişdir. Yalnız, (2.5) denklemının $R_e = 150000$ için geçerli olabileceğini, R_e sayısının daha büyük değerleri için (2.5) denkleminin lineer olmayacağı bilinmektedir /25/.

Bütün bu çalışmalara rağmen, katı tanelerin sürüklendirme başlangıcını karakterize eden net bir kriter yoktur /26/.



Şekil (2.3) : GUNTER'e Göre, Çeşitli R_e Sayılarından Hareketle Sürüklendirme Başlangıcının Elde Edilmesi.



2.1.3. TABAN ŞEKİLLERİNİN OLUŞMASI VE TABAN DİRENÇİ

Hareketli tabanlı bir açık kanaldaki tanelerin belirli bir taban kayma gerilmesinden veya belirli bir hızdan itibaren harakete geçtiğini biliyoruz. Tabanın sökülen taneler, taban yakınlarında, sürüklene, yuvarlanma veya küçük sıçramalarla belirli bir yol aldıktan sonra yeniden sükunete geçerler. Bu sırada, kanal tabanının ortalama şekli bir düzlemdir.

Katı maddelerin hareket ettirilmesi akımın belli bir enerji kaybını gerektireceği gibi, tanelerin harekete geçmesiyle taban yakının- daki akım hızı ve özellikle türbülans karakteristikleri önemli miktarda değişime uğrar. Bunun sonucu olarak da, taban kayma gerilmelerinin dağılımı da değişir. Bu değişim orası, hareket eden tanelerin yüzdesi arttıkça, daha büyük önem kazanır.

Akım hızının biraz daha arttırılmasıyla artık tabanın düzlem kal- kalmadığı, buna karşılık, tabanda geometrik şekillerin olduğu görü- lür. Tabanda oluşan bu şekillere "Taban şekilleri" adı verilir.

Kohezyonsuz malzemeden oluşan bir akarsuda akım etkisiyle mey- dana gelen bu taban şekillerinin oluşumunun nedeni, yapılmış olan bir çok araştırmalara rağmen, gerek teorik ve gerekse rasyonel bir şekilde açıklaması mümkün olmamıştır.

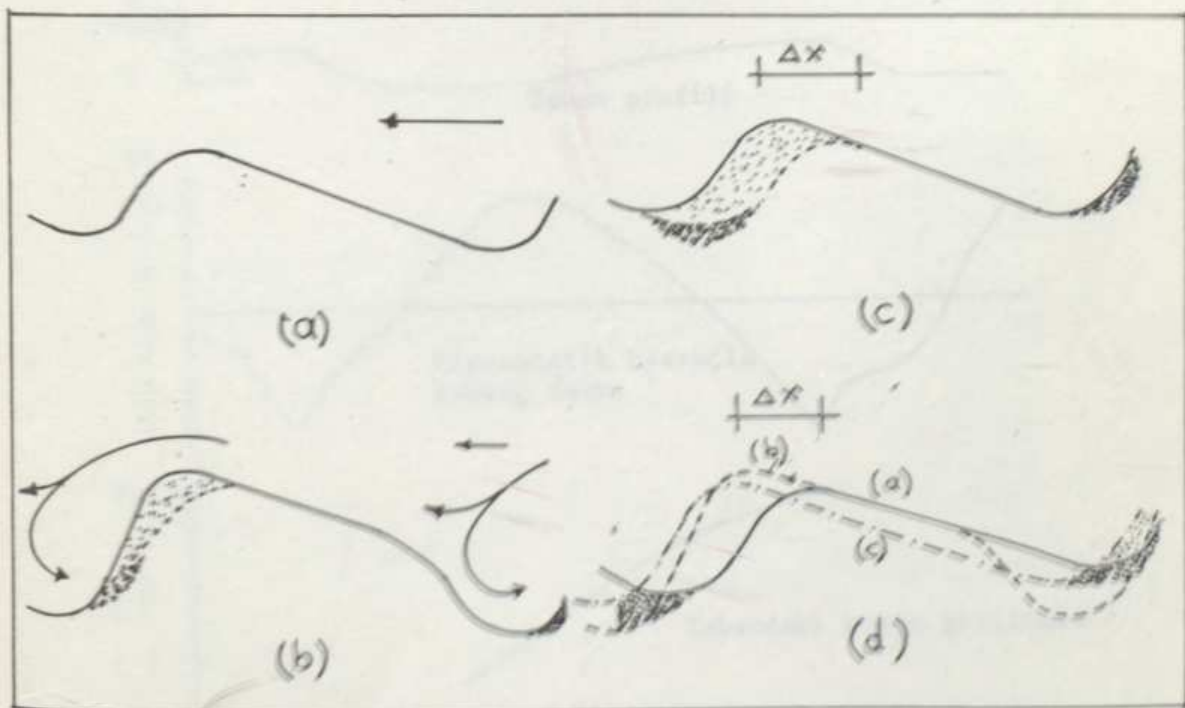
Taban şekillerinin oluşumuna türbülansın önemli bir yeri olduğunu daha önce belirtmiştik. Gerçekten deneysel olarak gösterilmiştir ki laminer bir akımda meydana gelen kum eşigi manşap tarafından baş- ka bir dalga meydana getirmeden zamanla yok olmaktadır. Halbuki, akım türbülanslı duruma geçince eşigin manşabında yeni dalgalar oluş-maktadır /28/.

Türbülansın, periyodik bir olsay olsa taban şekillerinin oluşma- sına neden olduğu şu şekilde açıklanabilir. Taban yakınlarındaki la- miner alt tabaka zaman zaman türbülans çevrileri tarafından yırtıl- makta, çevriler tabandaki taneleri geçici bir zaman için hareket et- tirerek küçük yığınlar oluşturmaktadır. Bu yığınların etkisi man- sabda doğrudan ancak yığının yüksekliğinin bir kaç katı kadar bir uzak- lik içinde devam ettiğinden, taneler tekrar tabana oturur. Böylece,

yeni bir yığıntı meydana gelir. Bu olayların sürekliliği neticesi olarak, taban, uzunlukları yaklaşık olarak eşit dalgacıklarla kaplanır.

Tabanda oluşan dalgacıkların oluşumu ve gelişmesi, Şekil (2.4) de görülmektedir. Şekilden de görüldüğü gibi, olayın oluşum mekanizmasını şöylece özetleye biliriz ;

- 1) Daha hızlı hareket eden tanelerin yavaş hareket eden taneleri engelleyip yavaşlatması,
- 2) Türbülans çevrilerinin tabandan söktüğü tanelerin bir kısmının ortalama akım hızı ile taşınmadıkları için yeniden yığılmaları,
- 3) Tanelerin üniform olmayacağı halinde, iri tanelerin harekete geçmeyışı, taban şekillerinin oluşumunun nedenidirler.

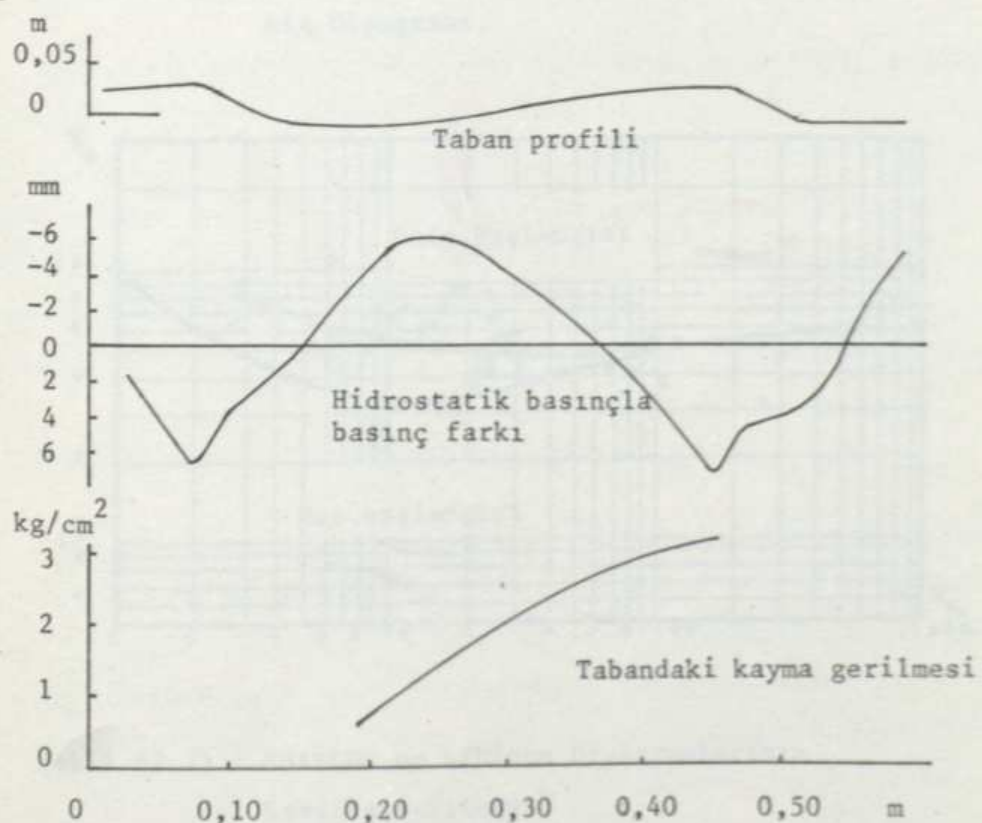


Şekil (2.4) : Dalgacıkların Oluşum Mekanizması

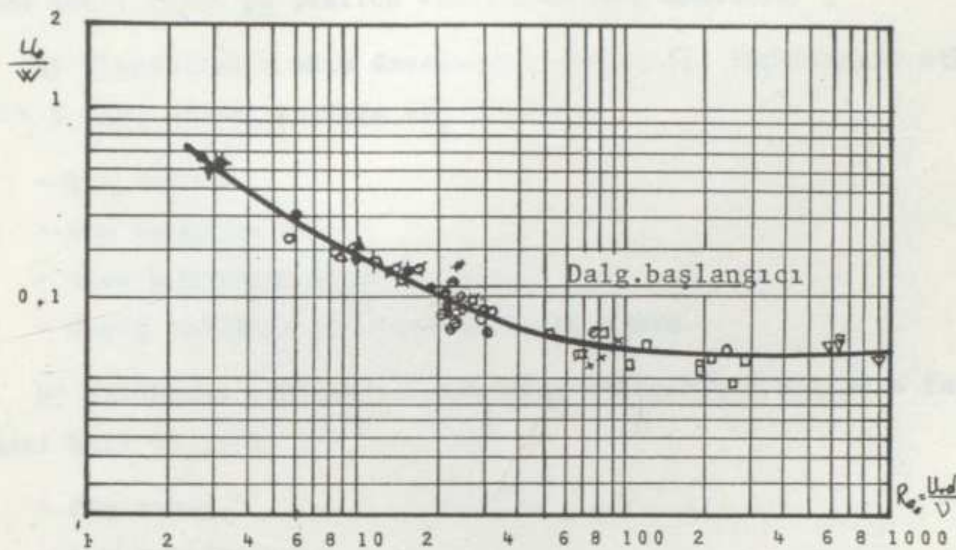
Taban hareketi, akımın değişimine paralel olarak, sürekli bir biçimde değişim içindedir. Çünkü, Şekil (2.5) de görüldüğü gibi, tabanda oluşan dalgalar, taban yakınındaki hidrostatik basınç dağılımında ve taban kayma gerilmesinde önemli değişimlere neden olur /29/.

Taban şekillerinin başlangıcını belirlemek amacıyla, LIU (1957), akışkanla taban arasındaki ayırm yüzeyinin stabilitesinin neticesinde oluştuğunu kabul ederek, Shields'in hareket başlangıcına ait verdiği eğriye benzer bir eğri vermiştir Şekil (2.6) /30/.

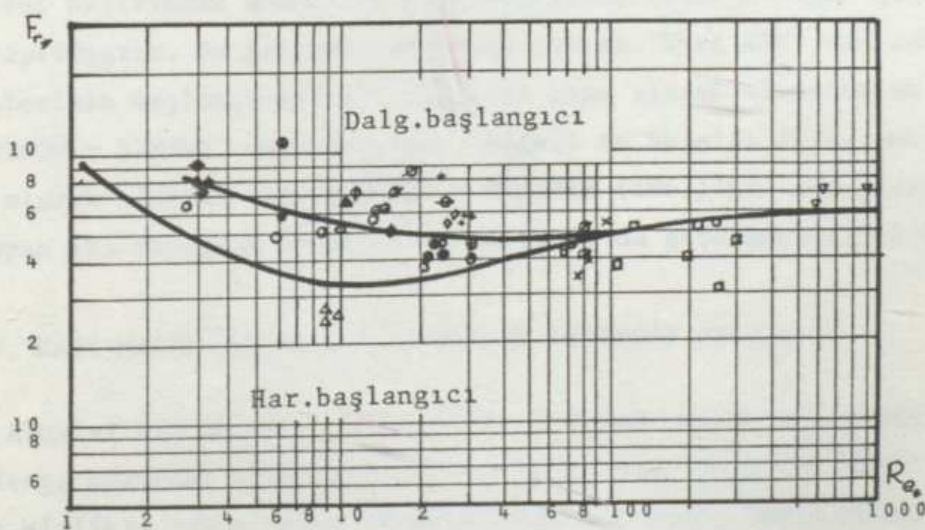
Shields, parametreleri cinsinden eğri çizilirse, Şekil (2.7) elde edilir. Görüldüğü gibi, laminer bölgede, hareket başlangıcı taban şekillerinin başlangıcından daha önce meydana gelmekte, buna karşılık, türbülanslı bölgede hareket başlangıcı ile taban şekilleri aynı anda oluşmaktadır.



Şekil (2.5) : Taban Dalgalarının Basınç ve Kayma Gerilmesine Etkisi.



Şekil (2.6) : LIU'nun Taban Şekillerinin Başlangıcına
Ait Diyagramı.



Şekil (2.7) : SHIELDS ve LIU'nun Diyagramlarının
Karşılaştırılması.

Tabanda oluşan şekiller, çok çeşitli şekillerde sınıflandırılmışlardır. Bazı araştırmacılar, akım özelliklerine göre, bazlarında

taban şekillerinin boyutlarına göre sınıflandırılmışlardır. Bu konuda taban şekillerini şu şekilde sınıflandırmak mümkündür :

a) Viskozitenin akım üzerindeki etkisinin, türbülansın etkisinin $1/5 \sim 5$ katı olması halinde ($F_r < 1$) ;

- Düz taban,
- Kum dalgacıkları,
- Ters kum dalgacıkları,
- Geçiş rejimine ait karakteristik taban.

b) Türbülans etkisinin, viskozite etkisinin 5 katından fazla olması hali ($F_r > 1$) ;

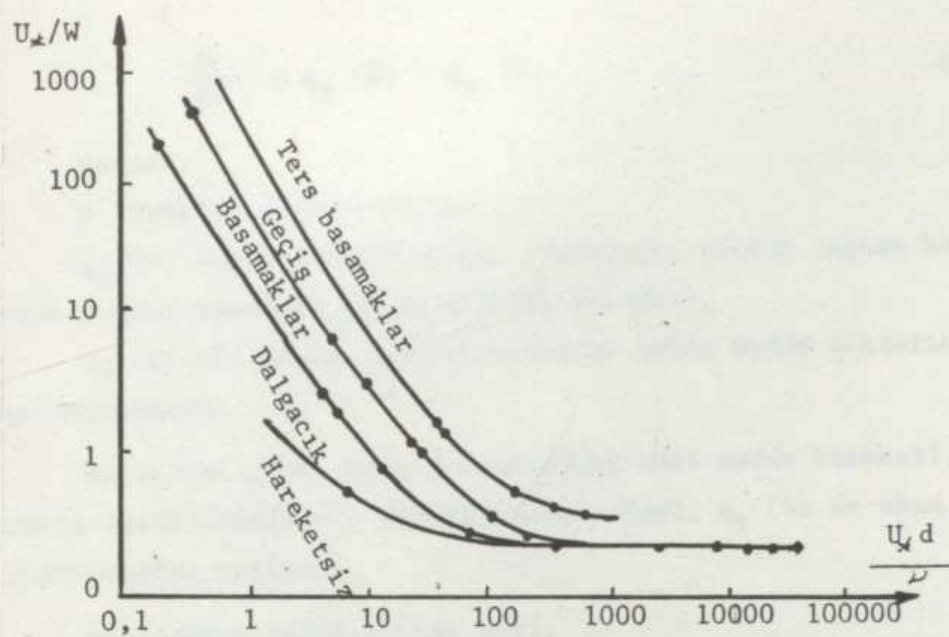
- Düz taban,
- Kum bankları,
- Ters basamaklar,
- Çok kuvvetli ters basamaklar /31/.

Taban şekillerinin yukarıdaki sınıflandırmaya göre, oluşum bölgelerini belirlemek amacı ile son zamanlarda oldukça yoğun çalışmalar yapılmıştır. Bu çalışmalara örnek olarak, biri LIU' nun taban şekillerinin başlangıcına ait eğrisini esas alarak oluşturulan ALBERTSON - SIMONS' nun sonuçları, diğer de Shields diyagramını esas alarak oluşturulan, CHABERT - CHAUVIN (1963)'nın sonuçlarını kapsayan iki diyagram Şekil (2.8) ve (2.9) da görülmektedir /24/.

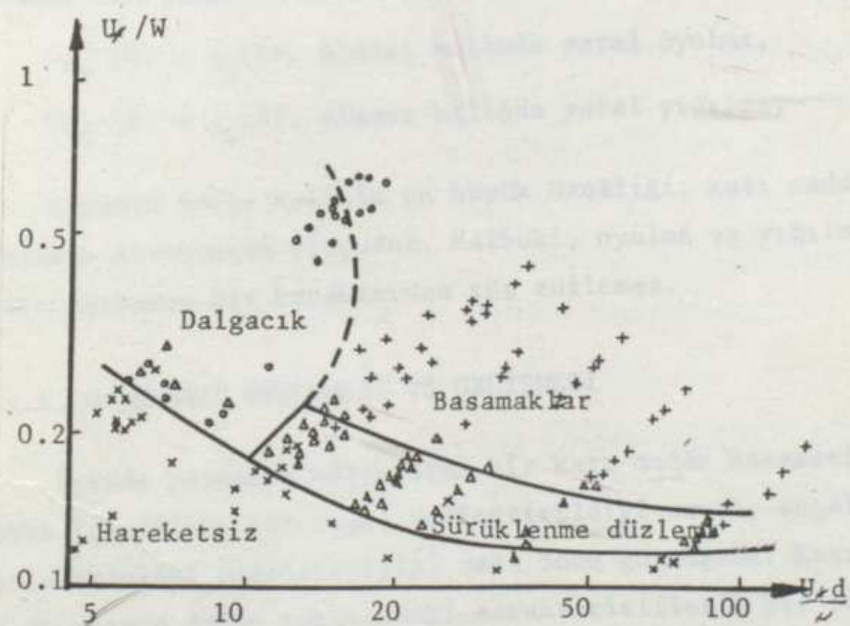
2.1.4. KATI MADDE TAŞINIMINDA DENGE VE DENGENİN BOZULMASI

Aluvial bir akarsu, taşıdığı debi ve katı madde miktarına uygun bir denge konumuna ulaşır. Böyle bir akarsuyun tabanı hareketli olmakla birlikte taban seviyesinde bir değişim olmaz. Yani, gelen malzeme miktarındaki değişimler, akarsuyun tabanında kısa süreli değişimlere neden olmakla birlikte, neticede gelen malzeme miktarı ile, taşıma kapasitesinin eşit olacağı bir denge durumu oluşur. Bu şekilde oluşan dengeye "Dinamik denge" adı verilir.

Aluvial bir akarsuda taşınan katı madde miktarında yerel bir değişiklik olursa, tabanda da bir değişim meydana gelir. Bu değişim,



Şekil (2.8) : Taban Şekillerinin Oluşum Bölgeleri



Şekil (2.9) : CHABERT ve CHAUVIN' e Göre Taban Şekillerinin Oluşum Bölgeleri.

oyulma veya yıgilma şeklinde kendini gösterir. Bu olay matematiksel olarak şu şekilde ifade edilir ;

$$\frac{dV}{dt} = q_T(B) - q_T(S) \quad (2.6)$$

Burada,

V Tabanın geometrisini,

$q_T(B)$ Taban geometrisinin fonksiyonu olarak taşıma kapasitesini (söz konusu kesitten çıkan malzeme miktarı),

$q_T(S)$ Söz konusu kesite menbadan gelen madde miktarını, göstermektedir.

Bilindiği gibi, akım içerisindeki katı madde hareketi, akım karakteristiklerinin bir fonksiyonudur. Yani, $q_T(B)$ de akım karakteristiklerine bağlıdır.

Denklemden anlaşılacağı gibi,

$$q_T(B) = q_T(S)$$

olursa, bu taktirde, $dV/dt = 0$ olmaktadır. Yani, hareketli yataktaki dinamik bir denge vardır. Aksi halde, iki durumla karşılaşılır ;

$-q_T(B) > q_T(S)$, olması halinde yerel oyulma,

$-q_T(B) < q_T(S)$, olması halinde yerel yığılma,

Dinamik denge halinin en büyük özelliği, katı madde hareketinin permanan karakterde oluşudur. Halbuki, oyulma ve yığılma olayı için artık permanan bir karakterden söz edilemez.

2.1.5. OYULMANIN BAŞLAMASI VE GELİŞMESİ

İçinde permanan karakterde bir katı madde hareketi bulunan açık kanal içerisinde bir engel yerleştirildiği zaman, engelin akım karakteristiklerini değiştirdiğini daha önce görmüştük. Katı madde hareketi de akımın taban yakınındaki karakteristilerin bir fonksiyonu olduğuna göre, engel nedeniyle artan akım hızı, akımın taşıma kapasitesini de artıracaktır. Çoğalan yerel oyma ve katı madde taşıma kapasitesi yataktaki bir oyulmanın meydana gelmesine neden olur /32/.

Engelin, sürüntü hareketi üzerine etkisi sadece akım karakteristiklerini değiştirmekle kalmaz, aynı zamanda engelden dolayı oluşan



turbülans ve vorteks sistemlerin de etkisi önemlidir. Daha önceki bölümde, engel etrafında oluşan üç tip vorteksten söz edilmişti. İşte bu vortekslerin oluşturduğu dönümlü akımın hızlarından doğan oyulma potansiyeli harekete karşı tanelerin direncini yenecek şiddette ise, engel yakınında oyulma başlar. Yani, oyulma, vorteksin yatakdaki malzemeleri koparmak ve askıda tutmak için yeterli bir kayma gerilmesini oluşturduğu andan itibaren başlar. Helikoidal hareket, yataktaki maddeleri mansaba doğru sürüklər ve vorteksler onu antognist basınç gradyeni ve vortekslerin etkisi ile her yöne yayar. Bu harekete, atnalı vorteks sistemle, bir emme fonksiyonunu gören art-iz vorteks sistemin rolü çok büyüktür /13/.

Çukur derinleştiğçe, sınırdaki malzemeler tabana doğru kayar. Çünkü, vorteks dengede değildir. Fakat, vortekse çift yönlü periyodik değişimler etkindir. Böylece oyulma çukuru genişler. Oyulma, vorteksin taban malzemelerini taşıyacak veya askıda tutacak yeter kuvvet sahip olmadığı zaman oyulma durur. Bu yeni denge durumuna "Statik denge" adı verilir /21/

Oyulma olayının durmasının sebepleri net olarak açıklanamamakla birlikte, muhtemelen, oyulma olayının esas fonksiyonu olan vorteks sistemlerinin hız ve şiddeti ile yayılma frekanslarının oyulma çukurunun büyüməsiyle ters orantılı olarak azalmasıdır.

LAURSEN (1963), oyulma olayının kanitatif değerlendirilmesini (2.5) eşitliğini esas alarak şu şekilde yapmaktadır ;

- $q_T(B) = q_T(S)$ ise, oyulma olayı yoktur.

- $q_T(B) \gg q_T(S)$ ise, yataktə sürüntü hareketi yokken oyulma vardır. Bu durumdaki oyulmaya "Temiz su halindeki oyulma" adı verilir.

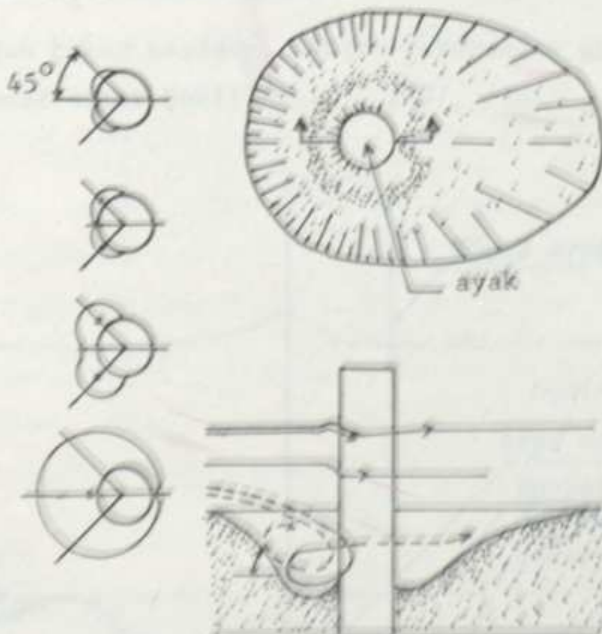
- $q_T(B) > q_T(S) > 0$ ise, yataktə hem sürüntü hareketi ve hem de oyulma olayı vardır. Bu durumdaki oyulma da "Daimi sürüntü maddeyi taşınımı halindeki oyulma" adı verilir /33/.

Göründüğü gibi, tabanda sürüntü hareketi olmadığı halde bile engel etrafında oyulma meydana gelmektedir. Bunun nedeni, engelden dolayı oluşan turbülans ve vortekslerdir. Çünkü, engel etrafındaki taban kayma gerilmesini etkileyen bu olaylar, tabanda oyulmaya neden olurlar.

Engelin menba tarafındaki taban kayma gerilmesi, engel olmadığı zamanki taban kayma gerilmesinin 12 katı kadar bir büyüklükte olduğu yapılan ölçümler neticesinde elde edilmiştir. Aynı zamanda türbüllanslı bölgelerde ise bu değer 2,5 katı mertebesindedir /2/.

SHEN (1966, 1969), taban kayma gerilmesinin engelin menbaında $0^\circ \sim 45^\circ$ arasındaki bölgede olduğunu belirtmekte ve bu gerilmenin akımın yaklaşım hızının ve engel boyutunun bir fonksiyonu olduğunu teorik olarak göstermektedir /3/, /15/.

NICOLLET (1971 a), BONASOUDAS (1973) ise, maksimum taban kayma gerilmesinin engelin menbaında eksenle 45° lik açının bulunduğu yerde olduğunu deneyel olarak gözlemişlerdir. Dolayısıyla, engel etrafındaki oyulma bu nokta civarında başlamaktadır. Oyulma çukuru büyütükçe oyulmanın maksimum değeri engelin doğurganı üzerinde sabitleşmektedir. Şekil (2.10) da oyulma olayının başlaması ve gelişmesi görülmektedir /34/, /35/.



Şekil (2.10) : Oyulma Olayının Başlaması ve Gelişmesi.

Engel etrafında bu şekilde oluşan oyulma çukurunun şekli, yaklaşık olarak, en küçük boyutu engelin çapı kadar olan ters yatrılmış bir kesik konidir. Koninin yan şevinin eğimi, taban malzemesinin su altındaki şev açısına eşittir. Bu tip oyulma çukurlarının hacimlerini hesap etmek için,

$$V = \frac{\pi H_{\max}^2}{6} \operatorname{Cotg} \phi (3D - 2H_{\max} \operatorname{Cotg} \phi) \quad (2.7)$$

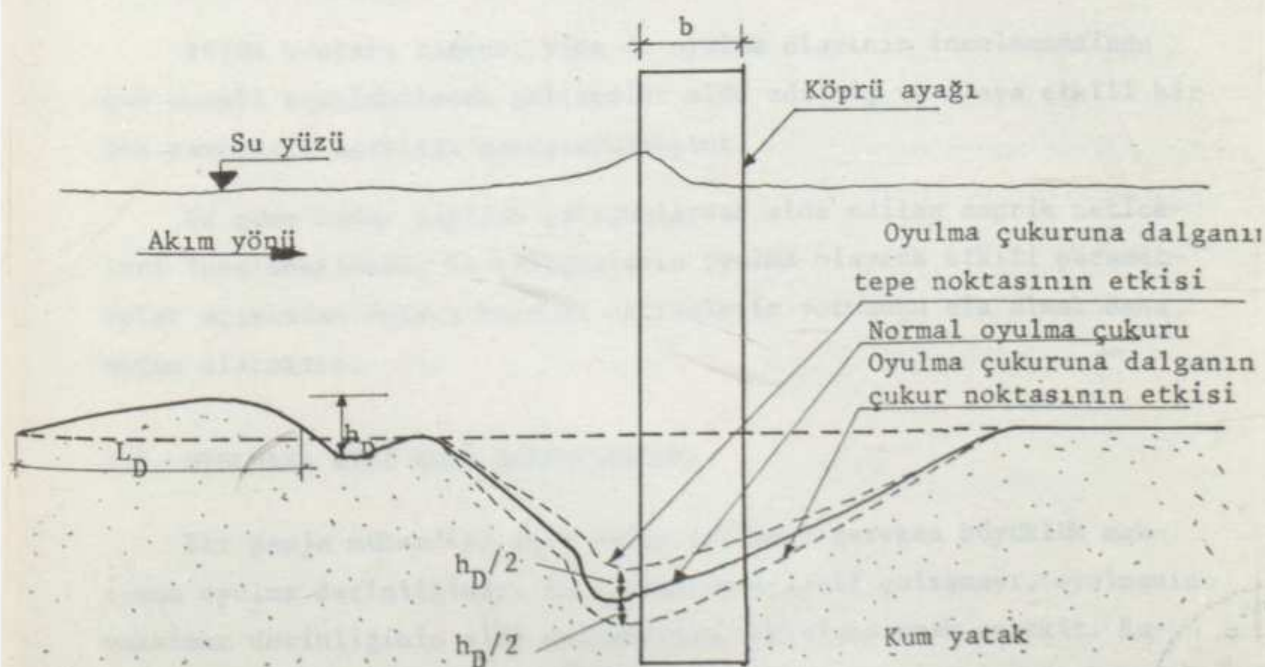
formülü teklif edilmiştir /36/.

Diğer bir grup araştırmacıya göre ise, oyulma çukurunun şekli, menba tarafta yarım koni, mansab tarafta ise yaklaşık olarak bir elipsoittir /33/, /37/.

Oyulma çukurunun oluşumuna ve büyüklüğüne etkili olan diğer önemli bir parametrede kanal tabanında oluşan dalgacıkların, oyulma çukuruna etkileridir. Bu etkileri kısaca ;

a) Şayet, dalgacığın tepe noktası tam oyulma çukurundan geçiyorsa, oyulma çukuru $h_d/2$ kadar azalır.

b) Dalgacığın çukur noktası, oyulma çukurundan geçiyorsa, oyulma çukuru $h_d/2$ kadar artar Şekil (2.11), /15/, /38/.



Şekil (2.11) : Dalgaların Oyulmaya Etkisi.

BÖLÜM III

ÇEŞİTLİ KAYNAKLARA GÖRE KÖPRÜ AYAKLARI ETRAFINDAKI
OYULMAYA ETKİ EDEN PARAMETRELERİN İNCELENMESİ

3.1 GİRİŞ

Hareketli tabanlı bir akıma yerleştirilen ayaklar etrafındaki yerel oyulmaların incelenmesi, kısa bir geçmişe dayanmaktadır. Deneysel olarak ilk defa TISON (1940) tarafından ele alınan bu konu, daha sonraları oldukça hızlı bir gelişim göstererek güncel bir konu olmuştur. Buna rağmen, bu güne kadar matematiksel bir çözümü elde edilememiştir. Bunun nedeni, oyulma olayına etkili olan parametrelerin çok olmasıdır. Bundan dolayı, bu güne kadar yapılmış çalışmaların hemen hemen tümü deneysel çalışmalardan elde edilen neticelere dayanmaktadır. Buna rağmen, elde edilen ampirik bağıntılar arasında bile tam bir uygunluk henüz sağlanamamıştır. Çünkü, olayı ele alan her bir araştırmacı, parametrelerin çokluğundan dolayı, kendilerince önemsiz olan parametreleri ihmal etmişlerdir. Hatta, aynı parametreleri göz önüne alan araştırmacıların neticeleri arasında bile tam bir uyumun olmadığı bilinmektedir.

Bütün bunlara rağmen, yine de oyulma olayının incelenmesinde çok önemli sayılabilecek gelişmeler elde edilmiş ve olaya etkili bir çok parametre açıklığa kavuşturulmuştur.

Bu güne kadar yapılan çalışmalarдан elde edilen ampirik neticeleri incelemekense, bu çalışmaların oyulma olayına etkili parametreler açısından ortaya koyduğu neticelerin yorumunu ele almak daha uygun olacaktır.

3.2. OYULMAYA ETKİ EDEN PARAMETRELER

Bir proje mühendisi için tayin edilmesi gereken büyüklik maksimum oyulma derinliğidir. Bu açıdan kantitatif çalışmayı, oyulmanın maksimum derinliğinin elde edilmesiyle sınırlamak gerekir. Kararlı ve uniform olarak kabul edilen bir akarsudaki, bir köprü ayagının etrafındaki oyulma olayı üzerine etki eden bir çok parametreler

vardır. Bunlar ;

- 1) Akışkanı karakterize eden değişkenler,
 - a) g , Yer çekimi ivmesi
 - b) ρ , Akışkanın özgül kütlesi
 - c) v , Akışkanın dinamik vizkozitesi
- 2) Akımı karakterize eden değişkenler.
 - a) h , Akımın su derinliği
 - b) U , Yaklaşım akımın hızı
 - c) τ , Tabandaki akımın teğetsel gerilmesi
- 3) Taban malzemesini karakterize eden değişkenler
 - a) ρ_s , Taban malzemesinin özgül kütlesi.
 - b) Taban malzemesinin granülometrisi
 - c) Danelerin büyüklüğü ve şekli
 - d) Malzemenin kohezyonu
- 4) Köprü ayağını karakterize eden değişkenler.
 - a) Ayağın şekli
 - b) D , Ayağın boyutları
 - c) Ayak yüzünün durumu

Görüldüğü gibi olaya etkili parametrelerin sayısı oldukça fazladır. Bu değişkenlerden bazılarını ilk planda elmine etmek mümkünür. Şöyledeki ; Taban malzemesinin granülometrisi, danelerin şekli ve taban malzemesinin kohezyonunun tayin edilmeleri oldukça zordur /34/. Bu bakımından, aşağıdaki kabuller yapılarak parametre sayısı daha da azaltılabilir /14/.

- 1) Taban malzemesi, kohezyonsuz olup uniform D çaplıdır.
- 2) Akım ~~ile~~ ilgili olarak ;
 - a) Köprü ayağının büzülmeye sebep olmaması için yeter genişliktedir.
 - b) Taban şekillerinin oluşmaması nedeniyle taban düz kabul edilir. Bu durumda k taban pürüzlülüğü d dane çapına bağlıdır.
 - c) Köprü ayağı silindirik olup yüzeyi pürüzsüzdür.

Bu kabullerin sonucunda oyulma derinligine etkili olan parametre sayısı 7'e inidirgenebilir. Bunlar ;

1) Akışkan için :

$$g, \rho, v$$

2) Akım için :

$$h, U$$

3) Taban malzemesi için :

$$d, \rho_s$$

4) Ayak için :

$$D$$

olmaktadır. O halde ;

$$\frac{H_d}{D_{\max}} = f_1(g, \rho, v, h, U, d, \rho_s, D)$$

veya bazı parametreleri eşdeğerleriyle değiştirirsek ;

$$\frac{H_d}{D} = f_2(g, \rho, v, d, \Delta, h, U, D) \quad (3.1)$$

dir. Burada ;

$$\Delta = (\rho_s - \rho)/\rho \text{ rölatif batmış yoğunluk,}$$

$$U = (ghJ)^{1/2} \text{ taban sürüklendirme hızı}$$

dir.

Boyutsal analiz metodlarından birisi uygulandığında, Rölatif oyulma derinliği ;

$$\frac{H_d}{D} = f_3 \left(\frac{U \cdot D}{v}, \frac{U^2}{gh}, \Delta, \frac{h}{D}, \frac{d}{D} \right) \quad (3.2)$$

veya,

$$\frac{H_d}{D} = f_4 \left(\frac{U \cdot D}{v}, \frac{U^2}{\Delta gh}, \Delta, \frac{h}{D}, \frac{d}{D} \right) \quad (3.3)$$

1 2 3 4 5 6

şeklinde boyutsuz değişkenlerin fonksiyonu olarak elde edilir.

Maksimum oyulma derinliğinin bulunması amaçlandığından, taban malzemesinin hareket başlangıcında etkili olan 2-3 terimleri ile

$\Delta = S_b$ terimleri elimine edilerek ;

$$\frac{H_d}{D_{\max}} = f_5 \left(\frac{U}{U_{kr}}, \frac{h}{D}, \frac{d}{D} \right) \quad (3.4)$$

bağıntısını elde ederiz.

Yukarıda başlangıçta ihmal ettiğimiz, ayagın şekli, malzemenin granülometrisi ve akımın atak açısı ile birlikte, (3.4) bağıntısından elde edilen akımın hızı, derinliği ve malzemenin çapı, maksimum denge oyulma derinliğinin oluşmasına etkili temel parametreler olarak elde edilir. Deneysel çalışmalar da bu görüşü doğrulamaktadır.

3.2.1. MAKİMUM OYULMA DERİNLİĞİNE ETKİ EDEN PARAMETRELER

3.2.1.1. AKIM HİZİNİN ETKİSİ

Yaklaşım hızının oyulma olayına etkisi tüm araştırmacılar tarafından kabul edilmektedir. Oyulma belli bir hız değerinde başlamakta ve büyümektedir. Oyulmaya sebep olan hız değeri şu şekilde sınıflandırılmıştır /5/, /34/.

- a) $U/U_{kr} \leq 0.5$ Oyulma yok.
- b) $0.5 \leq U/U_{kr} \leq 1.0$ Temiz su oyulması.

Bu bölgede oyulma U ile hemen hemen lineer olarak artmaktadır.

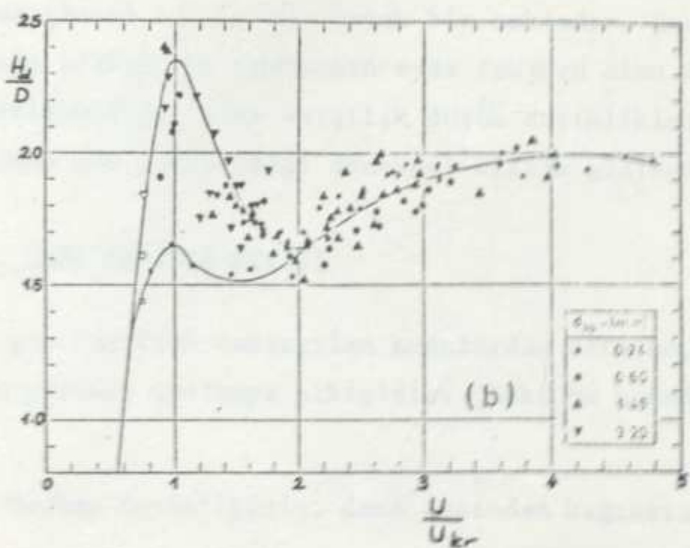
- c) $U/U_{kr} \geq 1.0$ Daimi sürüntü maddesi taşıınımı oyulması.

Bu bölgede oyulma hız ile artmaz. Çünkü oyulma çukurundan çıkan malzeme ile menbadan taşınan malzeme arasındaki dinamik denge sediment debisinin şiddetinden etkilenmez.

Bu bölgede ki akım şartlarında yapılan son araştırmalarda ; $U/U_{kr} = 1.5 \sim 2$ olduğu zaman oyulma derinliğinin bir miktar azlığı, fakat U/U_{kr} 'in değeri arttıkça oyulma derinliğinin arttığı tespit edilmiştir /37/, /47/.

Şekil (3.1) de görüldüğü gibi $U/U_{kr} \geq 5$ civarına kadar oyulma bir artma olmakta veya araştırmacıların dediği gibi, oyulma olayında, ikinci bir pik oluşmaktadır, fakat bu değerden sonra nölatif oyulma tekrar azalma eğilimi göstermektedir. Ancak, bütün şartlarda $H_{dmax}/D = 2$ olasık gerçekleşmektedir.





Şekil (3.1.): Maksimum Oyulma Derinliğinin, U/U_{kr} ile Değişimi, 2.Pik Noktasının Oluşması.

3.2.1.2. AKIM DERİNLİĞİNİN ETKİSİ

Su derinliğinin oyulma olayına etkisi, tartışılan konulardan biridir. Buna rağmen akım derinliğinin belli bir değerinden sonra, oyulma olayına etkisinin olmadığı görüşü ağırlıklı kazanmaktadır. Ancak, bu değerler için ileri sürülen kriterler de birbirinden farklıdır. Bu konudaki kriterler şunlardır.

$$a) h/D \geq 1 /5/ \quad (3.5)$$

$$b) h/D \geq 2 /16//35/ \quad (3.6)$$

$$c) h/D \geq 3 /46/ \quad (3.7)$$

$$d) h/dm \geq 30 \sim 40 /38/ \quad (3.8)$$

$$e) h/D \geq 1 \sim 6 /39/ \quad (3.9)$$

RAUDKIVI, küçük daneler için $h/D = 1$, dane büyüdükle $h/D = 6$ ya yaklaşlığını belirtmektedir,

Göründüğü gibi, su derinliğinin oyulma derinliğine etkisi konusunda, henüz kesin bir ortak görüş oluşmamasına rağmen, akım

derinliğinin belli bir değerinden sonra oyulmaya etkili olmadığı araştırmacıların birleştiği ortak bir noktadır. Gerçekten de, su derinliğinin artmasının oyulmanın esas faktörü olan at nali vorteksi fazla etkilemediği, buna karşılık düşük derinliklerde at nali vorteksin daha çok etkilendiği deneysel olarak gözlenmiştir /39/.

3.2.1.3. DANE ÇAPININ ETKİSİ

Bu gün üzerinde tartışılan konulardan biri de, taban malzemesinin dane çapının oyulmaya etkisidir. Çünkü bu konuda iki ayrı görüş vardır.

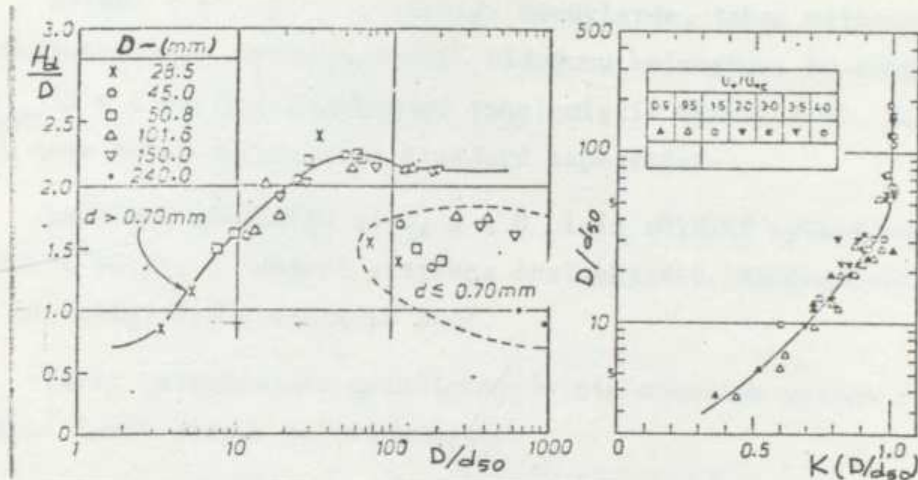
- a) Oyulma derinliğinin, dane çapından bağımsızdır /38/ /48/.
- b) Oyulma derinliği, dane çapının belli sınırları arasında, dane çapıyla arttığı bu sınırların dışında ise bağımsızdır /40//41//35/.

Bu ikinci gruptaki araştırmacıların sonuçları, yaklaşık olarak birbirine benzemektedir. Örnek olarak ETTEMA'nın sonuçları Tablo 3.1 de verilmiştir /41/.

TABLO. 3.1.

d_{50}	0.55	0.70	0.85	1.90	4.10	6.0
$\frac{H_{d_{max}}}{D}$	1.45	1.75	2.00	2.05	2.20	2.10

NICOLLET (1970-71) de dane çapının, oyulmaya etkisini incelemiştir ve dane çapı arttıkça rölatif oyulma derinliğinin belli bir değere doğru asimtotik yaklaşlığını görmüş ve oyulmanın, dane çapının belli bir değerinden sonra, dane çapından bağımsız olduğunu belirtmiştir /34/. Gerek, ETTEMA ve gerekse daha sonra yapılan CHEE ve CHIEW (1984), çalışmalarda da $d > 0.7 \sim 0.9$ daneler için maksimum rölatif oyulma, $D/d_{50} = 50 \sim 100$ değerinde olduğunu ve bu durumda $H_{d_{max}} / D = 2.3$ olduğunu bulmuşlardır. Bu çalışmaların sonucu Şekil 3.2 de görülmektedir /39/.



Şekil (3.2): Rölatif Oyulma Derinliğinin, D/d_{50} İle Değişimi, $D/d_{50} \geq 100$ İçin, $K = 1$ olmaktadır.

Sonuç olarak, temiz su oyulması halinde, oyulma, dane çapının özelliklerinden etkilenir. Fakat, hareketli yatak halinde, dane çapının, oyulma derinliğine etkisinin olup olmadığı kesin olarak bilinmemektedir.

3.2.1.4. TABAN MALZEMESİİNİN GRANÜLOMETRİSİNİN ETKİSİ

NICOLLET (1971 a,b) üç ayrı çaplı taban malzemesi için ayrı ayrı oyulmanın değişimini incelemiştir, daha sonrada bu üç malzemeyi eşit miktarda (%33 oranında) birbirile kariştıracak, aynı şartlarda ölçümler yapmıştır. Elde edilen sonuçlar Şekil 3.3. de görülmektedir /35/. Çalışmanın sonucu ;

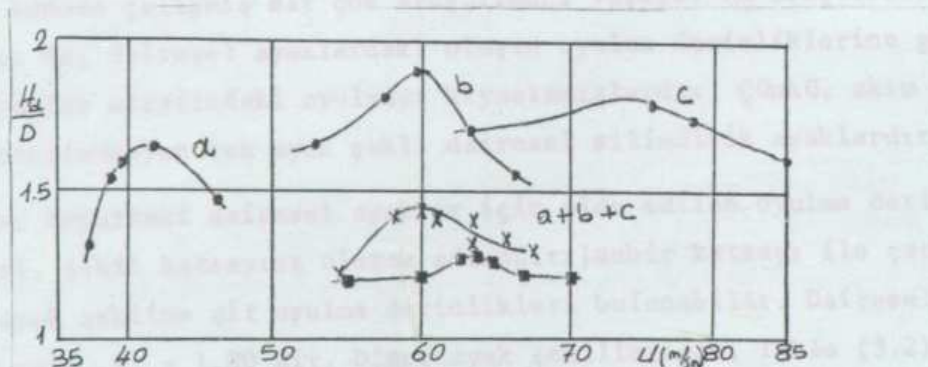
- Karışım için maksimum oyulmayı veren hız, ayrı ayrı alınmış üç dane çapı için elde edilen hız'a yaklaşıkl olarak eşittir.
- Karışım için elde edilen $H_{d_{max}}$, ayrı ayrı alınmış malzemeler

için elde edilen derinlikten yaklaşık olarak %25 daha azdır.

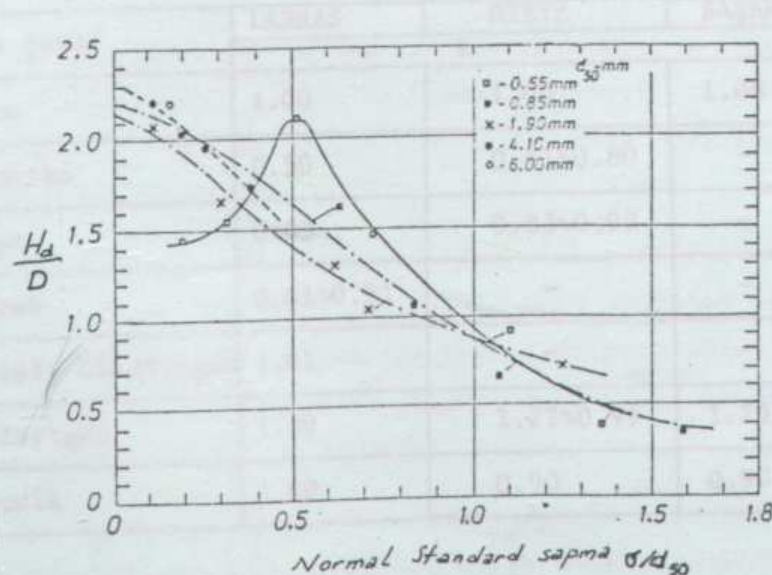
ETTEMA (1977 a,b) da yaptığı deneylerde, taban malzemesinin granülometrinin oyulmaya etkili olduğunu bulmuştur. Bu araştırmacı $H_d/\text{D} = f(\sigma/d_{50})$ değişimini incelemiştir (Şekil 3.4). Burada ; σ ; dane boyut dağılımının standard sapmasıdır.

Şekilden görüldüğü gibi, $\sigma = 0$ için rölatif oyulma maksimum olmakta (2.3), σ değeri arttıkça azalmaktadır. Minimum rölatif oyulma derinliği 0.3 olmaktadır /42/.

Taban malzemesinin granülometrisinin maksimum oyulma derinliğine etkisi kesin olarak belirlenmiştir.



Şekil (3.3): Taban Granülometrisinin Oyulmaya Etkisi



Şekil (3.4): Rölatif Oyulma Derinliğinin, Taban Malzemesinin Granülometrisine Bağlı Olarak Değişimi.

3.2.1.5. AYAK ŞEKLİNİN ETKİSİ

Küt burunlu ayaklar etrafında oluşan oyulma derinlikleri, sivri burunlu ayaklara göre çok daha fazla olduğu bilinmektedir. TİSON (1940), bunun sebebi şöyle açıklanmaktadır ;

- Akım çizgilerinde, büyük bir eğrilik oluşturan ayak şekilleri, ayak önünde düşey hız bileşenlerini büyüterek oyulmanın da artmasına neden olurlar.

- Ön yüzü keskin olan ayak şekillerinde, bu eğrilik daha küçük olduğundan, oyulmada az olacaktır /17/.

Bu konuda çalışmış bir çok araştırmacı vardır. Bu araştırcıların hepsi de, dairesel ayaklardaki oluşan oyulma derinliklerine göre, diğer ayaklar etrafındaki oyulmayı kıyaslamışlardır. Çünkü, akım yönünden etkilenmeyen tek ayak şekli dairesel silindirik ayaklardır /43/.

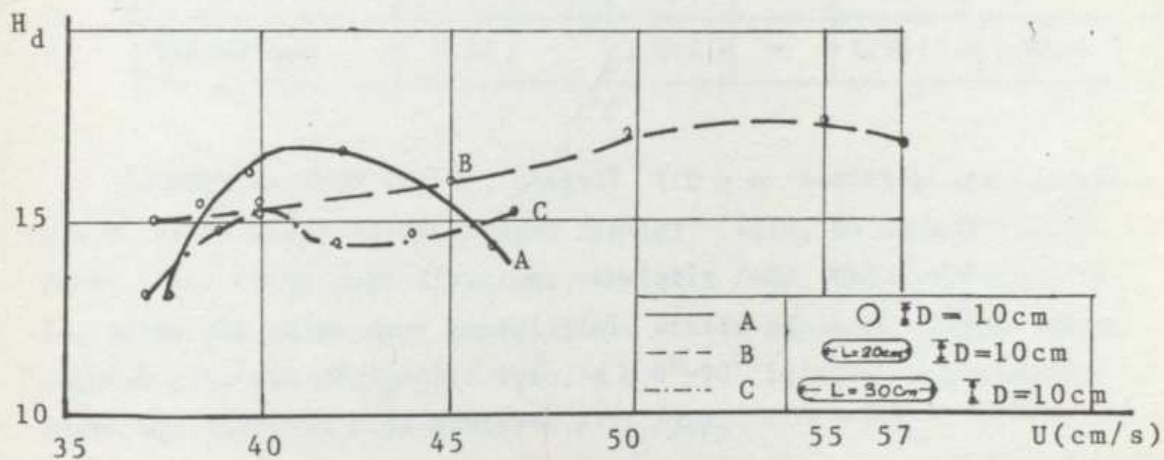
Aynı boyuttaki dairesel ayaklar için elde edilen oyulma derinliklerini, şekil katsayısı olarak adlandırılan bir katsayı ile çarparak, o ayak şekline ait oyulma derinlikleri bulunabilir. Dairesel ayaklar için $K_s = 1.00$ dir. Diğer ayak şekillerinde, Tablo (3.2) den görüldüğü gibi $K_s = 0.41 \sim 1.4$ arasında değişmektedir /38/.

TABLO. 3.2

Ayak Şekli	LARRAS	DİETZ	BAŞAK
	K		
Daire	1.00	1.00	1.00
Yukewski	0.80	0.41~0.80	-
Elips	0.83	0.83~0.99	-
Mercek	0.41~0.91	-	-
Tıraklı Dikdörtgen	1.01	-	-
Dikdörtgen	1.40	1.22~0.99	1.20
Oblonik	1.00	0.90	0.90

Ayrıca ayakların uzunluklarının da oyulmaya etkili olduğu tespit edilmiştir. Ayak uzunluğu arttıkça oyulma derinliği azalmaktadır /17/ /35/ /43/.

Şekil (3.5) de, bu konuda, NICOLLET(1971 a), tarafından yapılan çalışmanın sonucu görülmektedir. $1/D = n$, narinlik oranı, arttıkça oyulmanın azaldığı görülmektedir. Aynı sonuçlar, DIETZ (1972), tarafından da elde edilmiştir /34/ /43/.



Şekil (3.5) : Ayak Uzunluğunun Oyulmaya Etkisi /34/

3.2.1.6. ATAK AÇISININ ETKİSİ

Oyulma, ayak şeşinin ve ayak boyutunun etkili olduğu bilindiğine göre, akımın atak açısının da, oyulma derinliğine etkili olması tabiidir. Çünkü, ayağın akıma dik boyutu ne kadar büyükse, oyulma da o oranda büyük olacaktır.

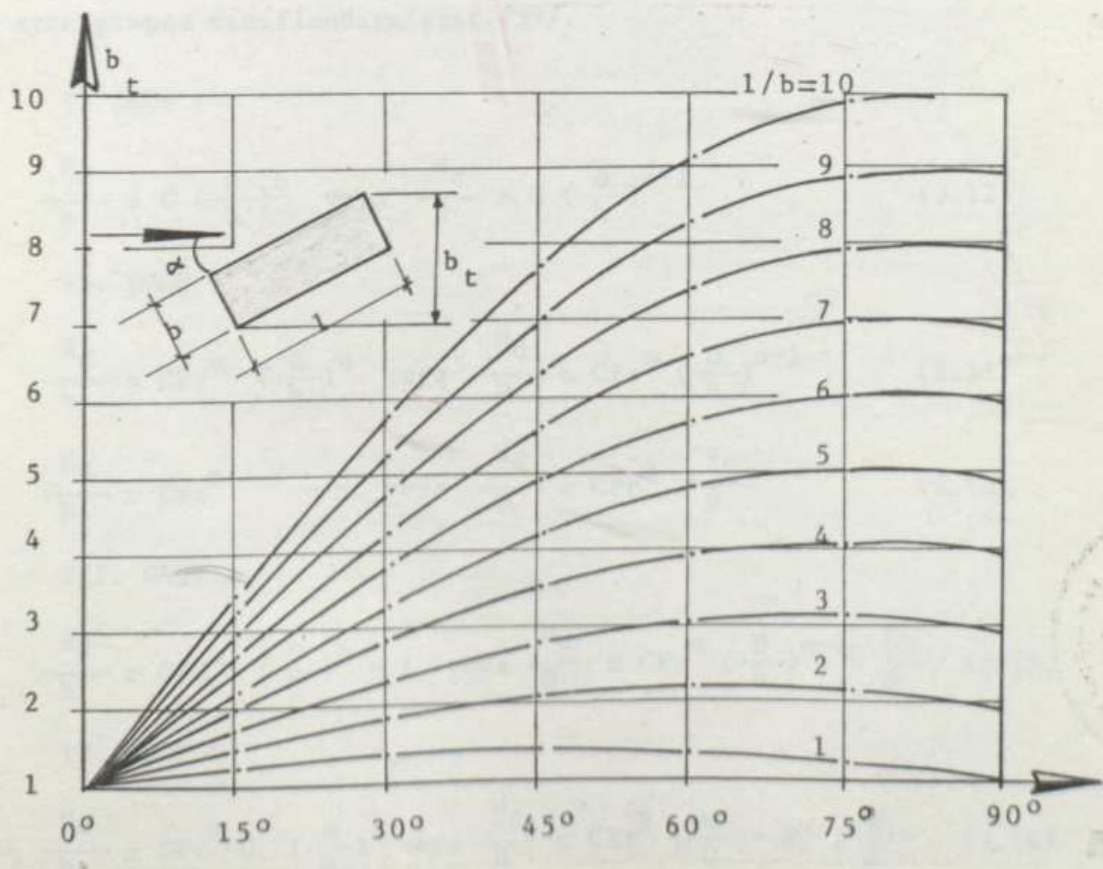
LARRAS (1963), bu konuda yaptığı deneysel çalışmaların sonucunu Tablo (3.3) de vermiştir. Görüldüğü gibi, akım yönünden etkilenmeyen dairesel ayak haricindeki, diğer tüm ayaklarda atak açısı arttıkça, oyulma K_a katsayısı değerleri de artmaktadır. Yani, oyulma derinlikleride artmaktadır /38/.

O halde, aynı boyuttaki, dairesel ayak için elde edilen oyulma derinlikleri, atak açısına bağlı olan bu K_a değerleri ile çarpılarak, diğer ayak şekillerine ait oyulma derinlikleri bulunabilir.

TABLO. 3.3 /38/

Ayak Biçimi	K Katsayıısı					
	0°	10°	15°	20°	30°	45°
Dairesel	1.0	1.0	1.0	1.0	1.0	1.0
Mercek	0.8	0.98	1.05	1.24	1.3	2.0
Jukowski	0.86	-	1.09	-	1.4	1.97
Oblonik	1.0	1.02	1.15	1.24	1.55	-
Dikdörtgen	1.11	-	1.4-2.4	-	1.55.3.4	1.65-4.1

LAURSEN ve TOCH (1956), çeşitli $1/D = n$ narinlik oranlarında $\alpha = 0^\circ \sim 90^\circ$ arasında dikdörtgen ayaklar için, K_a katsayılarını veren Şekil (3.6) daki diyagramı vermiştir /40/. BAŞAK (1975-1977) ta, akıma dik gelen ayak genişliğini, etkili genişlik olarak tanımlayarak yine dik dörtgenler için, $\alpha = 0^\circ-90^\circ$ için K_a değerlerini veren bir diyagram elde etmiştir /37/ /38/.



Şekil (3.6): Akımla Aynı Yönde Olmayan Ayaklar için K_a Katsayıısı/40/.

Üç (1984) bu konuda yapılmış çalışmalarдан da yararlanarak Ka değerini veren bir formül vermiştir. Bu formül ;

$$Ka = \lambda^{\sin \alpha} (1 + \sin \alpha / 3) (0.05)^{-\sin \alpha / 6.6} \quad (3.10)$$

şeklindedir. Burada ;

α : Atak açısı

$$\lambda = \frac{n - 1}{n} - 0.20 \quad \frac{n - 1}{n} \quad (3.11)$$

dir /44/.

Bu formülden elde edilen neticeler, LAURSEN ve TOCH'un yukarıda bahsedilen diyagramı arasında çok iyi bir uygunluk vardır.

3.2.2 OYULMA FORMÜLLERİ

Bu güne kadar, yapılmış olan bu konudaki tüm çalışmalar, RAUDKIVI (1985) tarafından değerlendirilmiştir. Bu değerlendirme sonucunda oyulma derinliklerini veren formüllerin aşağıdaki gibi 5 ayrı grupta sınıflandırılmıştır /39/.

I. GRUP :

$$\frac{H_d}{h} = C \left(\frac{D}{h} \right)^n \quad \text{veya} \quad \frac{H_d}{D} = C \left(\frac{D}{h} \right)^{n-1} \quad (3.12)$$

II. GRUP :

$$\frac{H_d}{h} = CFR^m \left(\frac{D}{h} \right)^n \quad \text{veya} \quad \frac{H_d}{D} = CFR^m \left(\frac{D}{h} \right)^{n-1} \quad (3.13)$$

$$\frac{H_d}{h} = CFR^m \quad \text{veya} \quad \frac{H_d}{D} = CFR^m \frac{y_o}{D} \quad (3.14)$$

III. GRUP :

$$\frac{H_d}{h} = CFR^m \left(\frac{D}{h} \right)^n - 1 \quad \text{veya} \quad \frac{H_d}{D} = CFR^m \left(\frac{D}{h} \right)^{n-1} - \frac{y_o}{D} \quad (3.15)$$

IV. GRUP :

$$\frac{H_d}{h} = CFR^2 - C' \left(\frac{d}{h} \right) \quad \text{veya} \quad \frac{H_d}{D} = CFR^2 \left(\frac{h}{D} \right) - C' \left(\frac{d}{D} \right) \quad (3.16)$$

V. GRUP :

Yukarıdaki grupların dışında kalanlar.

Burada ; C, C', m ve n birer sabiti göstermektedir.

$Fr = U / (gh)^{1/2}$ şeklinde olup Froude sayısıdır.

Verilen formüller, temiz su oyulma ve daimi sürüntü maddesitaşınımı oyulma formülleri diye de sınıflandırılabilir. Ancak, maksimum denge oyulması önemli olduğundan sonuçta bu formüller arasında çok büyük fark yoktur.

Formüller, aynı grupta ve aynı şartlarda bile birbirinden çok farklı sonuçlar verebilmektedir. Bunun nedeni olaya çok sayıda parametrenin etkili olmasından kaynaklanmaktadır. Bu bakımından, köprü ayaklarının dizaynı için gerekli olan, maksimum oyulma derinliğinin tesbitinde daha basit ifadeler teklif edilmiştir /39/.

H_d / D	Ayak Şekli
1.5	Oblonik
1.5	Dairesel
2.0	Dikdörtgen
1.2	Keskin Ayak

Ancak, bu formüllerden hiç birisi de oyulma olayının esas nedeni olan vorteks sistemlere ait parametreler dikkate alınmamışlardır. Bu konuda yapılan tek çalışma QADAR (1981) tarafından gerçekleştirilmiştir. Hem laboratuvar ve hem de prototip şartlarında kullanılabilen bu çalışma, bu konudaki en önemli çalışmalarlardan biridir. Bu bakımından bu çalışmadan kısaca bahsetmek yerinde olacaktır /45/.

QADAR sabit tabanlı bir deney kanalında, at nali vorteksin büyüğünü ve hızını ölçmüştür ve sonuçta ; r_o at nali vorteksin çapı ve U_o at nali vorteksin hızı için aşağıdaki bağıntıları elde etmiştir;

$$r_o \approx 0.1 D \quad (3.17)$$

$$U_o = 0.092 U^{0.83} D^{-0.5} \quad (3.18)$$

Bu sonuçları kullanarak, vorteks şiddetini (C_o) elde etmiştir.

$$C_o = U_o \cdot r_o \quad (3.19)$$

$$C_o = 0.0092 U^{0.83} \cdot D^{0.5} \quad (3.20)$$

Daha sonra, gerek kendi deneysel çalısmalarının sonuçları ve gereksé diğer araştırcılar tarafından yapılan çalışma sonuçlarını kullanarak, C_o vorteks şiddetinin maksimum oyulma derinliğinin bir fonksiyonu olduğunu bulmuştur. Sonuç olarak, bu bağıntıyı

$$H_{d\max} = 538 (C_o)^{1.28} \quad (3.21)$$

şeklinde formüle etmiştir.

İşte bu çalışmada da yine vorteksi karakterize eden n , vorteks yayılma frenkansının oyulma derinliğine etkili bir parametre olup olmadığı deneysel olarak araştırılacaktır.



olarak seçilmişdir.

BÖLÜM IV

4. DENEYSEL ÇALIŞMA

4.1. DENEYSEL ÇALIŞMANIN AMACI

Hareketli tabanlı akarsu yatağına yerleştirilen köprü ayaklarının, gerek akım alanında ve gerekse katı madde taşınımında meydana getirdiği değişimeler, daha önceki bölümlerde detaylı bir şekilde incelenmiştir.

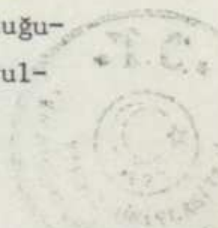
Oyulmaya etkili olan çok sayıda parametre, arasında, oyulmanın esas nedeni olan vorteksi karakterize eden hiç bir büyülüklük bulunmaktadır. Halbuki, oyulma olayının gerçek nedeninin bu vorteks sistemler olduğu, tüm araştırmacılar tarafından bilinmektedir. Vortekslerin şiddeti, büyülüüğü veya ayak etrafındaki yayılım davranışlarının da oyulma olayında bir parametre olarak bulunması gereklidir.

Vortekslerin oluşumu ve fonksiyonları, deneysel çalışmalar sonucunda bilinmesine rağmen, oyulma derinliği üzerine etkisi konusu henüz çalışmamış bir konudur.

Bu konuda, yapılan tek çalışma QADAR (1981) a aittir. Daha önce belirtildiği gibi, bu çalışmada vorteksin şiddeti (C_o), vortek hızı (U_o) ve vorteks büyülüüğü (r_o) fonksiyonu olarak göz önüne alınarak, maksimum oyulma derinliğine etkili bir parametre olduğu bulunmuştur.

İşte, bu çalışmada, vorteks sistemlerin yayılmasını karakterize eden n , vorteks yayılma frekansı oyulma üzerine etkili bir parametre olarak seçilmiştir.

Çünkü, olayın esas sebebi yalnızca at nali vorteks sistem değildir. Sürüklenme ve art iz vorteks sistemlerin de etkisi vardır. Yani olaya ayak etrafında oluşan tüm vorteks sistemler ve onların davranış ve yayılışı esasta etkilidir. SHEN (1966), oyulmaya etkili olan vorteksin şiddeti değil, onun ayak etrafındaki dağılımı etkili olduğunu belirtmiştir /3/. Bu açıdan, n , vorteks yayılma frekansının, oyulma derinliği üzerine etkisinin olabileceği düşünülerek parametre



olarak seçilmiştir.

Bu amaçla, Yıldız Üniversitesi Hidrolik Laboratuvarında, değişik taban malzemesi ve çeşitli dairesel silindirik ayaklar için bir seri deney yapılmıştır.

4.2. DENEY KANALININ TERTİBİ

4.2.1. DENEY KANALI

Deneyler, Yıldız Üniversitesi Hidrolik Laboratuvarında bulunan deney kanalında gerçekleştirılmıştır. Kanal 0.9 m. genişliğinde, 27 m. uzunluğunda ve 0.6 m. yüksekliğindedir. Kanal doğrusal ve kıvrımlı olmak üzere iki ana bölümden oluşmaktadır. Deneyler 14 m. uzunluğundaki doğrusal bölümde yapılmıştır. Kanalın genel görünüsü, Şekil (4.1) de verilmiştir.

Deney Kanalının Bölümleri ve Özellikleri ;

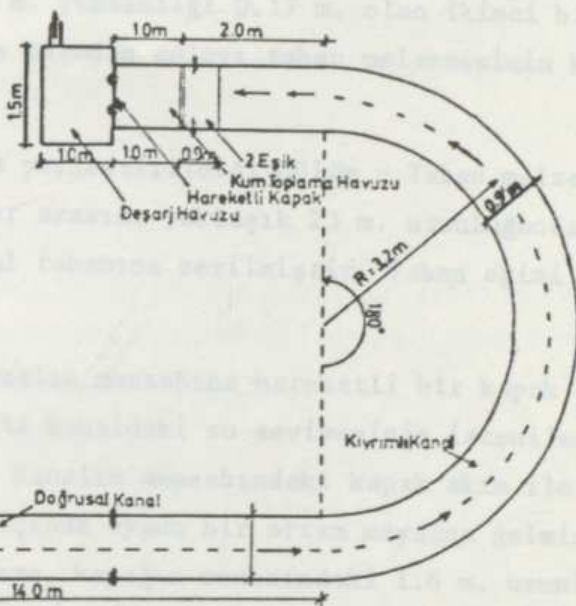
1) Deney kanalını besleyen dinlendirme havuzu ve üçgen savak - kanalı besleyen dinlendirme havuzu 2.50×1.00 m. boyutunda olup 0.70 m. yüksekliğindedir. Havuzun ortasına suyun sakinleştirilmesi amacıyla delikli tuğadan bir ızgara yerleştirilmiştir. Havuzun sonuna ise, üst genişliği 0.9 m. olan bir dik üçgen savak tesis edilmiştir. Savağın tepe noktasının, havuz tabanından yüksekliği 0.24 m. olup, savak kanala verilen debinin ölçülmesinde kullanılmaktadır. Ölçümlerde kullanılmak üzere bir limnimetre de savağın üzerine konmuştur.

2) Savaktan sonraki dinlendirme havuzu - savaktan kanala akan su 2.00×0.90 m. boyutundaki ikinci bir dinlendirme havuzunda dinlendirilmektedir. Bu havuzun da ortasına ve mansabına yerleştirilmiş birer perde ile, su sakinleştirilmiştir.

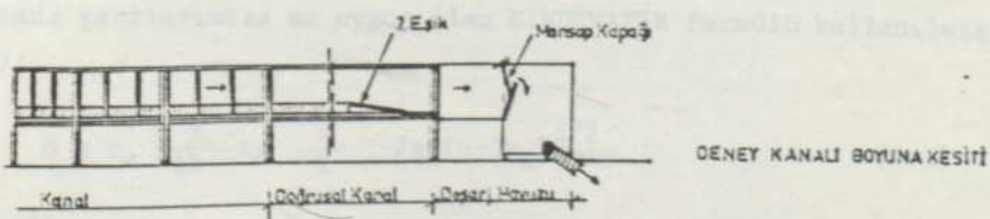
3) Deney kanalı - Deney kanalı üç bölümden meydana gelmektedir;

a) 14 m. uzunluğunda doğrusal bir kanal, bu kanalın başına 0.80m. uzunluğunda 0.20 m. yüksekliğinde bir eşik yerleştirilmiştir. Böylece, kanala giren suyun taban malzemesini bozmadan akması temin edilmiştir.

DENNEY KANALI PLAN



The diagram illustrates a horizontal sand filter system. On the left, a vertical pipe labeled 'Dirtendirmeye Havuzu' (Raw Water Pumping Pond) has an arrow pointing to a rectangular tank labeled 'Değirmen Kacal' (Değirmen Canal). From the right side of this canal, an arrow points to a long horizontal filter bed. The filter bed consists of a top layer of 'Kum Taban' (Sand Bed) and a bottom layer of 'Tıpkı' (Filter Media). An arrow points from the filter bed to a vertical pipe labeled 'Kum Temizleme' (Sand Cleaning Pipe) on the far right.



DENEY KANALI BOYUNA KESİTİ

Şekil 4.1 : Deney Kanalı Vaziyet Planı ve Boy Kesiti.

b) $R = 3.20$ m. yarıçaplı ve 12 m. uzunluğunda 180° lik kıvrımlı bölüm.

c) 2 m. uzunluğunda ikinci bir doğrusal kanal bu kanalın 1.5 m. mansabında, uzunluğu 0.90 m. yüksekliği 0.17 m. olan ikinci bir eşik yerleştirilmiştir, böylece akımdan dolayı taban malzemesinin kayması önlenmiş olmaktadır.

4) Taban malzemesinin yerleştirildiği bölüm - Taban malzemesi yukarıda belirtilen eşikler arasına yaklaşık 23 m. uzunluğunda ve 0.15 m. yüksekliğinde kanal tabanına serilmiştir. Taban eğimi $J=0.001$ dir.

5) Mansap kapağı - Kanalın mansabına hareketli bir kapak yapılmıştır. Bu kapak vasıtasyyla kanaldaki su seviyesinin istenilen değerde olması sağlanmıştır. Kanalın mansabındaki kapak akım ile taşınan malzemenin toplanması içinde uygun bir ortam meydana gelmiştir. Mansaba doğru taşınan malzeme, kapağın menbaındaki 1.6 m. uzunluğunda tabanı, hareketli tabandan 0.17 m. aşağıda olan, bir kum toplama havuzunda birikmektedir. Böylece, mansap kapağı ile, hem mansapta su yüzü profiline meydana gelebilecek alçalma önlemerek tabii akım sağlanmakta, hem de kum toplama havuzunda ters çevriler meydana getirererk katı maddenin bu bölgede toplanması sağlanmaktadır.

4.2.2. SAVAK ANAHTAR EĞRİSİNİN ELDE EDİLMESİ

Kanal giren suyun debisinin bulunmasını sağlayan dik üçgen savagın anahtar eğrisini elde etmek için çeşitli formüller verilmiştir, burada şartlarımıza en uygun olan KINDSVATER formülü kullanılmıştır /47/.

$$Q = c_e \frac{8}{15} \operatorname{tg} \frac{\alpha}{2} 2g (h-2k_h)^{5/2} \quad (4.1)$$

burada ;

Q Savaklanan debi (m^3/s), h Savak yükü

ω Üçgen tepesinin, kanal tabanına olan uzaklığı l Savağa su getiren kanalın genişliği



$$\alpha \text{ Üçgen savağın tepe açısı, } k_h = f(\alpha) \text{ katsayısı}$$

$$c_e = f(\alpha) \text{ katsayısı}$$

Kindsvater formülü

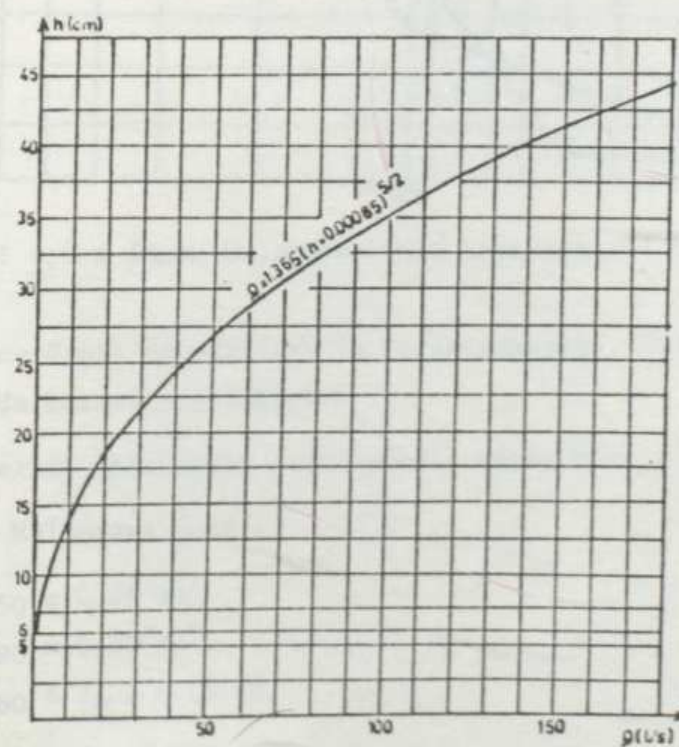
$$h \geq 0.06 \text{ m.}, \quad 20^\circ \leq \alpha \leq 100^\circ$$

$$\omega > 0.10 \text{ m.}, \quad 0.57 \leq c_e \leq 0.60$$

için geçerlidir.

Deney sistemimizde, $l = 0.99 \text{ m.}$ ve $\omega = 0.221 \text{ m.}$ dir. Bu değerler göz önüne alınarak (4.1) formülünden hesaplanan savağın formülü ve anahtar eğrisi Şekil 4.2 de verilmiştir.

$$Q = 1.365 (h + 0.00085)^{5/2} \text{ (m}^3/\text{s)} \quad (4.2)$$

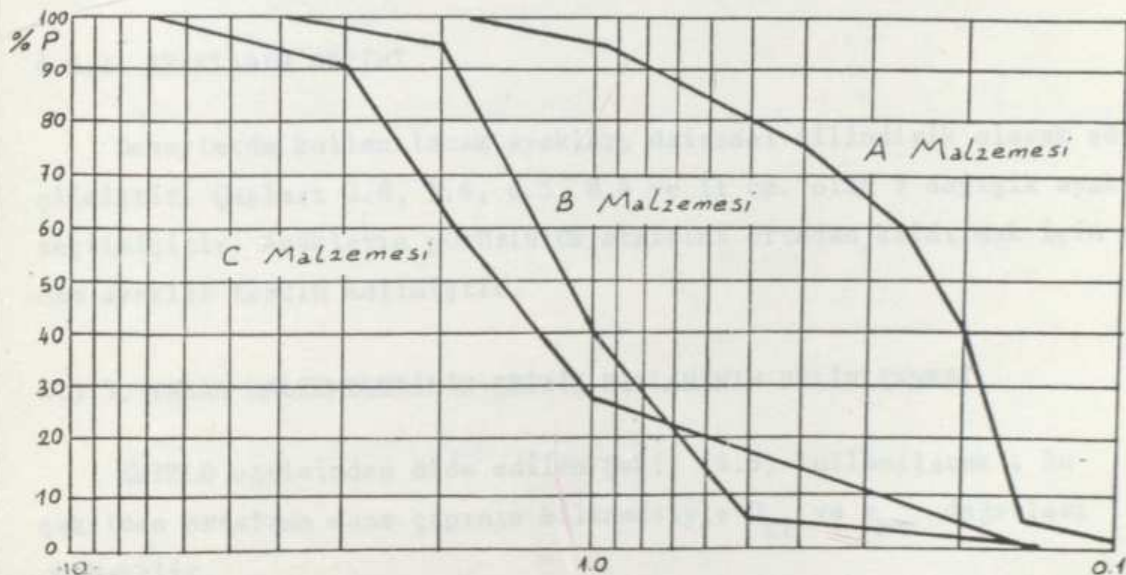


Şekil 4.2 : Üçgen Savak Anahtar Eğrisi.

4.3. DENEY ÖNCESİ YAPILAN ÇALIŞMALAR

4.3.1. TABAN MALZEMESİ

Taban malzemesi olarak granülometrisi birbirinden farklı üç ayrı kuvars kumu kullanılmıştır. Bu üç değişik kumun granülometrisi elek analizi ile tayin edilmiştir Şekil (4.3).



Şekil 4.3 : Taban Malzemelerinin Granülometri Eğrisi.

Ayrıca özgül ağırlıkları da belirlenmiştir. Elde edilen sonuçlar aşağıda kısaca verilmiştir;

a) Her üç malzemenin granülometri eğrisinden ;

A Malzemesi için ;

$$d_{50} = 0.25 \text{ mm.}$$

$$d_{90} = 0.80 \text{ mm.}$$

$$d_{60} = d_m = 0.28 \text{ mm.}$$

B Malzemesi için ;

$$d_{50} = 1.13 \text{ mm.}$$

$$d_{90} = 1.86 \text{ mm.}$$

$$d_{60} = d_m = 1.28 \text{ mm.}$$



C Malzemesi için ;

$$d_{50} = 1.57 \text{ mm.}$$

$$d_{90} = 2.83 \text{ mm.}$$

$$d_{60} = d_m = 1.83 \text{ mm.}$$

bulunmuştur.

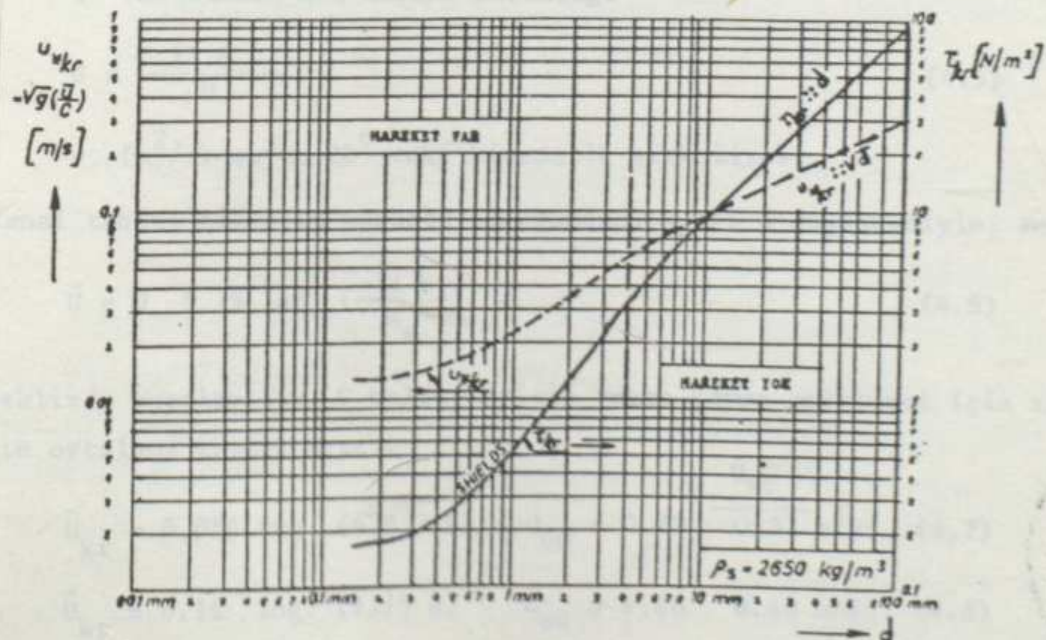
b) Kullanılan kuvars kumlarının özgül ağırlığı $\gamma_s = 2.65 \text{ t/m}^3$ olarak bulunmuştur.

4.3.2. AYAKLARIN SEÇİMİ

Deneylerde kullanılacak ayaklar, dairesel silindirik olarak seçilmiştir. Çapları 3.8, 5.6, 6.5, 8.4 ve 11 cm. olan 5 farklı ayak seçilmiştir. Ayakların pürüzlülük etkisini ortadan kaldırmak için cam ayaklar tercih edilmiştir.

4.3.3. TABAN MALZEMELERİNİN KRİTİK HİZLARININ BELİRLENMESİ

SHIELD eğrisinden elde edilen Şekil (4.5) kullanılarak ; Bu şeilden ortalama dane çapının bilinmesiyle U_{kr} ve τ_{kr} değerleri okunabilir.



Şekil 4.5 : Dane Çapının Fonksiyonu Olarak Kritik Kayma Gerilmesi ve Kritik Hızı (Kum $\rho_s = 2650 \text{ kg/m}^3$)

$$d_m = d_{60} = 0.28 \text{ mm.} \quad d_m = d_{60} = 1.28 \text{ mm.} \quad d_m = d_{60} = 1.83 \text{ mm.}$$

$$U_{kr} = 0.015 \text{ m/sn.} \quad U_{kr} = 0.027 \text{ m/sn.} \quad U_{kr} = 0.033 \text{ m/sn.}$$

$$\tau_{kr} = 0.018 \text{ N/m}^2 \quad \tau_{kr} = 0.7 \text{ N/m}^2 \quad \tau_{kr} = 1.0 \text{ N/m}^2$$

Bu değerlerden ortalama akım hızına geçmek uygulama açısından daha kolay olacağinden kararlı üniform akım için verilen aşağıdaki ifade kullanılabilir ;

$$\frac{\bar{U}}{U_*} = 5.75 \log. \left(\frac{12 h}{k_s - 0.3 \delta} \right) \quad (4.3)$$

veya,

$$\bar{U} = U_* 5.75 \log. \left(\frac{12 h}{k_s - 0.3 \delta} \right) \quad (4.4)$$

Burada ;

h (m) su derinliği

k_s (m) pürüzlülük, kum danelerinin boyutundadır.

$$k_s = d_m = d_{60}$$

δ (m) viskoz alt tabaka kalınlığı

$$\delta = \frac{11.6 v}{U} \quad (4.5)$$

v (m^2/s) suyun 20° deki kinematik viskozitesi

Kanal tabanı hidrolik pürüzlü olduğundan, $k_s \gg \delta$ düşüncesiyle, Formül,

$$\bar{U} = U_* 5.75 \log. \left(\frac{12 h}{k_s} \right) \quad (4.6)$$

şeklinde yazılabilir. O halde, kritik taban kayma gerilmesi için akımın ortalama kritik hızı ;

$$\bar{U}_{kr} = 0.086 \log. (42857 h) \quad d_{60} = 0.28 \quad \frac{0.31}{0.31} \text{ m/sn.} \quad (4.7)$$

$$\bar{U}_{kr} = 0.16 \log. (9375 h) \quad d_{60} = 1.28 \quad 0.48 \text{ m/sn.} \quad (4.8)$$

$$\bar{U}_{kr} = 0.189 \log. (6557 h) \quad d_{60} = 1.83 \quad 0.53 \text{ m/sn.} \quad (4.9)$$

dir. Kanaldaki çeşitli su derinlikleri için ;

TABLO. 4.1.

$h(m)$	$\bar{U}_{kr}(m/s)$	$\bar{U}_{kr}(m/s)$	$\bar{U}_{kr}(m/s)$	$q(m^3/s/m)$	$Q(1t/s)$
0.05	0.286	0.430	0.475	0.0215	19
0.06	0.293	0.440	0.490	0.0264	24
0.07	0.299	0.450	0.503	0.0315	28
0.08	0.304	0.460	0.514	0.0368	33
0.09	0.308	0.468	0.524	0.0421	38
0.10	0.312	0.475	0.532	0.0475	43
0.11	0.316	0.480	0.540	0.0528	47.5

elde edilebilir.

4.4. DENEYLERİN YAPILMASI ve SONUÇLARIN DEĞERLENDİRİLMESİ

Çapları 3.8, 5.6, 6.5, 8.4 ve 11 cm. olan 5 değişik silindirik ayak, d_{60} değerleri 0.28, 1.28 ve 1.83 mm. olan 3 değişik taban malzemesi için bir seri deney yapılmıştır. Bu deneyler sırasında, daimi sürüntü maddesi taşınımı halindeki oyulma şartlarını temin etmek amacıyla, her malzeme için daha önce hesaplanmış kritik hızlarda çalışılmıştır.

Her bir ayak için üç ayrı deney yapılmış ve elde edilen maksimum oyulma derinlik değerlerinin ortalaması alınmıştır. Bu şekilde elde edilen deney sonuçları Tablo 4.2 de toplu halde verilmiştir.

Tablodan da görüleceği gibi her deney için R_e sayısı ve n vor-teks yayılma frekansı değerleri ayrı ayrı hesaplanmıştır. n yayılma frekansı değeri, Strouhal sayısından hesap edilmiştir. Daha önce belirtildiği gibi Sh sayısı, R_e sayısının bir fonksiyonu olup, hemen hemen tüm araştırmacıların belirttiği gibi R_e sayısının geniş bir bölgesinde ($R_e < 2,5 \cdot 10^6$), 0.2 gibi sabit bir değer etrafında salınımaktadır. Deney şartlarımız bu bölge içinde kaldıgından, n yayılma frekansı değerleri,

$$n = 0.2 - \frac{U}{D} \quad (4.9)$$

eşitliğinden elde edilmiştir.

TABLO. 4.2

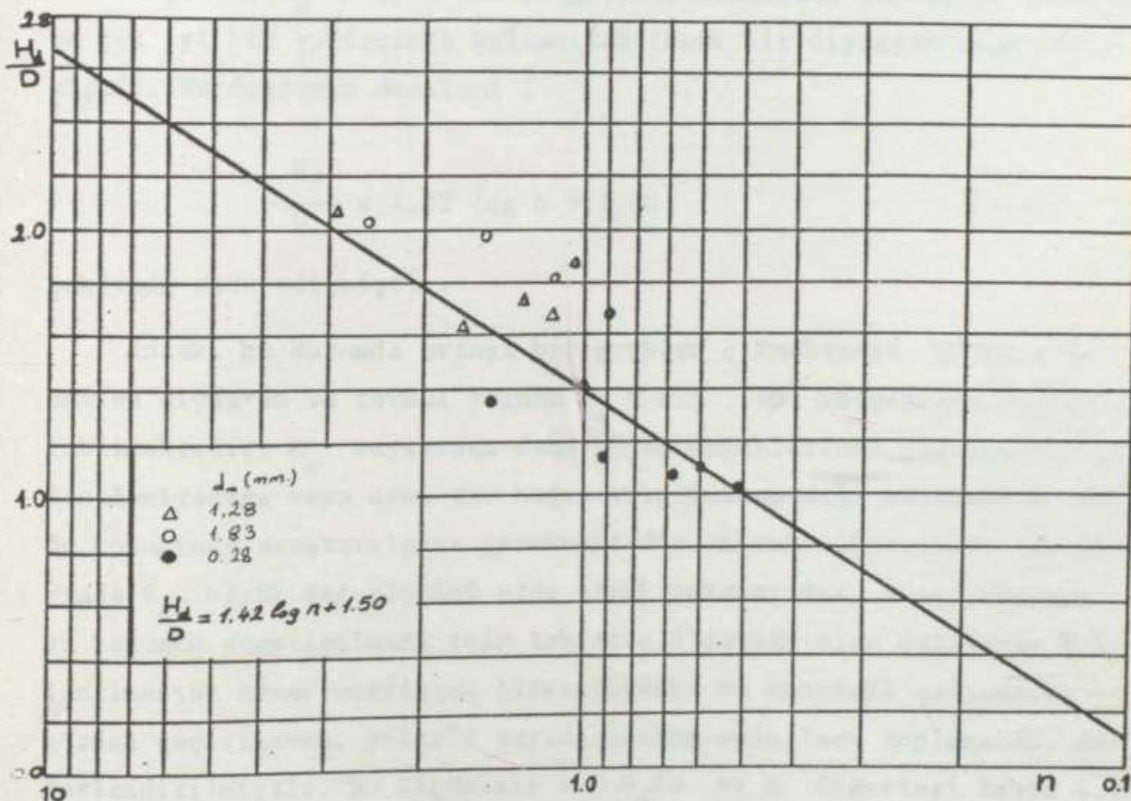
Kum No.	1	2	3
d_{60}	0.28	1.28	1.83
U	0.29	0.49	0.55
D	3.8 6.4 8.5 9.4 11	3.8 6.4 8.5 9.4 11	3.8 6.4 8.5 9.4 11
$R_e (10^4)$	0.967 1.628 2.162 2.391 2.798	1.633 3.592 3.653 4.040 4.72	1.833 3.087 4.100 4.535 5.307
H_d	5.1 7.5 9.2 10.2 11.5	7.8 12.8 15.6 17.7 18.7	8 8 10.8 16.1 16
H_d / D	1.34 1.17 1.08 1.04	2.05 2.00 1.83 1.88	2.10 1.7 2.10 1.68
n	1.52 0.91 0.68 0.61	2.6 1.53 1.15 1.04	0.89 2.89 1.71 1.29
			1.17 1.0 1.17



Maksimum denge oyulma derinliği (H_d) ile vorteks yayılma frekansı (n) arasında bir bağıntının bulunup bulunmadığı araştırılmış ve yarı logaritmik kağıt üzerinde $H_d/D = f(n)$ bağıntısı elde edilmişdir. Şekil 4.6 da görüldüğü gibi, apsiste n ve ordinatta H_d/D olmak üzere işaretlenmiş ve regresyon doğrusunun denklemi ;

$$\frac{H_d}{D} = 1.42 \log n + 1.50 \quad (4.10)$$

olarak elde edilmiştir. Bu denklemde $r = 0.80$ dir.



Şekil (4.6): Maksimum Oyulma Derinliğinin ,n, Vorteks Yayılma Frekansı İle Değişimi.

Böylece, vorteks yayılma frekansının, maksimum oyulma derinliği üzerine etkili bir parametre olduğu sonucu elde edilmiş oldu. Daha kesin bir sonuca varmak için, elimizde mevcut olan bir çok araştırmacının deneysel çalışmalarını da aynı şekilde değerlendirilerek,

Şekil (4.7, 4.8, 4.9) de görülen sonuçlar elde edilmiştir. Görüldüğü gibi, n vorteks yayılma frekansı, H_d/d nin bir fonksiyonu olmaktadır.

Gerek bu çalışmada ve gerekse diğer çalışmalar elde edilen bu fonksiyonel bağıntılar, $R_e < 2,5 \cdot 10^5$ bölgesinde elde edilmişlerdir. Ancak, elde edilen regresyon doğrusunun denklemlerinin katsayıları birbirinden farklı olmaktadır. Bu farklılığı ortadan kaldırmak ve elde edilecek sonucun daha sıhhatli olmasını sağlamak amacıyla bütün sonuçlar bir arada değerlendirilmiştir Şekil (4.10).

Böylece, $R_e < 2,5 \cdot 10^5$ bölgesinde kalınması şartıyla, rahatca ve çok iyi bir yaklaşımla kullanılabilecek bir diyagram elde edilmiştir. Bu doğrunun denklemi ;

$$\frac{H_d}{D} = 1.22 \log n + 1.60 \quad (4.11)$$

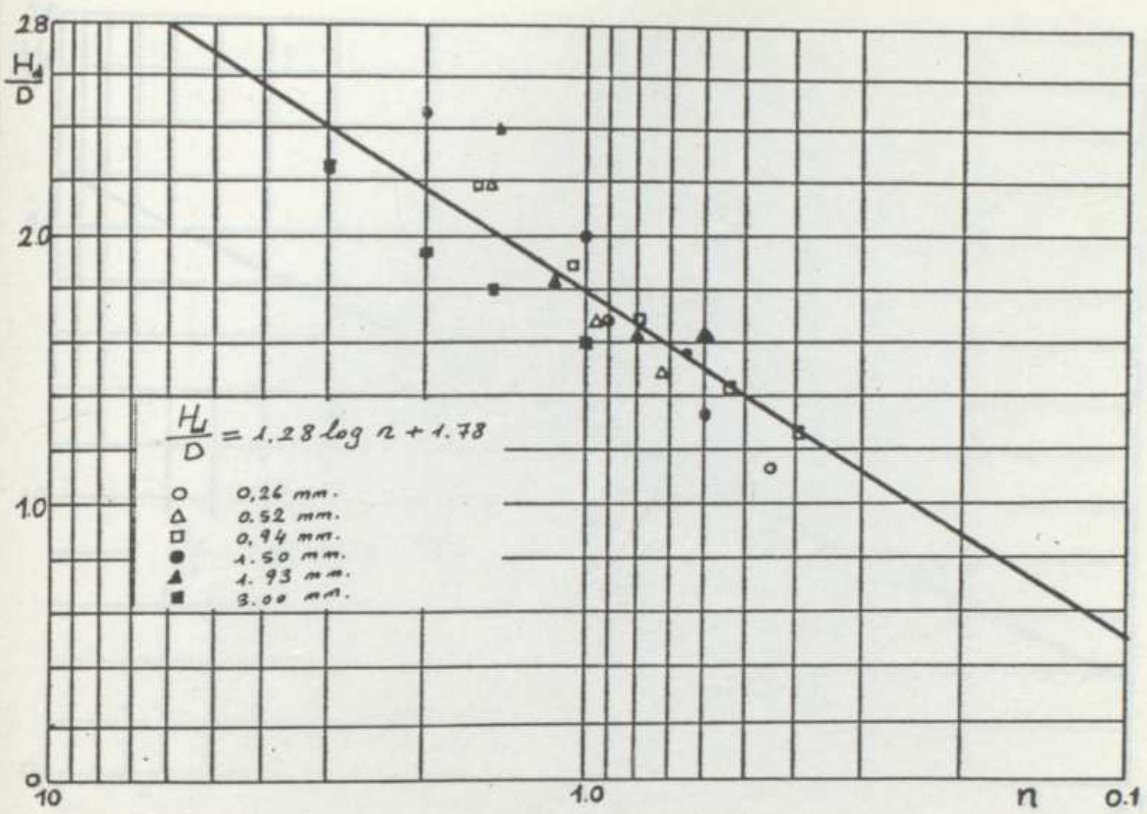
şeklinde elde edilmiştir.

Ancak, bu durumda ortaya bir problem çıkmaktadır. Çünkü elde edilen diyagram ve formül yalnız $R_e > 2,5 \cdot 10^5$ bölgesinde kullanılmaktadır. R_e sayısının daha büyük değerlerinde kullanılıp kullanılmamışacağı veya aynı tür bağıntının bulunmadığı bilinmemektedir. Bu konununda araştırılması gerekmektedir. Ancak laboratuvar şartlarında R_e büyük değerlerini elde etmek imkansızdır. Bunun üzerine bu konunun araştırılması için tabiatta ölçülmüş olan dataların kullanılmasına karar verilerek literatürdeki bu konudaki çalışmalar gözden geçirilerek, yeterli sayıda gözlem sonuçları toplanarak, değerlendirilmiştir. Bu ölçümlere ait H_d/D ve n değerleri Tablo 4.3 de görülmektedir. Tablodaki n değerleri de $Sh = 0.2$ kabul edilebilir, $n = 0.2 \cdot U/D$ formülünden elde edilmiştir. Çünkü, şekil (1.11) den hatırlanacağı gibi Sh sayısı, $R_e < 10^6$ bölgesinde de 0.2 değerine yaklaşmaktadır.

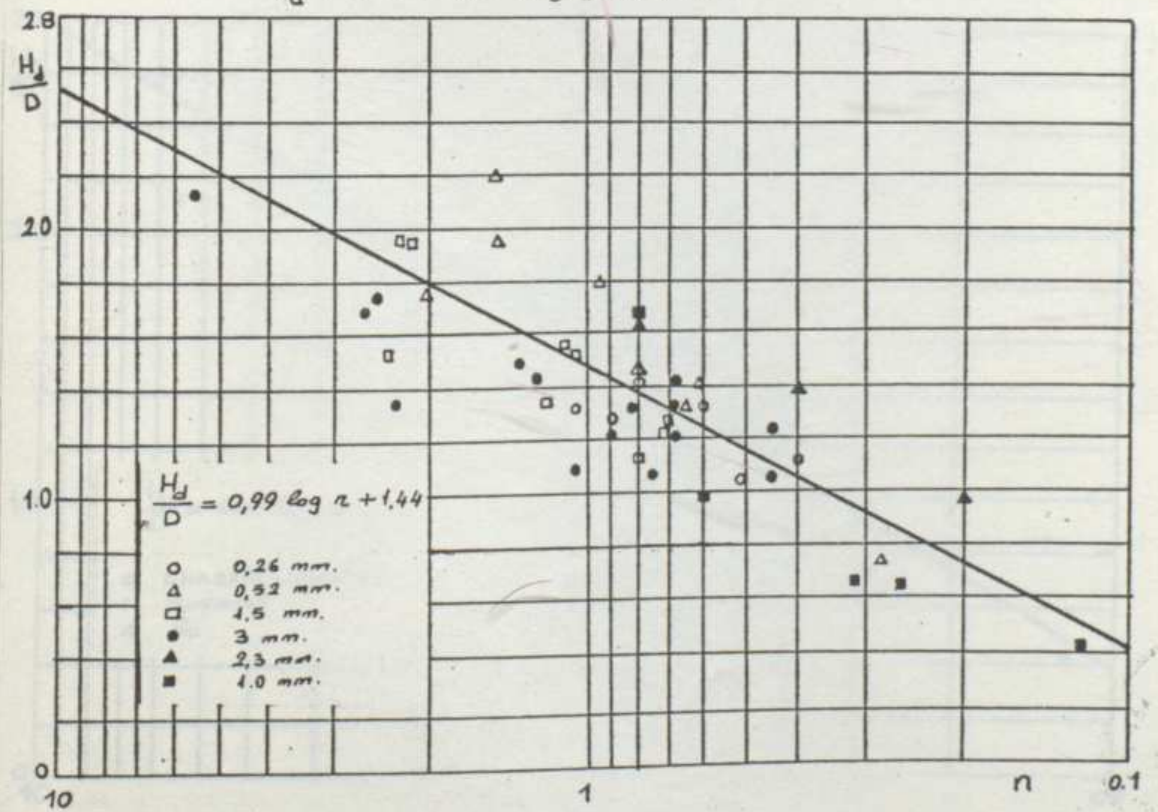
Tablo 4.3 deki değerler yine yarı logaritmik kağıda işlenmiş ve Şekil 4.11 deki regresyon doğrusu elde edilmiştir. Bu doğrunun denklemi,

$$\frac{H_d}{D} = 1.35 \log n + 2.96 \quad (4.12)$$

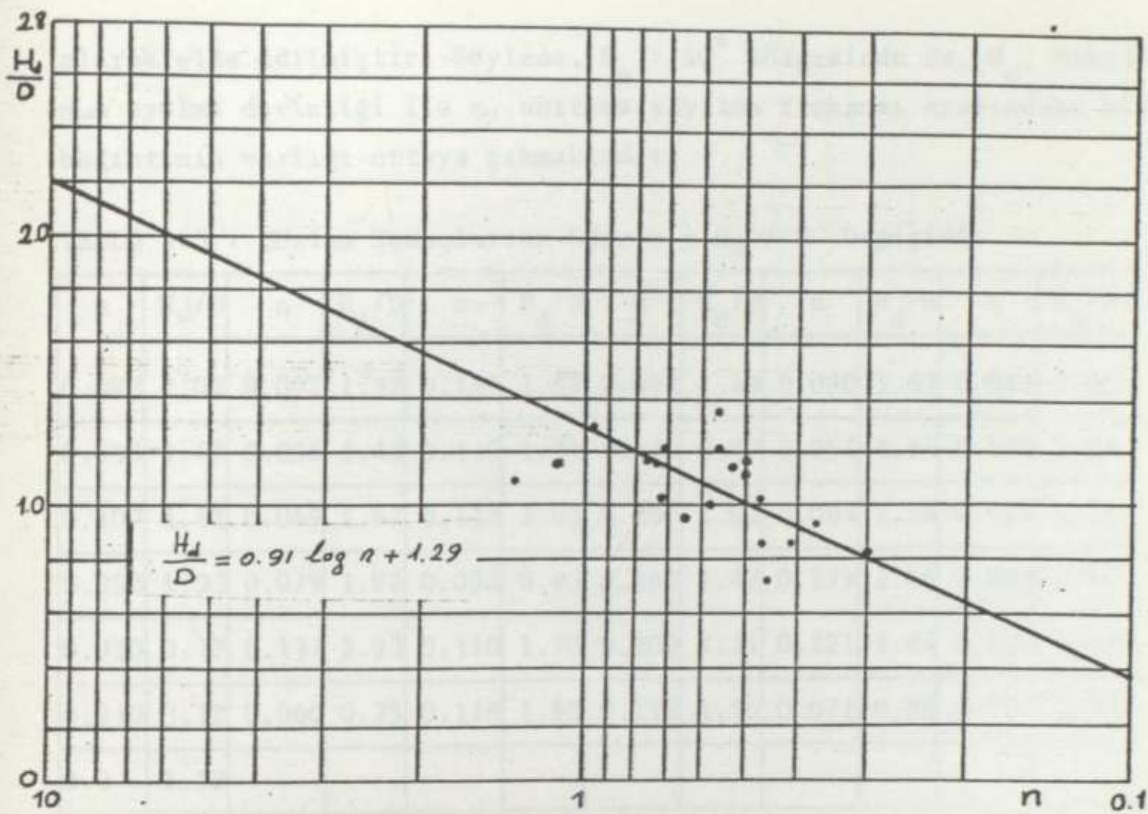




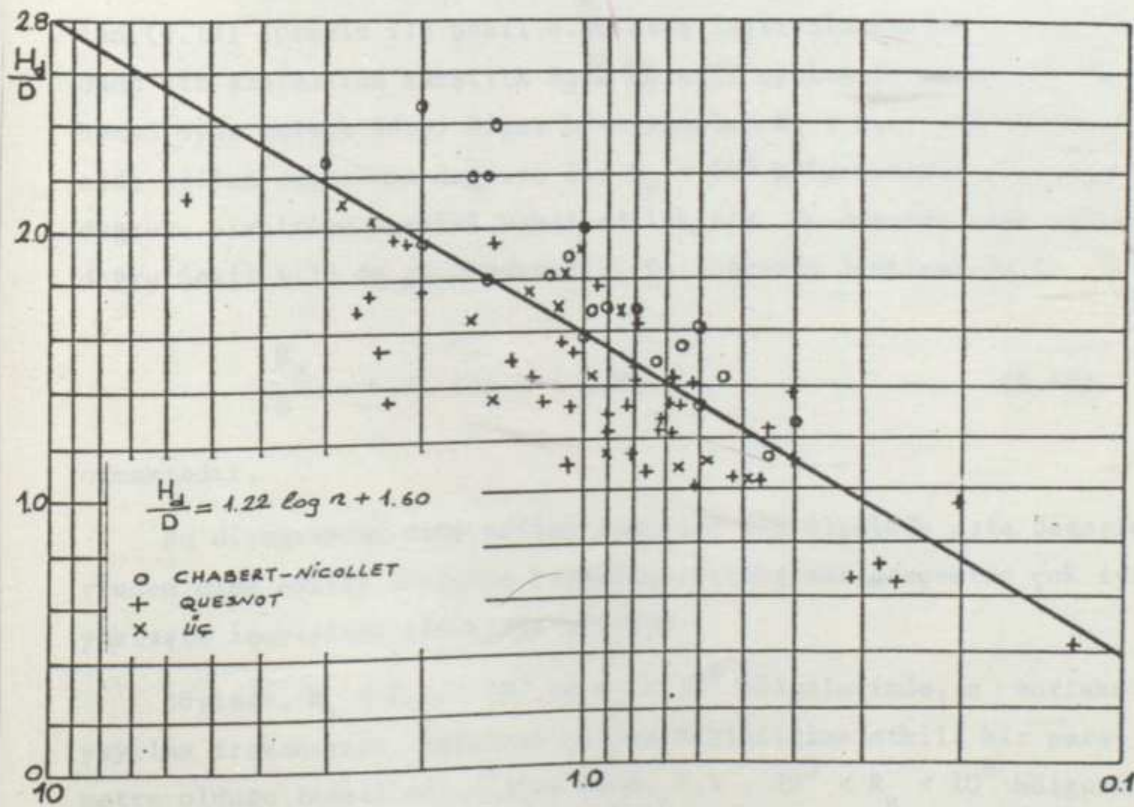
Şekil (4.7): CHABERT - NICOLLET'nın Datalarına Göre
 $H_d / D = f(n)$ Değişimi /34/.



Şekil (4.8) : QUESNOT'un Datasına Göre, $H_d / D = f(n)$ değişimi /16/.



Şekil (4.9): SHEN'in Datalarına Göre, $H_d / D = f(n)$ Değişimi /16/.



Şekil (4.10): $R_e < 2.5$ Bölgesi İçin, $H_d / D = f(n)$ Değişimi.

olarak elde edilmiştir. Böylece, $R_e > 10^6$ bölgesinde de, H_d , maksimum oyulma derinliği ile n , vorteks yayılma frekansı arasındaki bir bağıntının varlığı ortaya çıkmaktadır.

TABLO 4.3 : Gözlem Sonuçlarına Göre $n - H_d / D$ Değişimi.

n	H_d/D	n	H_d/D	n	H_d/D	n	H_d/D	n	H_d/D	n	H_d/D
0.095	2.02	0.092	1.32	0.116	1.62	0.091	1.49	0.090	1.67	0.097	2.01
0.105	1.49	0.096	1.43	0.116	1.31	0.110	0.67	0.051	1.54	0.094	2.22
0.107	1.81	0.049	1.47	0.113	2.03	0.060	1.01	0.084	1.59	0.049	1.01
0.050	1.03	0.079	1.92	0.052	0.83	0.160	1.48	0.179	1.60	0.083	0.92
0.030	0.77	0.137	2.93	0.110	1.70	0.200	2.11	0.221	2.84	0.137	1.57
0.210	3.12	0.060	0.75	0.116	1.83	0.112	1.56	0.071	0.86	0.50	2.00
0.3	1.52										

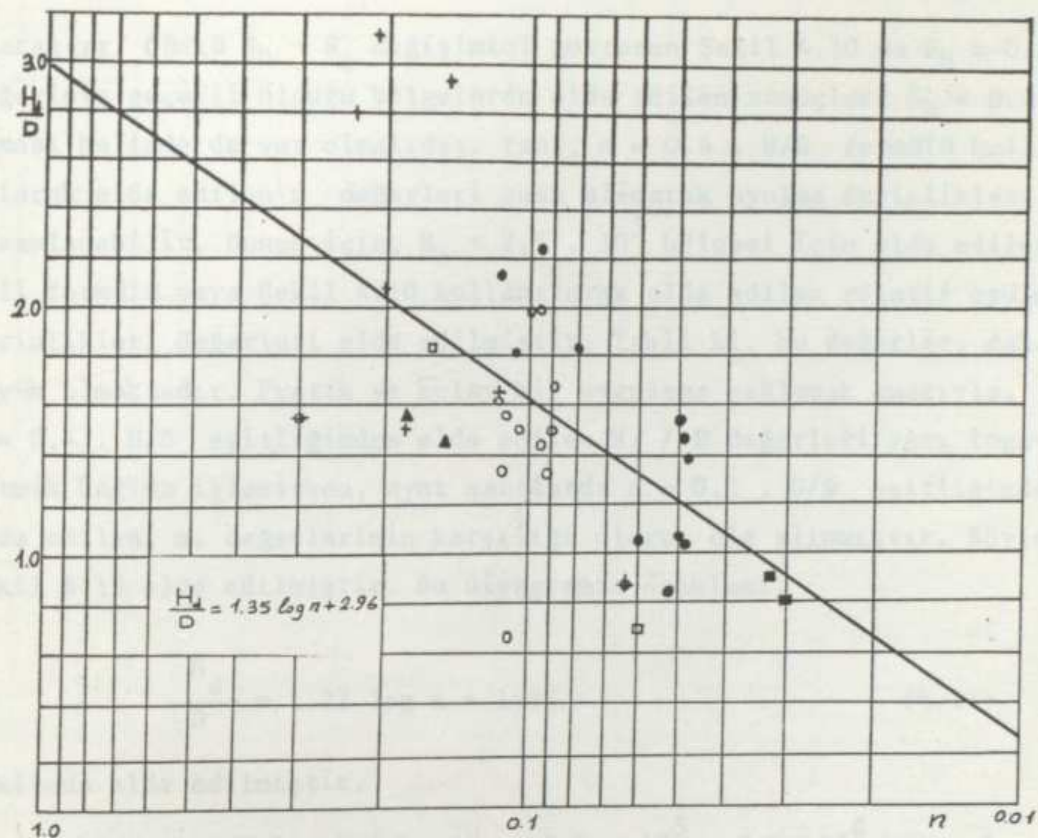
Elde edilen bağıntı ile, $R_e < 2,5 \cdot 10^5$ bölgesi için elde edilen (4.11) formülü ile Şekil 4.10 karşılaştırıldığında, n değerlerinin onda bir azalmasına karşılık H_d/D rölatif oyulma derinlikleri hemen hemen aynı kalmaktadır. Diğer bir değişle, $R_e < 2,5 \cdot 10^5$ bölgesinde elde edilen regresyon doğrusu ile $R_e > 10^6$ bölgesindeki regresyon doğrusu birbirine paralel kabul edilebilir. Bu durumda elde edilen doğru Şekil 4.12 de görülmektedir. Bu doğrunun denklemi de ;

$$\frac{H_d}{D} = 1.22 \log n + 2.82 \quad (4.13)$$

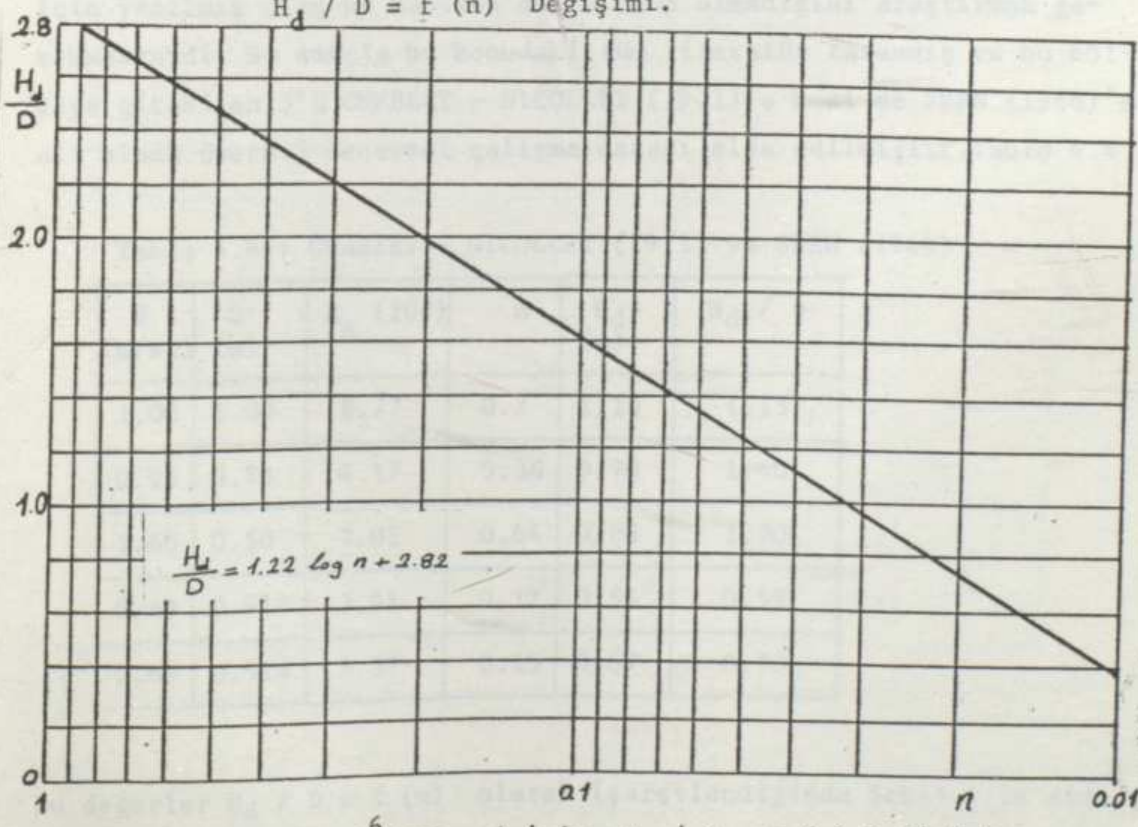
olmaktadır.

Bu diyagramdan elde edilen sonuçlar ile ölçülmüş data değerlereinden elde edilen diyagram karşılaştırıldığında gerçekten çok iyi yaklaşım içerisinde oldukları görülür.

Böylece, $R_e > 2,5 \cdot 10^5$ ve $R_e < 10^6$ bölgelerinde, n vorteks yayılma frekansının, maksimum oyulma derinliğine etkili bir parametre olduğu tesbit edildiğine göre, $2,5 \cdot 10^5 < R_e < 10^6$ bölgesinde de, $H_d / D = f(n)$ bağıntısının olması gerektiğini düşünmek mantıklı



Şekil(4.11): Prototip Ortamda Ölçülmüş Datalara Göre,
 $H_d / D = f(n)$ Değişimi.



Şekil(4.12): $R_e > 10^6$ Bölgesi İçin, $H_d / D = f(n)$ Değişimi.

olacaktır. Çünkü $S_h - R_e$ değişimini gösteren Şekil 4.10 da $S_h = 0.2$ değerinin geçerli olduğu bölgelerde elde edilen sonuçlar, $S_h = 0.4$ olması halinde de var olmalıdır. Yani, $n = 0.4 \cdot U/D$ formülü kullanılarak elde edilen n değerleri esas alınarak oyulma derinlikleri hesaplanabilir. Bunun için, $R_e < 2,5 \cdot 10^5$ bölgesi için elde edilen 4.11 formülü veya Şekil 4.10 kullanılarak elde edilen rölatif oyulma derinlikleri değerleri elde edilmiştir. Tabii ki, bu değerler, daha büyük olmaktadır. Pratik ve kolay bir uygulama sağlamak amacıyla, $n = 0,4 \cdot U/D$ eşitliğinden elde edilen H_d / D değerleri yarı logaritmik kağıda işlenirken, aynı şartlarda $n = 0,2 \cdot U/D$ eşitliğinden elde edilen, n, değerlerinin karşılığı olarak ele alınmıştır. Böylece Şekil 4.13 elde edilmiştir. Bu diyagramın denklemi,

$$\frac{H_d}{D} = 1.22 \log n + 1.95 \quad (4.14)$$

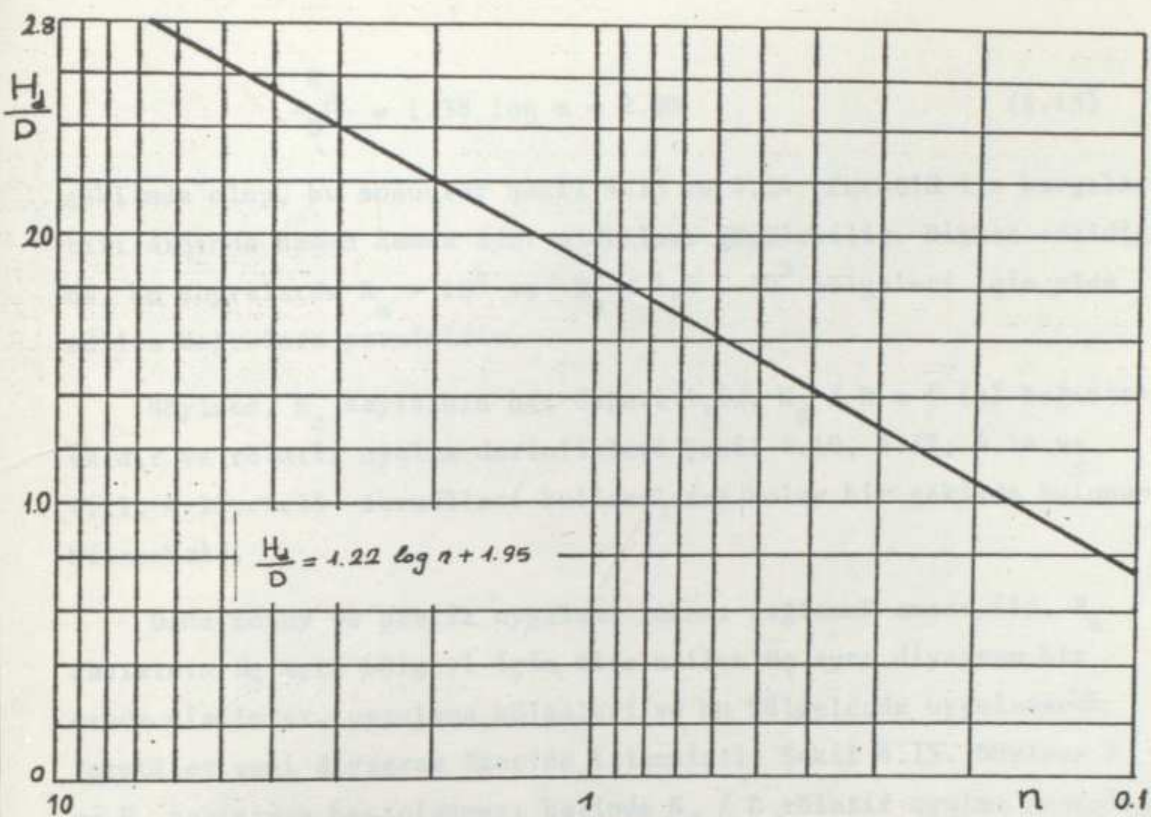
şeklinde elde edilmiştir.

Burada, $n = 0,2 \cdot U / D$ dir. $2,5 \cdot 10^5 < R_e < 10^6$ bölgesi için yapılmış olan bu kabulün doğru olup olmadığını araştırmak gerekmektedir. Bu amaçla bu konudaki tüm literatür taranmış ve bu bölgeye girebilen 3'ü CHABERT - NICOLLET (1971)'e 2 si de SHEN (1966)'e ait olmak üzere 5 deneyel çalışma datası elde edilmiştir. Tablo 4.4

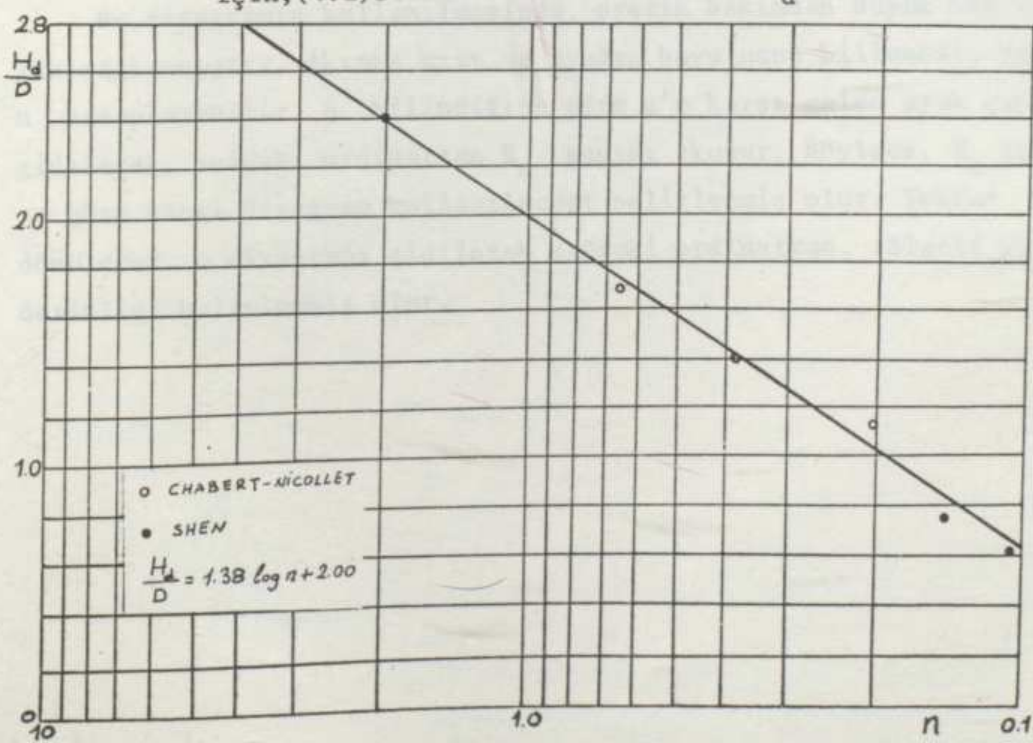
Tablo 4.4 : CHABERT - NICOLLET (1971) ve SHEN (1969)

U (m/sn)	D (m)	R_e (10^5)	n	H_d (m)	H_d / D
1.00	1.00	8.77	0.2	1.13	1.13
0.95	0.50	4.17	0.38	0.70	1.40
1.60	0.50	7.01	0.64	0.85	1.70
0.49	0.914	3.91	0.12	0.54	0.59
0.67	0.914	5.37	0.15	0.67	0.73

Bu değerler $H_d / D = f(n)$ olarak işaretlendiğinde Şekil 4.14 elde edilmiştir /3/ /34/. Bu doğrunun denklemi,



Şekil(4.13): $2,5 \cdot 10^5 < R_e < 10^6$ Bölgesi İçin, $n = 0.4$ U/D Değeri İçin, (4.1) Formülünden Eled Edilen $H_d/D = f(n)$ Değişimi.



Şekil(4.14): $2,5 \cdot 10^5 < R_e < 10^6$ Bölgesinde, CHABERT - NICOLLET ve SHEN'in Datalarına Göre, $H_d/D = f(n)$ Değişimi.

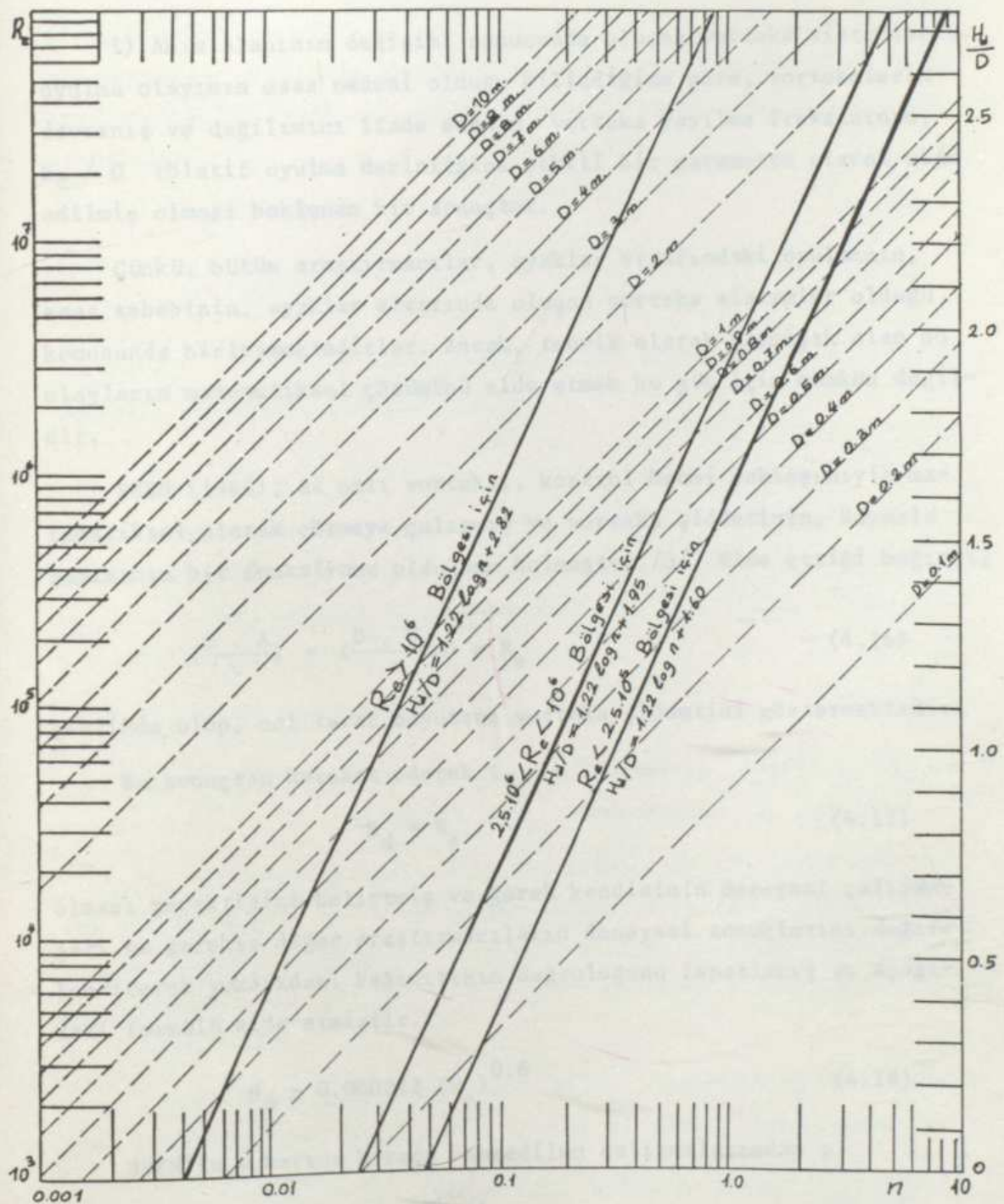
$$\frac{H_d}{D} = 1.38 \log n + 2.00 \quad (4.15)$$

şeklinde olup, bu sonuçlar Şekil 4.13 ve 4.14 formülü ile karşılaştırıldığında hemen hemen aynı oldukları görülebilir. Dikkat edildiğinde, bu doğrularda $R_e > 10^6$ ve $R_e < 2,5 \cdot 10^5$ bölgeleri için elde edilen doğrulara paraleldir.

Böylece, R_e sayısının her değeri için, $H_d / D = \delta(n)$ bağıntısı vardır ve rölatif oyulma derinlikleri Şekil 4.10, 4.12, 4.14 ve 4.11, 4.13, 4.15 formülleri kullanılarak kolay bir şekilde bulunabilecektir.

Daha kolay ve pratik uygulama imkanı sağlamak amacıyla, R_e sayısının üç ayrı bölgesi için elde edilen üç ayrı diyagram bir arada çizilerek, uygulama bölgeleri ve bu bölgelerde uygulanacak formüller yeni diyagram üzerine işlenmiştir Şekil 4.15. Böylece n ve R_e sayısının hesaplanması halinde H_d / D rölatif oyulma derinliği kolayca hesaplanabilecektir.

Bu diyagramın kullanılmasında, pratik bakımdan büyük bir kolaylık sağlanmıştır. Akımın hızı ve ayağın boyutunun bilinmesi, halinde n hesaplanabilir. n bilindigine göre n' e karşı gelen ayak çapına gidilerek, soldaki ordinattan R_e sayısı okunur. Böylece, R_e sayısına göre hangi diyagram kullanılacağı belirlenmiş olur. Tekrar n' e dönülerek, o diyagrama gidilerek sağdaki ordinattan, rölatif oyulma derinliği belirlenmiş olur.



Şekil (4.15) : $n = 0.2$ U/D Değerinin Bilinmesi Halinde, Gerek
 R_e Sayısı ve Gerekse, H_d/D Değerinin Elde Edilmesine
Yarayan Diyagram.



4.5. BULGULARIN TARTIŞILMASI

1) Akım alanının değişimi sonucunda oluşan vorteks sistemlerin, oyulma olayının esas nedeni olduğu bilindiğine göre, vortekslerin davranış ve dağılımını ifade eden n vorteks yayılma frekansının, H_d / D rölatif oyulma derinliğine etkili bir parametre olarak elde edilmiş olması beklenen bir sonuçtur.

Çünkü, bütün araştırmacılar, ayaklar etrafındaki oyulmanın, esas sebebinin, ayaklar etrafında oluşan vorteks sistemler olduğu konusunda birleşmektedirler. Ancak, teorik olarak karmaşık olan bu olayların matematiksel çözümünü elde etmek bu gün için mümkün değildir.

SHEN (1966), at nali vorteksi, kontrol hacmi yaklaşımıyla matematiksel olarak çözmeye çalışmış ve vorteks şiddetinin, Reynolds sayısının bir fonksiyonu olduğunu bulmuştur /3/. Elde ettiği bağıntı;

$$\left(\frac{\omega \cdot A}{v}\right) \propto \left(\frac{D \cdot U_\infty}{v}\right) = R_e \quad (4.16)$$

şeklinde olup, sol taraf boyutsuz vorteks şiddetini göstermektedir.

Bu sonuctan hareket ederek ;

$$H_d \propto R_e \quad (4.17)$$

olması gerektiğini belirtmiş ve gerek kendisinin deneysel çalışmaları ve gerekse diğer araştırmacıların deneySEL sonuçlarını değerlendirerek yukarıdaki bağıntısının doğruluğunu ispatlamış ve aşağıdaki formülü elde etmiştir.

$$H_d = 0.000222 (R_e)^{0.6} \quad (4.18)$$

SHEN'in yukarıda kısaca bahsedilen çalışmalarından ;

$$H_{d \max} = f \left(\frac{\omega \cdot A}{v} \right) \quad (4.19)$$

sonucunu çıkarmak mümkündür. Yani, oyulma derinliği vorteksin bir fonksiyonudur. Dolayısıyla vorteksin karakteristiklerinden olan, n yayılma frekansının da oyulma olayında etkili bir parametre

olması normal bir sonuçtır.

2) At nali vorteksin şiddetinin, oyulmaya etkili bir parametre olduğunu kabul eden QADAR, sabit tabanlı bir akım ortamına yerleştirilen ayaklar etrafında oluşan at nali vorteksin büyüklüğünü ve hızını yaptığı deneysel çalışmalar sonucunda aşağıdaki şekilde elde edilmiştir.

$$r_o = 0.1 D \quad (4.20)$$

$$U_o = 0.092 \frac{U^{0.83}}{D^{0.5}} \quad (4.21)$$

Burada ; r_o vorteksin büyüklüğünü, U_o da vorteksin hızını göstermektedir. Vorteksin şiddetini de,

$$C_o = U_o \cdot r_o \quad (4.22)$$

olarak tanımlayarak ; oyulma derinliğinin, C_o 'ın fonksiyonu olduğunu, gerek kendisinin deneysel sonuçları ve gerekse diğer araştırmacıların sonuçlarını kullanarak göstermiştir. $H_d \max$ ile C_o arasındaki bağıntıyı,

$$H_d \max = 538 (C_o)^{1.28} \quad (4.23)$$

şeklinde formüle etmiştir. Bu çalışma, vorteksin, doğrudan doğruya oyulmaya etkili olduğunu kabul eden literatürdeki ilk çalışmadır.

Vorteksin hızını ifade eden, yukarıdaki (4.21) formülünü tekrar göz önüne alır ve bu çalışmada parametre olarak ele alınan, n vorteks yayılma frekansının hesabında kullanılan (4.9) formülü ile karşılaştırılırsa, iki formül arasında çok büyük bir benzerlik olduğu hemen görülür.

O halde ; n, vorteks yayılma frekansı, maksimum oyulma derinliğine etkili bir parametre olması normal bir sonuç olması gereklidir.

3) R_e sayısının her değeri için, Şekil 4.15 deki diyagramlar veya formüllerin kullanılması ile gerek laboratuvar şartlarında ve gerekse prototip şartlarında, rölatif oyulma derinlikleri, $n = 0.2 \frac{U}{D}$ şeklindeki basit bir formülden, vorteks yayılma frekansının hesaplanmasıyla kolayca bulunabilmektedir.

Halbuki, hem laboratuvar şartlarında ve hem de prototip şartlarda uygulanabilen tek çalışma QADAR'ın kidir. Önerdiği formülün kullanılması iyi sonuçlar vermesine rağmen, hesabı daha çok zaman almaktadır. Çünkü ;

$$H_d \max = 538 (C_o)^{1.28}$$

$$C_o = U_o \cdot r_o = 0.0092 U^{0.83} \cdot D^{0.5}$$

şeklinde olup, üstlü ifadeler hesaba girmektedir.

4) Bilhassa proje mühendisleri açısından, muhtemel oyulma derinliğinin önceden ve iyi bir yaklaşımla tahmin etmek çok önemlidir. Ancak bu güne kadar, yapılmış olan çalışmaların çoğu laboratuvar çalışmalarının sonuçlarına dayanılarak verilen formüllerdir. Bunların pratiğe uygulanması halinde oldukça farklı ve de aldatıcı yanlış sonuçlar elde edilebilmektedir.

Bu açıdan, hem laboratuvar şartlarında ve hem de prototipte geçerli olan çalışmalar bir kaç taneyi geçmemektedir. Bu güne kadar en çok kullanılan formül INGLIS - LACEY'in rejim teorisi ile elde ettiği formül olmuştur. Bu formül ;

$$d_L = d_s \approx 0.473 \left(\frac{Q}{f} \right)^{1/3} \quad (4.24)$$

şeklinde olup, f, silt faktörüdür. f için ;

$$\text{INGLIS } f = 1.76 \sqrt{d} \quad (4.25)$$

$$\text{LACEY } f = 1.59 \sqrt{d} \quad (4.26)$$

bağıntılarını vermişlerdir.

Ancak, QADAR (1981)'in çalışması sonucunda elde ettiği formül ile LACEY bağıntısından elde edilen sonuçları karşılaştırmış ve kendi formülünün gerek standart sapma ve gerekse ortalama sapma değerleri açısından çok daha iyi neticeler verdigini ispatlamıştır.

Bunun için, prototip şartlarında, bu çalışmada elde edilen formüller ve diyagramların kullanılması ile elde edilen sonuçlar QADAR'ın formülünden elde edilen sonuçlarla karşılaştırılmıştır (Tablo 4.5).

TABLO 4.5 a : Lahore Yakınında Ravi Akarsuyu Üzerindeki Shahdara Demiryolu Köprüsü Datası /50/.

Yıl	Q (m^3/sn)	$\frac{q}{2}$ (m^2/sn)	h (m)	U (m/sn)	D (m)	R_e (10^6)	n	$H_d = f(n)$ (m)	$H_d = K \cdot C_o^n$ (m)	Gözlem H_d (m)
1948	2437	7.39	5.08	1.45	3.05	3.89	0.095	4.79	4.09	6.16
1949	1437	6.71	4.77	1.40	"	3.76	0.092	4.74	3.92	4.03
1950	5469	13.28	7.49	1.77	"	4.73	0.116	5.11	4.93	4.95
1951	1247	6.49	4.66	1.39	"	3.71	0.091	4.72	3.83	4.54
1952	1587	6.42	4.66	1.38	"	3.70	0.090	4.71	3.78	5.10
1953	2352	7.78	5.27	1.48	"	3.95	0.097	4.82	4.08	6.15
1954	4874	11.85	6.94	1.70	"	4.55	0.112	5.06	4.76	4.28
1955	7085	9.78	6.13	1.60	"	4.28	0.105	4.95	4.36	4.54
1956	2465	7.48	5.13	1.46	"	3.90	0.096	4.80	4.09	4.35
1957	5441	13.22	7.47	1.77	"	4.73	0.116	5.06	4.97	4.01
1958	4308	11.22	6.66	1.68	"	4.49	0.110	5.03	4.66	2.05
Standart Sapma :		1.18				TOPLAM	53.79	47.47	50.16	

TABLO 4.5 b : INGLIS Tarafından Toplanan Olan Datalar /51/.

Yıl	Q (m^3/sn)	q (m^2/sn)	h (m)	U (m/sn)	D (m)	R_{e_0} (10 ⁶)	n	$H_d = f(n)$ (m)	$H_d = K \cdot C_o$ (m)	Gözlem H_d (m)
1938	47468	52.51	18.29	2.87	11.27	28.37	0.051	14.01	19.21	17.38
1938	63763	52.04	18.14	2.87	6.10	15.35	0.095	9.56	12.93	13.56
1941	4761	22.58	10.67	2.17	3.96	7.54	0.107	6.47	7.12	7.17
1938	1706	8.51	5.64	1.51	6.10	8.08	0.049	7.45	6.52	8.99
1938	2922	11.15	6.52	1.71	3.05	4.58	0.113	5.08	4.82	6.19
1933	4421	13.75	7.56	1.82	6.10	9.74	0.060	8.08	7.80	6.16
1932	4743	14.31	7.74	1.85	7.62	12.37	0.048	9.23	9.33	12.14
1942	1977	9.20	6.16	1.49	6.10	7.98	0.049	7.45	6.45	6.19
1929	1738	8.60	5.61	1.53	6.10	8.19	0.050	7.51	6.52	6.31
1933	3025	11.43	6.77	1.69	4.27	6.33	0.079	6.29	5.82	8.21
1936	3113	11.99	7.53	1.59	6.10	8.51	0.052	7.64	6.80	5.09
						TOPLAM		88.77	93.32	97.39
						Standart Sapma :	2.27			

TABLO 4.5 c : Canadian Akarsuyu Datalari /52/

Y_{11}	Q (m^3/sn)	q (m^2/sn)	h (m)	U (m/sn)	D (m)	R_e (10^6)	n	$H_d=f(n)$ (m)	$H_d=K \cdot C_o$ (m)	Gözlem H_d (m)
1962	567	10.33	7.05	1.47	1.83	2.36	0.160	3.38	2.91	2.71
1962	510	8.36	6.12	1.37	1.52	2.08	0.179	2.90	2.42	2.42
Standart Sapma :	0.58						TOPLAM	6.28	5.33	5.13

TABLO 4.5 d : Tista Akarsuyu Üzerindeki Köprüye Ait Datalar /53/

1970	3364	8.24	5.44	1.51	9.15	12.12	0.030	8.80	8.45	8.43
1971	3307	6.29	4.54	1.39	9.15	11.16	0.033	9.26	7.59	7.06
Standart Sapma :	1.57						TOPLAM	18.06	16.04	15.49

TABLO 4.5 e : Sulama Araştırmaları Enstitüsü'nde Model Çalışmaları İçin Oyulma Datası /54/.

Y_{11}	Q (m^3/sn)	q (m^2/sn)	h (m)	U (m/sn)	D (m)	R_e (10^6)	n	$H_d=f(n)$ (m)	$H_d=K_c_o^n$ (m)	Gözleme $H_d(m)$
9409	22.03	10.56	2.08	3.05	5.57	0.137	5.38	5.85	5.85	8.95
17003	11.15	6.69	1.67	3.05	4.46	0.109	5.02	4.76	4.76	5.20
1134	18.59	9.69	1.92	1.91	3.21	0.200	3.75	4.01	4.01	4.03
992	13.66	6.46	2.11	1.91	3.53	0.220	3.80	4.36	4.36	5.10
4251	15.99	8.51	1.88	2.74	4.52	0.137	4.84	4.88	4.88	4.29
31173	25.56	11.58	2.21	2.13	4.13	0.210	4.23	4.95	4.95	9.15
Standart Sapma : 2.55		TOPLAM		27.02		28.81		36.72		

TABLO 4.5 f : Edmonton, Alberta'nın Datası /55/.

	7.62	1.83	6.10	9.79	0.060	8.10	7.90	4.57
	5.49	1.52	1.83	2.78	0.166	3.41	3.02	3.35
Standart Sapma : 2.49								
TOPLAM						11.51	10.92	7.92
GENEL TOPLAM						205.43	201.89	212.81

TABLO 4.5 g : MELVILLE (1975) Datası /4/.

Yer	U (m/sn)	D (m)	L (m)	n	α	K_α	$H_d=f(n)$ (m)	$H_d=K \cdot C_o^n$ (m)	Gözlem H_d (m)
Waikato River Tuakau Bridge	0.87	2.44	8.85	0.71	10^0	1.3	4.49	2.63	2.75
Big Wanganui River Bridge	4.27	1.65	8.5	0.52	10^0	1.5	6.05	12.76	4.88
Matawheva Railway Bridge	2.25	1.5	6.8	0.3	45^0	1.75	5.88	7.15	4.00
Standart Sapma : 2.17			TOPLAM			16.26	22.54	11.63	
GENEL TOPLAM 224.43 224.43 224.44									

Tablodaki sonuçlar incelendiğinde prototip çözümlerde, bu çalışmadan elde edilen formüllerin veya diyagramların kullanılması daha iyi sonuçlar vermektedir.

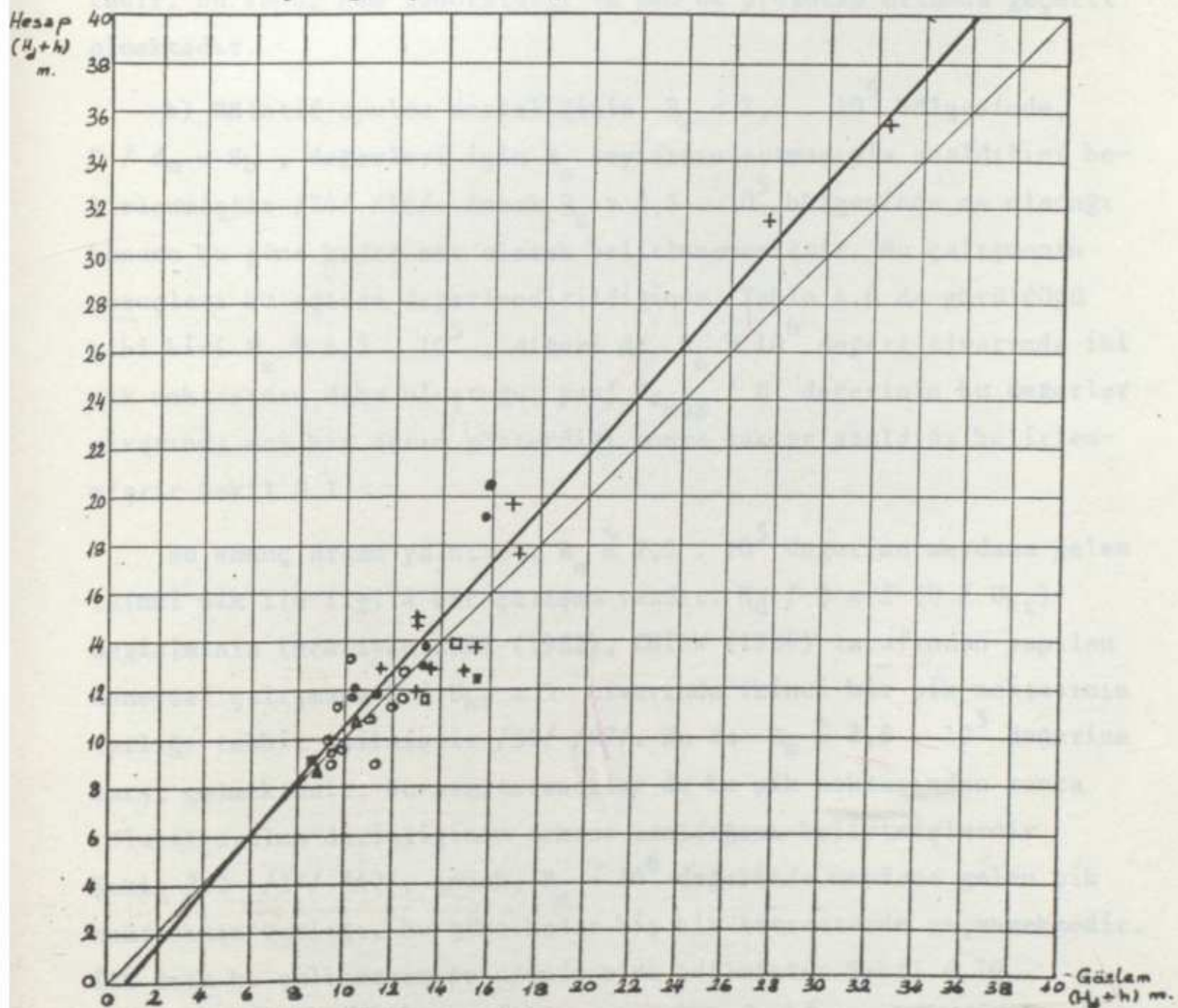
5) Tablo 4.5 deki sonuçlar incelendiğinde, toplam 37 prototip ayak etrafında ölçülmüş maksimum denge oyulma derinliklerinin toplamı 224.44 m. olmaktadır. Buna karşılık, gerek bu çalışmanın sonuçlarının kullanılması ve gerekse QADAR'ın sonuçları kullanılması halinde toplam derinlik 224.43 m. olmaktadır. Yani 0.01 m. hata bulunmaktadır.

6) Ayrıca, her tablodaki sonuçların standart sapmaları hesaplanmış ve sonuçta elde edilen bu standart sapmaların ağırlık ortalaması belirlenmiştir. Bu çalışmadan elde edilen diyagram ve formüllerin uygulanması halinde ağırlıklı standart sapma değeri 1.73 olmakta, buna karşılık QADAR'ın formülün uygulanması halinde ise standart sapma değeri 1.89 olmaktadır. Diğer bir değişle, bu çalışmanın sonuçlarının prototip te uygulanması daha iyi sonuçlar vermektedir. Bilhassa hızın büyük değerlerinde QADAR'ın neticeleri çok büyük sapmalar göstermektedir.

7) Aynı şartlarda, gözlem sonuçları ile bu çalışmadan elde edilen sonuçlar, Şekil 4.16 da görüldüğü gibi aynı koordinat sisteminde karşılaştırılmıştır. Bu diyagramdan da görüldüğü gibi çok iyi bir yaklaşım elde edilmiştir. Burada ki regresyon doğrusunun denklemi ;

$$(H_{d_{\max}} + h)_{\text{gözlem}} = 1.12 (H_{d_{\max}} + h)_{\text{hesap}} - 0.6 \quad (4.27)$$

seklinde olup regresyon katsayısı $r = 0.82$ dir.



Şekil (4.16): Gözlem Sonuçları ile Hesap Sonuçlarının Karşılaştırılması.

8) Bu çalışmanın sonuçlarının değerlendirilmesi halin de, bu güne kadar tam olarak belirlenmemiş veya belirlenememiş olan çok önemli bulgular elde edilmiştir.

a) SHEN (1966 - 1969), $H_{d_{\max}} = f(R_e)$ olduğunu belirterek Şekil 4.17 deki diyagramı vermiştir. Prototip şartlarında da geçerli olduğu belirtilmektedir. Halbuki bu çalışma sonuçları dikkate alınırsa $H_{d_{\max}} = f(R_e)$ bağıntısının var olduğu fakat SHEN'in belirttiği gibi tek bir eksponansiyel bağıntı ile ifade edilemeyeceği sonucu çıkar. Çünkü, $R_e < 2.5 \cdot 10^5$, $2 \cdot 10^5 < R_e < 10^6$ ve $R_e > 10^6$

bölgelerinde geçerli ve bir birine paralel olan üç ayrı exponansiyel bağıntıyla ifade edilebilmektedir. Bu Şekil 4.18 de açıkça görülmektedir. Bu sonuç hem laboratuvar ve hem de prototip ortamda geçerli olmaktadır.

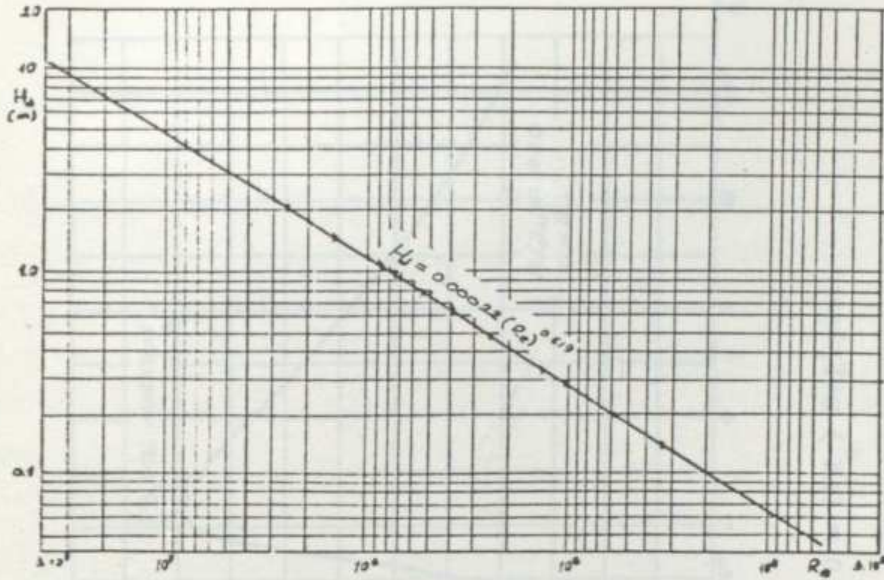
b) Rölatif oyulma derinliğinin, $R_e < 2,5 \cdot 10^5$ bölgesinde, $D / d_m = S_b$, değerleri için R_e sayısının artmasıyla azalmasını belirlenmiştir /34/ /16/. Ancak $R_e > 2,5 \cdot 10^5$ bölgesinde ne olacağı konusu bu güne kadar net olarak belirlenmemiştir. Bu çalışmanın sonuçları bu açıdan değerlendirildiğinde, Tablo 4.6 da görüldüğü gibi biri $R_e \approx 2,5 \cdot 10^5$, diğeri de $R_e \approx 10^6$ değeri civarında iki pik noktasının daha oluştuğu, yani $H_{d_{\max}} / D$ değerinin bu değerler civarında ani bir artım gösterdiği sonra tekrar azaldığı belirlenmiştir Şekil 3.1 .

Bu sonuçlardan yalnızca, $R_e \approx 2,5 \cdot 10^5$ değerine meydana gelen ikinci pik ile ilgili bir çalışma vardır. $H_d / D = f(U / U_{kr})$ değişiminin inceliyen CHEE (1982), CHIEW (1984) tarafından yapılan deneysel çalışmada $U / U_{kr} = 5$ civarında ikinci bir pik noktasının varlığı tesbit edilmiştir /37/ /47/. Bu da $R_e \approx 2,5 \cdot 10^5$ değerine karşı gelmektedir. Bu araştırmacılar da bu pik noktasından sonra rölatif oyulma derinliğinin tekrar azalmasını belirtmişlerdir Şekil 3.3 /37/ /47/. Ancak, $R_e \approx 10^6$ değerinde meydana gelen pik noktasının varlığı, bu güne kadar hiç bir literatürde geçmemektedir. İlk defa bu çalışmanın sonucunda elde edilmiştir Şekil 4.19 .

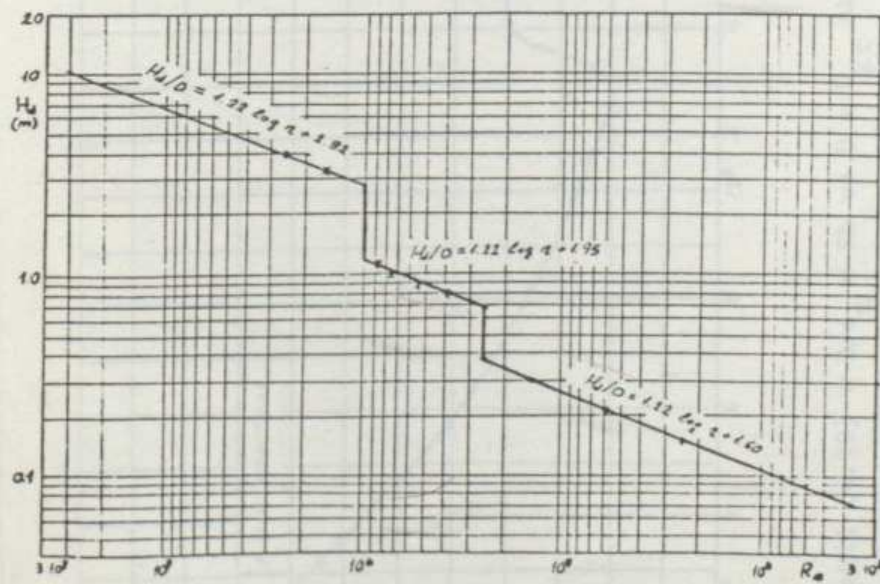
TABLO 4.6 :

d_m (m)	D (m)	U (m/sn)	$R_e(10^4)$	H/D (m)
0.0003	0.12	0.31	3.26	1.25
0.0005	0.20	0.33	5.78	1.01
0.0008	0.32	0.37	10.38	0.82
0.0010	0.40	0.41	14.38	0.76
0.015	0.60	0.50	26.31	0.65
0.020	0.80	0.56	39.22	0.92
0.025	1.0	0.62	54.38	0.86
0.003	1.2	0.71	74.73	0.83
0.004	1.6	0.80	84.2	0.75
0.005	2.0	0.86	150.87	1.52
0.007	2.8	1.03	252.93	1.43

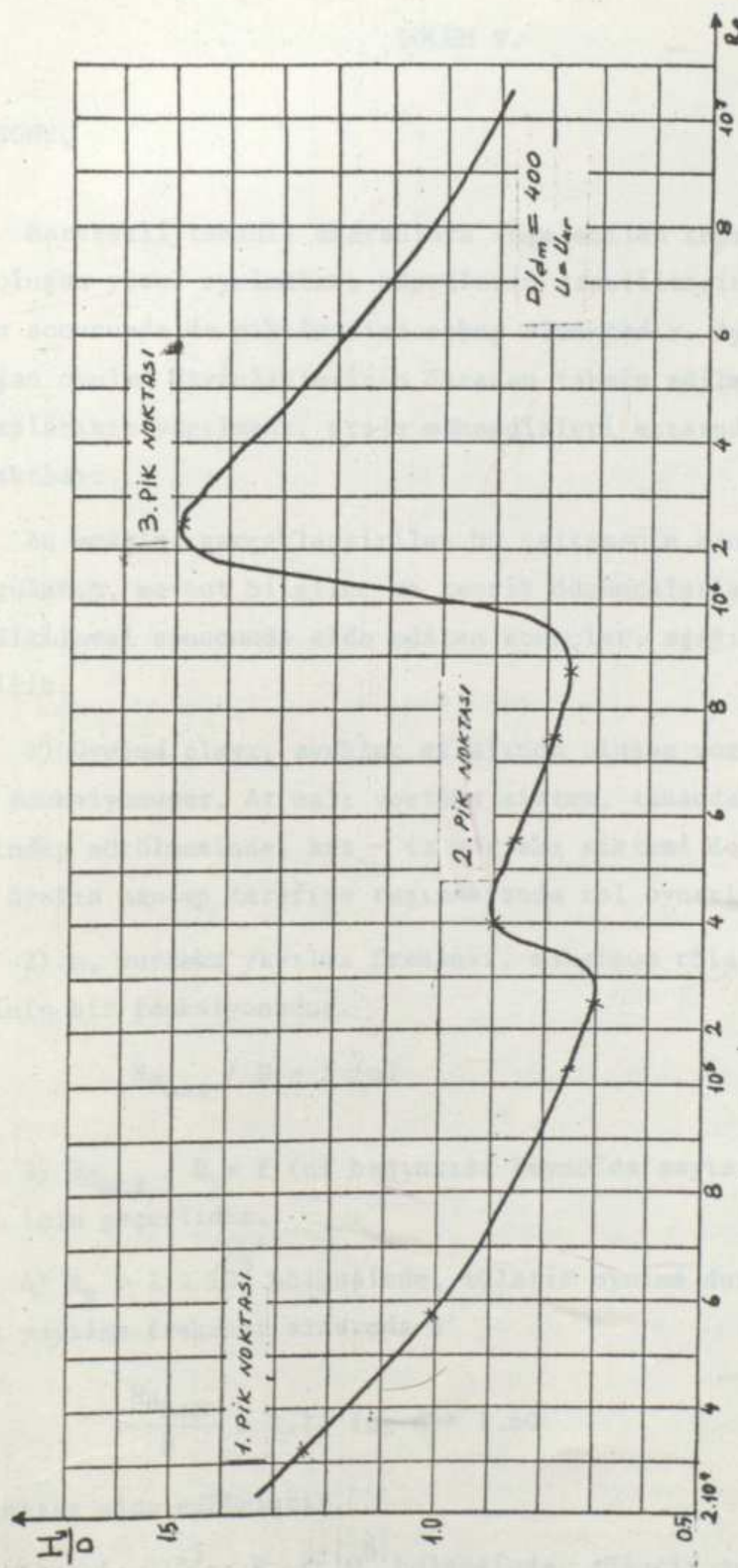




Şekil (4.17) : Tablo 4.6'ya Göre, SHEN'in formülünden
Hesaplanmış $H_d = f(R_e)$ Değişimi.



Şekil (4.18) : Tablo 4.6'ya Göre, Şekil 4.5'den Hesaplanmış
 $H_d = f(R_e)$ Değişimi.



Şekil (4.19) : $D/d_m = S_b$ ve $U = U_{kr}$ Akım Şartlarında $H_d/D = f(R_e)$ Değişimi,

2. ve 3. Pik Noktaların Elde Edilmesi.



BÖLÜM V.

5. SONUÇ

Hareketli tabanlı akarsulara inşa edilen köprü ayakları etrafında oluşan yerel oyulmalar, köprülerin stabilitesinin bozulmasına ve onun sonucunda da yıkılmasına sebep olmaktadır. Ayaklar etrafında oluşan oyulma derinliklerinin önceden tahmin edilmesi ve ona göre hesaplarının yapılması, proje mühendisleri açısından büyük önem taşımaktadır.

Bu amaçla, gerçekleştirilen bu çalışmanın sonunda elde edilen bulguların, mevcut bilgiler ve teorik düşüncelerle birlikte değerlendirilmesi sonucunda elde edilen sonuçlar, aşağıdaki gibi özetlenebilir.

1) Oyulma olayı, ayaklar etrafında oluşan vorteks sistemlerin bir fonksiyonudur. At nali vorteks sistemi, tabandaki malzemenin yerinden sökülmesinde, art - iz vorteks sistemi de sökülen malzeminin ayağın mansap tarafına taşınmasında rol oynarlar.

2) n , vorteks yayılma frekansı, maksimum rölatif oyulma derinliğinin bir fonksiyonudur.

$$\frac{H_{d_{\max}}}{D} = f(n)$$

3) $\frac{H_{d_{\max}}}{D} = f(n)$ bağıntısı Reynolds sayısının bütün değerleri için geçerlidir.

4) $R_e > 2 \cdot 10^5$ bölgesinde, rölatif oyulma derinliği ile vorteks yayılma frekansı arasında ;

$$\frac{H_{d_{\max}}}{D} = 1.22 \log n + 1.60$$

bağıntısı elde edilmiştir.

5) $2,5 \cdot 10^5 < R_e < 10^6$ bölgesinde, rölatif oyulma derinliği ile vorteks yayılma frekansı arasında ;



$$\frac{H_{d_{\max}}}{D} = 1.22 \log n + 1.95$$

bağıntısı elde edilmiştir.

6) $R_e > 10^6$ bölgesinde, rölatif oyulma derinliği ile vorteks yayılma frekansı arasında ;

$$\frac{H_{d_{\max}}}{D} = 1.22 \log n + 2.82$$

bağıntısı elde edilmiştir.

7) R_e sayısının her bölgesinde n , vorteks yayılma frekansı ;

$$n = 0.2 \frac{U}{D}$$

bağıntısıyla elde edilmektedir.

8) R_e sayısının her bölgesi için, Şekil 4.15 deki diyagramlar kullanılarak, rölatif oyulma derinlikleri diyagamlardan de elde edilebilir.

9) Elde edilen bu sonuçlar, hem laboratuvar şartlarda ve hem de prototip şartlar da oyulma derinliklerinin hesaplanması için güvenle kullanılabilir.

10) Bu diyagramlarla oyulma derinliğinin hesaplanması çok kolaydır. Yalnızca n değerinin hesaplanması sonucunda, $H_{d_{\max}} / D$ değeri hemen elde edilebilir. Çünkü, R_e sayısı, D çapına ve n 'e bağlı olarak, aynı diyagramdan elde edilebilmektedir.

11) Proje mühendisleri arasından bu güne kadar güvenle kullanabilecekleri en iyi sonuçlar bu çalışmada elde edilmiştir. Çünkü, 37 prototip ölçüm neticeleri toplamı 244.44 m. çalışmada formülle 244.43 m. elde edilmiştir. Ayrıca bu çalışmanın ağırlıklı standart sapması 1.73 ve regresyon katsayısı $r = 0.82$ olmaktadır.

12) $H_{d_{\max}} = f(R_e)$, bağıntısı bu çalışmada da gözlenmiştir. Ancak, R_e sayısının 3 bölgesinde birbirine paralel fakat bir birinden farklı bir exponsiyel bağıntı söz konusudur Şekil (4.18) .

13) $D / d_m = S_b$ olması halinde rölatif oyulma derinliği,

R_e sayısının artmasıyla azalmaktadır. Ancak, $R_e \approx 2,5 \cdot 10^5$ ve $R_e \approx 10^6$ değerlerinde ani bir artma meydana gelmektedir. Yani, rölatif oyulma derinliği, $U / U_{kr} = 1$ deki ilk pik noktasının dışında, iki pik noktasına daha ulaşmaktadır (Şekil 4.20).

14) Akım deriliğinin oyulmaya $h \geq D / 2$ olması şartıyla önemli bir etkisi bulunmaktadır.

15) Taban malzemesinin çapı, D / d_m 'in küçük değerlerinde oyulma derinliğine etkili bir parametredir. Ancak, D / d_m 'in büyük değerlerinde $D / d_m \geq 1000 \sim 1500$ dane çapının oyulma derinliğine etkisi azalmaktadır. Yaklaşık olarak, oyulma derinliğinin, dane çapından bağımsız olduğu kabul edilebilir.

1. GÖKTURK, M. (1971) : "Sur la Classification des Obstacles à l'écoulement Liquide dans la Zone des Rides ou Ronc", *Proc. I.A.R.E. Vol. 3*, p. 299.
2. KODEROV, A. - CHEN : "Separation in the Flow Past a Circular Cylinder at a Very High Reynolds Number", *J. Fluid Mech.*, Vol. 100, p. 333.
3. GÖKTURK, M. (1971) : "Mecanizmalarla İlgili Etkiler", *Malzemeler ve Mühendislik Dergisi*, Sayı 1, p. 21.
4. GÖKTURK, M. K. (1962) : "An Introduction to Fluid Dynamics", Tercüme : TÜRKİYE'DE (1971), 1.1.8. Kitabevi, Sayı 173.
5. HED, A. (1962) : "Verhandlungen des Deutschen Aerodynamischen Instituts", Berlin, Sayı 1.
6. ANDERSON, J. D. (1971) : "Flow around Bluff Bodies", *Annual Review of Fluid Mechanics*, Vol. 3, p. 1.
7. GÖKTURK, M., KÖSE, M. M. (1971) : "Local Boundary Layer Flow over Obstacles", *Proc. I.A.R.E.*
8. GÖKTURK, M. (1970) : "Flow around a cylinder in a periodic flow channel", *Kütahya Mühendislik Fakültesi Dergisi*, Sayı 1, p. 1.
9. GÖKTURK, M., KÖSE, M. M. (1970) : "Flow around a cylinder in a channel with a transverse wave", *Journal of Fluid Mechanics*, Vol. 43, p. 1.



KAYNAKLAR

1. DURGUN, K. (1964) : "Laminer Üç Boyutlu Sınır Tabakası Denklemlerinin İnvaryant Özellikleri ve Bir Bağlama Ayağı Etrafındaki Laminer Üç Boyutlu Sınır Tabakasının Etüdü", Doktora Tezi .İ.T.Ü.
2. HJORTH, P. (1971) : "Local Scour and Scouring Effect on Sewer Autfalls", Proc.I.A.H.R.Vol.3, p. 355.
3. SHEN, H.W., SCHNEIDER, V.R., KARAKI,S.S. (1966) : "Mecanics of Local Scour", Fort Collin, Colorado.
4. MELVILLE,B,W., "Local Scour at Bridge Sites", Ph.D. Thesis, Univ. of Aucklant, Rep. No. 117, New Zealand, 1975.
5. HANCU,S. (1971) : "Sur le Clcul des Affouillements Locaux dans la Zone des Piles du Pont", Proc.I.A.H.R. Vol. 3, p. 299.
6. ROSKHKO,A. (1961) : "Experiment on the Flow Past a Circular Cylinder at a Very High Reynolds Number", A.S.C.E.
7. COMOLET, R. (1963) : "Mecanique Experimental des Fluides" Editeur Eyrolles, Paris, Vol. 1 - 2.
8. BATCHELOR, G.K. (1967) : "an Introduction to Fluid Dinamics", Tercüme : EDOĞAN,E. (1972), İ.T.Ü. Kütüphanesi, Sayı 873.
9. HUG, M. (1975) : "Mecanique des Fluides Appliquees", Editeur Eyrolles, Paris.
10. AYDIN,M. (1977) : "Açık Kanal Akımında Dane Çökelmesi", Doktora Tezi, İ.T.Ü.
11. CARSTENS,T., SHARMA, H.R. (1975) : "Local Scour Around large Obstructions", proc. I.A.H.R.
12. IDEE'CIK,I.E.,(1970) : "Moménto des pertes de charge", Editeur Eyrolles, Paris.
13. GRADOWCZYK,M.H, MAGGILLO,O,J.(1968) : "Affouillement Locaux en Canal a Lit Mobile", Journal of I.A.H.R.

14. BREUSER,H.N.C,NICOLLET,G,SHEN,H.W. (1977) : "Local Scour Around Cylindrical Piers "Journal of I.A.H.R. Vol 3, p.1.
15. SHEN,H.W.,SCHNEIDER,V.R.,KARAKI,S.S. (1969) : "Local Scour Around Bridge Piers", Proc. A.S.C.E.,HY, p. 6891.
16. QUESNOT,C. (1970) : "Affouillement Autour des Piels de Ponts Cylindriques Circulaires", L.N.H.Chatau, Paris.
17. TISON,L,J. (1940) : "Erosion Autour des Pilles de Pont en Riviere", Annales des Travaux de Belgique, Vol. 41, No.3 .
18. TANAKA,S.,YANO,M. (1967) : "Local Scour Around a Circular Cylinder", Proc. I.A.H.R., Vol 3, p. 193.
19. SCHWIND, Richard G. (1962) : "The Three - Dimensional Boundary Layer Near a Strut", Gaz Turbine Laboratory Raport N0.67, Massachusetts Institute of Technology, May.
20. SCHNEIDER,V.R. (1970): Effect of Pier Shape on Local Scour Prepr. NO: 1238, ASCE Nat Meeting on Transport", Eng Boston.
21. BAYAZIT,M. (1965) : "Izgaralarin Yakinlarinda Akim ve Kati Madde Hareketi", Doktora Tezi, İ.T.Ü.
22. BLINCO,P.H, PARTHENIADES,E. (1971) : "Caractéristiques de la Turbulence dans les Ecoulement a Surface Libre sur Fonds Lisse et Rugueux", Journal de Recherches Hydrauliques, I.A.H.R. Vol. 9, p. 43.
23. SHIELDS,A.,(1936) : "Anwendung der Aehnlichkeitsmechanik und Turbulenzforschung auf die Geschiebebewegung", Berlin.
24. CHABERT,J.,ENGELDINGER, P. (1956) : "Etude des Affouillements Autour des Piles de Ponts", Chatau, Paris.
25. GUNTER,A. (1971) : "Force d'Entrainement Moyen Critique τ_{kr} , avec Prise en Considération des Fluctuations dues a la Turbulence de la Force d'Entrainement Agissant sur le Matériau d'un Lit Alluvionaire", Journal of I.A.H.R., Vol. 3, p.9.
26. MEYER - PETER,E. (1948) : "Formulas for Bed - Load Transport", IVWBV, Stockholm.



27. PAINTAL,A.S. (1971) : "La Notion de Tension de Frottement Crittique dans les Cours d'Eau a Lit Mobile", Journal of I.A.H.R., Vol.9, p.91.
28. BAYAZIT,M. (1971) : "Hareketli Tabanlı Akımların Hidroloji", İ.T.U. Kütüphanesi, Sayı 835.
29. LARRAS,J. (1972) : "Hydrauliques et Granulats", Editeur Eyrolles, Paris.
30. LIU,h.K. (1957) : "Mechanics of Sediment - Ripple Formation", J. Hydraulics Div., A.S.C.E., Vol. 83, No.Hy2, p.1197.
31. SENTÜRK,F. (1967) : "Tabii Akarsularda Taban Direncinin ve Taban Şekillerinin Hidrolik Karakteristikler Yönünden Tarifi ve İncelenmesi", T.B.T.A.K.
32. ALTINBİLEK,H.D. (1971) : "Similarity Laws for Local Scour With Special Emphasis on Vertical Circular Pile in Oscillatory Flow", Proc. I.A.H.R., Vol. 3, p.339.
33. LAURSEN,E.M. (1963) : "An Analysis of Relief Bridge Scour" Proc. A.S.C.E., HY 3, p. 3516.
34. NICOLLET,G. 1971 b) : "Sur Problém des Affouillements au Pied des Piles de Pont Cylindriques", L.N.H. Chatau, Paris.
35. BONASAUNDAS,M. (1973) : "Strömungsvorgang und Kolkproblem am runden Brückenpfeiler", Versuchs anstalt Für Wasserbau der Technisch Universität München.
36. ALTINBİLEK,H.D. (1974) : "Su Yapılarında Yerel Oyulmalar", D.S.İ. Yaz Okulu, Keban.
37. CHEE (1982) : "Live bed scour at Bridge piers" Rep. No. 290 Univ. of Auckland, New Zealand.
38. LARRAS,J. (1963) : "Profondeurs Maximales D'érosion des Fonds Mobiles Autour des Piles en Riviere", Annales des Ponts et Chaussées, Vol. 133, No.4.
39. RAUDKIVI,A.J., "Scour at Bridge Piers", Univ. of Aucmland Sch. of Eng., New Zealand Pub, No.216, 1985.

40. LAURSEN,E.M.,TOCH,A. (1956) : "Scour Around Bridge Piers and Abutments", Iowa Highway Research Board Bulletin, No. 4,
41. ETTEMA,R.(1976): "Influence of Bed Material Gradation on Local Scour", M.Eng.Thesis Univ of Auckland Rapor No. 124, New Zealand,
42. ETTEMA,R. (1976):"Scour at Bridge Piers" Rap. No. 124 Univ. of Auckland, New Zealand.
43. DIETZ,J.W. (1972),: "Ausbildung von Strompfeilern", Die Bautechnik.
44. ÜÇ, SABAHAİTTİN (1984) : "Köprü Ayakları Etrafında Oyulma Derinliklerinin Atak Açısı İle Değişimi", Yıldız Üniversitesi Dergisi, 1984/3, S. 22-26.
45. QADAR,A., "The Vortekx Scour Mechanism at Bridge Piers", Proc. Instn. Civ. Eng., Part 2, p. 739-757, 1981.
46. BREUSERS, H.N.C., "Sediment 1.", I.H.E., Delft, 1985,
47. CHIEV (1984) : "Local Scour at Bridge Piers" Rep. No,355, Univ. of Auckland, New Zealand.
48. COLEMAN,N.L. (1971) : "Analizing Laboratory Measurements of Scours at Cylindrical Piers in Sand Beds", Proc. I.A.H.R,
49. TANER, N., "Hidrolik - Cilt V"
Kurtulmuş Matbaası, İstanbul, 1977,
50. GARDE R.J. et al. Closure Study of around spurdykes, J.Hydraul. Div. Am.Soc. Civ.Eng.,1963, 89, HY1, Jan., 167 -175,
51. ARUNACHALAM K. Scour around bridge piers, J, Indian Roads Congr., 1965, 29, No.2, Aug., 189-207,
52. LACEY G. Discussion Measurements of bridge scour an bed changes in a flooding sand - bed river, by G.R.Neill,Proc,Instn Civ, Engers, 1967, 36, Feb., 411 - 414,
53. NORTH BENGAL TECHNICAL EXPERTS COMMITTEE, Report for 1970 = 71, Central Water and Power Commission, New Delhi, 1971,
54. NEILL G.R. Local scour around bridge piers, Research Council of Alberta, 1966,

ÖZGEÇMİŞ

Doç.Yük.Müh.Sabahattin UÇ, 1949 yılında Elazığ'da doğmuş, 1966 yılında Elazığ Lisesini bitirmiştir. 1971 yılında İstanbul Teknik Üniversitesi'nden İnşaat Yüksek Mühendisi olarak mezun olmuştur. Mezuniyeti müteakiben aynı yıl İ.D.M.M. Akademisi İnşaat Bölümü Hidrolik ve Su Yapıları Kürsüsünde asistan olarak göreveye başlamıştır. 1976 yılında yeterlilik tezini teslim etmiştir.

Askerlik görevini Temmuz - Ekim 1977 tarihleri arasında tamamlamıştır.

1979 yılında Doçentlik Tezini Tamamlayarak Doçent Ünvanını almıştır.

Halen Yıldız Üniversitesi Mühendislik Fakültesi İnşaat Mühendisliği Bölümünde Öğretim Üyesi olarak görev yapmaktadır.



